

PÉRICLES REZENDE BARROS

PROJETO E IMPLEMENTAÇÃO DE CONTROLADORES DIGITAIS:  
A DETERMINAÇÃO DO COMPRIMENTO DE PALAVRA DE  
VARIÁVEIS E COEFICIENTES NA REPRESENTAÇÃO  
EM PONTO FIXO

Dissertação apresentada ao Curso  
de MESTRADO EM ENGENHARIA ELÉTRICA  
da Universidade Federal da Paraíba,  
em cumprimento às exigências  
para obtenção do Grau de Mestre.

ÁREA DE CONCENTRAÇÃO: PROCESSAMENTO DA INFORMAÇÃO

GURDIP SINGH DEEP  
Orientador

FERNANDO ANTONIO CAMPOS GOMIDE  
Co-Orientador

CAMPINA GRANDE  
FEVEREIRO-1985



B277p

Barros, Péricles Rezende.

Projeto e implementação de controladores digitais : a determinação do comprimento de palavra de variáveis e coeficientes na representação em ponto fixo / Péricles Rezende Barros. - Campina Grande, 1985.

98 f.

Dissertação (Mestrado em Engenharia Elétrica) - Universidade Federal da Paraíba, Centro de Ciências e Tecnologia, 1985.

"Orientação : Prof. Dr. Gurdip Singh Deep, Prof. Dr. Fernando Antonio Campos Gomide".

Referências.

1. Controladores Digitais - Projeto. 2. Processamento da Informação. 3. Ponto Fixo. 4. Dissertação - Engenharia Elétrica. I. Deep, Gurdip Singh. II. Gomide, Fernando Antonio Campos. III. Universidade Federal da Paraíba - Campina Grande (PB). IV. Título

CDU 621:004.2(043)

Aos meus pais,  
Pedro e Eunice.

## AGRADECIMENTOS

A todos aqueles que durante o período deste trabalho participaram através de orientações, discussões e esclarecimentos, formando um ambiente de incentivo à procura;

Em especial, aos meus orientadores, Prof. Dr. Gurdip Singh Deep e Prof. Dr. Fernando Antonio Campos Gomide, pelo incentivo continuado e pelo ambiente amigável proporcionado, tornando agradável a realização do mesmo.

Aos professores do Setor de Computação e Automação Industrial da Faculdade de Engenharia de Campinas, UNICAMP, pela gentileza na cessão dos equipamentos usados. Particularmente, aos Prof. Dr. Wagner Caradori do Amaral e Prof. José Raimundo de Oliveira.

Ao Centro Tecnológico para Informática pelo constante apoio na realização deste trabalho.

A Olga Regina S. Morales, Domingos Savio Xavier Cavalcanti e Roberto de Oliveira pela dedicação na elaboração desta dissertação.

## RESUMO

Este trabalho apresenta o projeto de controladores digitais determinísticos ótimos, obtidos através da minimização de um critério de desempenho quadrático. Dois destes controladores usam observadores de estados, sendo diferenciados por suas estruturas. O terceiro controlador é projetado como uma aproximação dinâmica do controlador ótimo.

É apresentada uma técnica estatística para o cálculo do comprimento de palavra de variáveis, cujo parâmetro de projeto é o ruído máximo aceitável, devido à quantização de variáveis, na saída dos controladores. Em adição é proposta uma técnica, também estatística, para a determinação do comprimento de palavra de coeficientes a partir da definição da variação máxima aceitável da saída dos controladores quantizados em relação aos controladores ideais, não quantizados.

O projeto dos controladores, assistido por computador, é também apresentado.

A implementação em um sistema baseado em um microprocessador de oito bits de dois controladores com observadores é descrita. A representação numérica usada na implementação é complemento de dois, ponto fixo, com arredondamento. O processo utilizado como objeto de controle na im

plementação é um servomotor de corrente contínua com carga inercial.



## ABSTRACT

In this thesis, design of linear optimal deterministic digital controllers based on minimization of a quadratic performance index is presented. In the design of two of these controllers, state observers have been employed, though their structures are different. The third controller is based on the dynamic approximation of the optimal controller.

A statistical technique for determining the wordlength of variables is presented. The quantization of variables is modelled as noise sources entering the controller. The definition of a maximum allowed noise at the controller's output is used for determining that wordlength. A technique, also statistical, for determining the wordlength of coefficients is proposed. In this technique, the maximum allowed control signal variation due to quantization determines the wordlength. In this case, coefficients variations are also modelled as noise sources.

The computer aided design of these controllers is described. Finally, implementation of two controllers using state observers, based on an 8 bit microprocessor is presented, wherein fixed point, two's complement number representation with rounding has been employed. The d.c. servomotor with inertial load constitutes the process under control.

## S U M Á R I O

RESUMO

ABSTRACT

---

### 1. INTRODUÇÃO 1.1

1.1 - Motivação 1.1

1.2 - Objetivos 1.2

1.3 - Revisão Bibliográfica 1.3

1.4 - Descrição do Trabalho 1.6

### 2. DESCRIÇÃO DO SISTEMA E MODELAGEM DO PROCESSO 2.1

2.1 - Introdução 2.1

2.2 - Descrição do Sistema 2.1

2.3 - Modelagem do Processo 2.5

2.4 - Resumo 2.17

### 3. PROJETO DOS CONTROLADORES 3.1

3.1 - Introdução 3.1

3.2 - Regulador Digital Linear Ótimo 3.2

3.3 - Observador de Estados 3.5

3.4 - Controlador Ótimo Obtido a Partir do Regulador 3.9

3.5 - Diagonalização: Controlador I 3.13

3.6 - Reduções: Controlador II 3.17

3.7 - Controlador Dinâmico: Controlador III 3.20

3.8 - Resumo 3.28



- 4. DETERMINAÇÃO DO COMPRIMENTO DE PALAVRA DE VARIÁVEIS E COEFICIENTES NA REPRESENTAÇÃO EM PONTO FIXO 4.1
  - 4.1 - Introdução 4.1
  - 4.2 - Diagrama de Fluxo de Sinais e Representação Matricial de Sistemas Digitais 4.2
  - 4.3 - Resposta de Sistemas Lineares a Sinais Estocásticos 4.7
  - 4.4 - Determinação de Comprimento de Palavra de Variáveis 4.10
  - 4.5 - Ruído Devido à Conversão D/A 4.17
  - 4.6 - Teorema de Tellegem, Interreciprocidade e Teorema da Transposição para Malhas Digitais 4.17
  - 4.7 - Sensibilidade em Malhas Digitais 4.21
  - 4.8 - Determinação do Comprimento de Palavra de Coeficientes 4.26
  - 4.9 - Determinação da Resposta em Frequência Usando a Representação Matricial 4.34
  - 4.10 - Resumo 4.36
- 5. PROJETO ASSISTIDO POR COMPUTADOR 5.1
  - 5.1 - Introdução 5.1
  - 5.2 - Projeto dos Controladores 5.2
  - 5.3 - Simulação dos Sistemas em Malha Fechada 5.7
  - 5.4 - Determinação do Comprimento de Palavra de Variáveis e Coeficientes 5.9
  - 5.5 - Estrutura de Interação - Resultados 5.11
  - 5.6 - Resumo 5.13
- 6. IMPLEMENTAÇÃO DOS CONTROLADORES 6.1
  - 6.1 - Introdução 6.1
  - 6.2 - Hardware 6.1
  - 6.3 - Software 6.6

6.4 - Resultados 6.9

6.5 - Resumo 6.9

7. ANÁLISE DOS RESULTADOS 7.1

7.1 - Introdução 7.1

7.2 - Projeto 7.2

7.3 - Implementação 7.3

7.4 - Resumo 7.5

8. CONCLUSÕES 8.1

9. BIBLIOGRAFIA 9.1

10. APÊNDICES

A.1 - REGULADOR ÓTIMO PARA SISTEMAS DIGITAIS A1.1

A.2 - CONTROLADORES ÓTIMOS A2.1

A.3 - SIMULAÇÃO A3.1

A.4 - COEFICIENTES A4.1

A.5 - CARTÃO DE INTERFACE COM O PROCESSO A5.1

A.6 - CONTROLADOR I A6.1

A.7 - CONTROLADOR II A7.1

A.8 - CARACTERÍSTICAS DO SERVOMOTOR A8.1

A.9 - RESULTADOS DO PROJETO ASSISTIDO POR COMPUTADOR A9.1

## LISTA DE ILUSTRAÇÕES

- 2.1. O sistema em diagrama de blocos 2.2
- 2.2. Configuração do sistema 2.4
- 2.3. Diagrama de blocos do processo 2.7
- 2.4. Alimentação direta (Feedforward) 2.10
- 2.5. Diagrama de estados do processo 2.12
- 2.6. Diagrama de estados do processo discretizado no tempo (incluindo somador) 2.16
- 3.1. Representação do sistema em forma de variáveis de estado 3.3
- 3.2. Estrutura do controlador com características da estrutura paralela 3.16
- 3.3. Estrutura do controlador com menor número de multiplicações 3.16
- 3.4. Estrutura do controlador I 3.18
- 3.5. Estrutura de segunda ordem 3.18
- 3.6. Estrutura equivalente à da figura 3.5. 3.18
- 3.7. Estrutura reduzida (paralela) 3.21
- 3.8. Estrutura reduzida (paralela) com menor número de multiplicações 3.21
- 3.9. Estrutura do controlador II 3.22
- 3.10. Sistema de controle digital com realimentação de estado 3.24
- 3.11. Sistema de controle digital com realimentação dinâmica 3.24

- 3.12. Estrutura direta de 2ª ordem 3.30
- 3.13. Estrutura do controlador III 3.30
- 4.1. Diagrama de fluxo de sinais 4.4
- 4.2. Modelagem estatística do arredondamento 4.12
- 4.3. Introdução de fontes de erro 4.14
- 4.4. Malhas usadas na obtenção da relação da sensibilidade 4.22
- 5.1. Representação esquemática dos programas 5.3
- 5.2. Estrutura de Interação 5.12
- 6.1. Configuração do hardware utilizado 6.2
- 6.2. Circuito do codificador incremental bidirecional 6.5
- 6.3. Diagramas de estados e de tempo do decodificador de pulsos 6.5
- 6.4. Diagrama de fluxo de sinais do controlador I implementado 6.8
- 6.5. Diagrama de fluxo de sinais do controlador II implementado 6.8
- 6.6. Resposta ao degrau - Controlador I 6.10
- 6.7. Resposta ao degrau - Controlador II 6.10
- 7.1. Controlador I 7.4
- 7.2. Controlador II 7.4

## 1. INTRODUÇÃO

### 1.1. Motivação

No projeto de controladores industriais digitais, por razões históricas (substituição de controladores analógicos e pela simplicidade aliada a um bom desempenho, os controladores P.I.D. (proporcional-integral-derivativo) foram e são utilizados largamente. Tal fato estende-se também ao projeto de controladores digitais de posição e velocidade de servomotores, como exemplificado por Gauen (1983).

No entanto, o aparecimento de microprocessadores, com capacidade computacional a baixo custo, possibilitou a implementação de técnicas de controle mais sofisticadas já desenvolvidas, e incentivou o desenvolvimento de outras técnicas. Diversos trabalhos apresentam a implementação destes controladores, como Ortega (1982), Jing-Ping & Marleau (1982), Stojić (1984) e Barros (1981).

O uso de microprocessadores na implementação de controladores evidenciou a necessidade da determinação do com

primento de palavra de variáveis e coeficientes, tendo sido gerada uma série de trabalhos abordando o tema, como Moroney, Willsky & Houpt (1980), Fam (1982), Moroney, Willsky & Houpt (1983).

A teoria de controle ótimo digital mesmo sendo uma teoria bem estabelecida, apresentada em livros texto clássicos como Kwakernaak & Sivan (1972), Franklin & Powell (1980) e Isermann (1981), ainda desperta grande interesse na literatura, devido à sua potencialidade não explorada na prática industrial. Assim, trabalhos nesta área ainda são publicados, como o de Tsuchiya (1982).

Seguindo o objetivo de implementação de controladores mais sofisticados, este trabalho se propõe ao projeto de um controlador usando as técnicas de projeto de controle ótimo e de determinação de comprimento de palavra de variável e coeficientes a serem utilizados na implementação em microprocessador.

### 1.2. Objetivos

São objetivos deste trabalho:

. Apresentar a modelagem de um processo a ser utilizado, isto é, o modelo de um servomotor c.c. com carga inercial.

. Apresentar o projeto de um controlador linear digi

tal ótimo, bem como técnicas de realizar simplificações em sua estrutura, de maneira a viabilizar sua implementação baseada em microprocessadores. Implementá-lo em um microprocessador Intel 8085.

. Apresentar e propor técnicas de determinação do comprimento de palavra de variáveis e coeficientes, usando a representação de números em ponto fixo.

. Realizar o projeto dos controladores auxiliado por computador.

. Analisar os resultados obtidos e apresentar as conclusões.

### 1.3. Revisão Bibliográfica

Este item apresenta uma revisão bibliográfica sobre os assuntos tratados neste trabalho. São apresentados a seguir os trabalhos mais representativos nas áreas de controle ótimo digital e estudo de efeito de comprimento de palavra de variáveis e coeficientes em filtros e controladores digitais, bem como são referenciados trabalhos sobre o controle de posição de servomotores de corrente contínua.

#### 1.3.1. Controle Ótimo Digital

Em controle ótimo digital, o trabalho de Kalman &

Koepcke (1958) é colocado como o marco inicial no projeto de controladores digitais pela minimização de um índice de desempenho quadrático. Recentemente Dorato & Levis (1971) estenderam o trabalho de Kalman & Koepcke, baseando também em programação dinâmica para a determinação das equações de otimização. Livros texto como Kwakernaak & Sivan (1972), Anderson & Moore (1971), Kuo (1980) e Isermann (1981), dentre outros, apresentam o projeto de controladores e reguladores através da minimização de um índice de desempenho quadrático.

Tsuchiya (1982) também desenvolve o projeto de reguladores ótimos.

Os observadores de estados tiveram nos trabalhos de Luenberger (1964) (1966) (1971) sua introdução e desenvolvimento posterior. Os livros texto mencionados anteriormente incluem o desenvolvimento de observadores.

Na transformação do projeto de um servomecanismo num problema de projeto de um regulador ótimo, o trabalho de Johnson (1971) é sempre referenciado pelos livros texto já citados, dentre outros.

### 1.3.2. Efeito de Comprimento de Palavra de Variáveis e Coeficientes em Filtros e Controladores Digitais

Os trabalhos de Knowles & Edwards (1965) Bertram -



(1958) e Slaughter (1964) foram os primeiros a introduzirem o aspecto de efeitos de quantização, sendo desenvolvidos para controladores digitais.

Baseados nestes trabalhos, pesquisadores na área de processamento digital de sinais estenderam as técnicas para filtros digitais, tendo os resultados sido publicados por Knowles & Alcayto (1968), Avenhaus (1972), Crochiere (1975), Crochiere & Oppenheim (1975), Oppenheim & Weisntein (1972), Claasen & Mecklenbräuker (1975), Jackson (1970) e outros.

Mais recentemente, trabalhos na área de controle digital têm sido apresentados, citando como exemplo Moroney, Willsky & Houpt (1980) e (1983), Fam (1982), Ahmed & Belanger (1984a) e (1984b).

### 1.3.3. Controle de Posição de Servomotores Corrente Contínua

No projeto de controle de posição de servomotores os controladores mais usados são dos tipos P, PI e PID, de acordo com Gauen (1983). Trabalhos como este baseiam-se nos desenvolvimentos de Chiu, Corripio & Smith (1973a), (1973b) e (1973c), Lopez, Murrill & Smith (1969).

Controladores do tipo auto-ajustáveis bem como aqueles baseados em estruturas variáveis foram desenvolvidas e implementados por Ortega (1982) e Jing-Ping & Marleau (1982) e Barros (1981).

#### 1.4. Descrição do Trabalho

No próximo capítulo são apresentadas a descrição do sistema de controle e a modelagem do processo a ser usado neste trabalho. No capítulo 3 é apresentado o projeto dos controladores. As técnicas de determinação do comprimento de palavra de variáveis e coeficientes são apresentadas no capítulo 4. O projeto assistido por computador e a implementação dos controladores são discutidos nos capítulos 5 e 6, respectivamente. Por fim, no capítulo 7 são analisados os resultados e no capítulo 8 as conclusões são apresentadas.

A apresentação deste trabalho procura incluir o aspecto didático, de modo a prover ao leitor os subsídios necessários à absorção dos temas discutidos, de uma forma autocontida.

## 2. DESCRIÇÃO DO SISTEMA E MODELAGEM DO PROCESSO

### 2.1. Introdução

No controle de qualquer sistema é necessário o conhecimento de seu comportamento dinâmico. Este comportamento é muitas vezes descrito em termos de equações matemáticas as quais representam uma aproximação do sistema real. A obtenção destas equações é usualmente conhecida como modelagem.

Este capítulo introduz o processo a ser controlado , através de uma descrição do seu funcionamento. A seguir este processo é modelado em termos de equações dinâmicas contínuas. Após algumas considerações adicionais o modelo discreto no tempo é determinado.

### 2.2. - Descrição do Sistema

A figura 2.1 apresenta o sistema em diagrama de blocos. O processo a ser controlado consiste de um servomotor de corrente contínua (C.C.) acoplado a uma carga inercial . No microcomputador tem-se implementado o controlador. A interface no sentido controlador-processo é um conversor digi

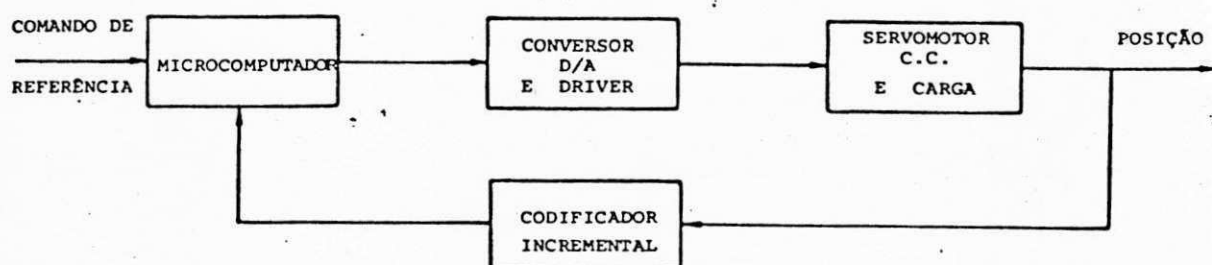


Figura 2.1 - O sistema em diagrama de blocos.

tal-analógico associado a um dispositivo de potência ("driver"). No sentido processo-controlador a interface é um codificador incremental. A seguir o funcionamento do sistema é discutido sucintamente, baseando-se na figura 2.2.

O objetivo é que o controlador mantenha a posição angular da carga de acordo com um dado referencial (comando de referência) fornecido através de uma interface de comunicação, mostrada na figura 2.2.. Se este referencial for constante, o sistema deve manter a posição angular da carga constante, compensando o efeito de perturbações externas. Se este referencial for variável, o sistema deve ter a posição angular da carga variando de acordo com o referencial, também compensando o efeito de perturbações externas.

O microprocessador, executando o programa correspondente ao controlador, determina e emite um sinal de controle. Para tal, são comparados o referencial e a informação correspondente à posição angular. Esta informação é obtida utilizando-se como transdutor de deslocamento um codificador incremental bidirecional.

O codificador incremental bidirecional é um dispositivo que gera duas sequências de pulsos, cada sequência relativa a um sentido de rotação, com cada pulso correspondendo a um deslocamento de  $2\pi/p$  rad naquele sentido de rotação, onde  $p$  é o número de pulsos por revolução. Cada sequência é utilizada para decrementar um contador correspondente, de ma

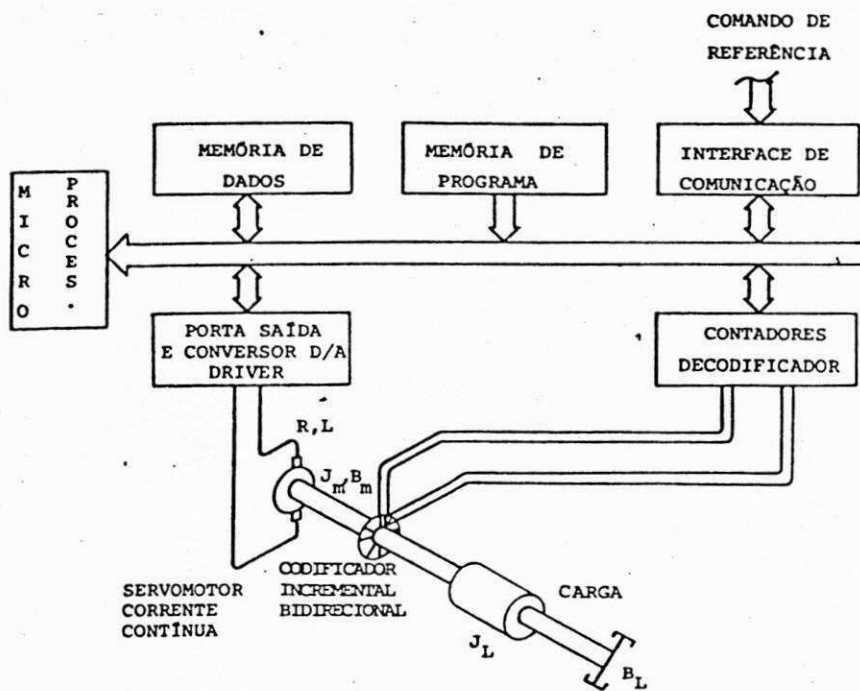


Figura 2.2 - Configuração do sistema.

neira que a cada medição pode-se calcular o deslocamento o corrido desde a última medição, em cada sentido, bem como o deslocamento total no mesmo período. Com este deslocamento calcula-se então a posição angular atual, a partir da posição angular anterior. As operações aritméticas necessárias são realizadas pelo microcomputador.

A diferença entre o referencial e a posição atual fornece o erro de posição, que é o sinal de entrada do controlador.

O controlador, com o erro de posição e outras variáveis e parâmetros internos presentes na memória de dados, calcula o sinal de controle.

O sinal de controle, de natureza digital, é convertido em um sinal de natureza analógica (conversor d/a) com energia suficiente ("driver" de potência) para compensar o erro existente.

O procedimento acima descrito é repetido a cada T segundos, onde T é o período de amostragem.

### 2.3. Modelagem do Processo

No projeto de controladores é frequentemente necessário determinar um modelo matemático que descreva o comportamento dinâmico do processo. Esta secção apresenta o modelo do processo a ser controlado.

### 2.3.1. Diagrama de Blocos e de Estados do Processo

O modelo associado ao processo considerado neste trabalho tem como entrada um sinal de controle,  $u_c(kT)$ , e como saída a posição angular,  $d(kT)$ , de acordo com o diagrama de blocos da figura 2.3. Este diagrama mostra as funções de transferência associadas ao processo, acrescido da função de transferência correspondente à operação de determinação da posição angular atual.

Como o sinal de controle é digital, e o processo analógico, é necessária a introdução de um bloco que execute a conversão entre as duas formas. Este bloco, denominado z.o.h. (de "zero-order hold"), tem como função tornar o sinal  $u_c(kT)$  válido também durante o intervalo  $[kT, (k+1)T)$ . Assim, matematicamente,

$$u_k(t) = u_c(kT) \quad , \quad kT \leq t < (k+1)T \quad (2.1)$$

A transformada de Laplace da equação acima, no intervalo  $kT \leq t < (k+1)T$ , é

$$U_k(s) = \frac{u_c(kT)}{s} \quad (2.2)$$

O diagrama de blocos do conjunto servomotor - carga é dado na figura 2.3 pela parte entre as variáveis  $u_k(t)$  e  $\omega(t)$ .

Ao deslocamento realizado durante cada período de amostragem corresponde uma variável velocidade, expressa em



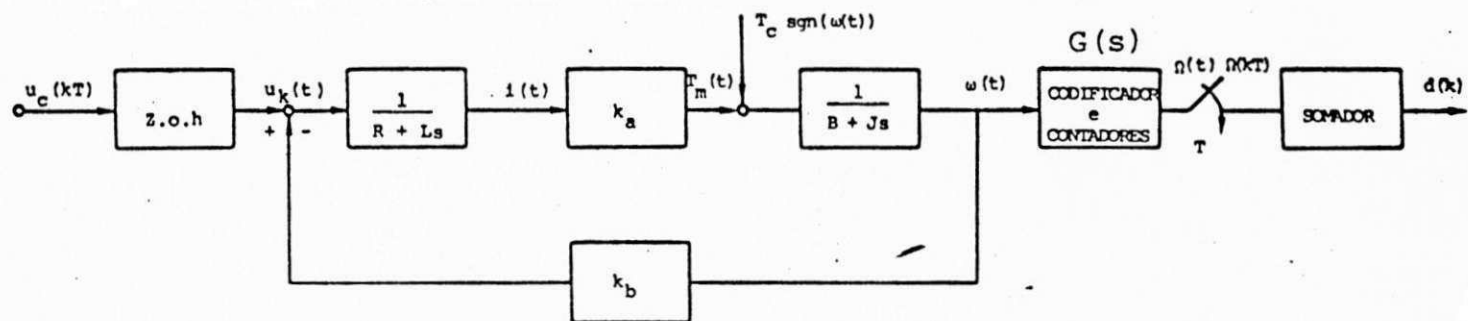


Figura 2.3 - Diagrama de blocos do processo.

número de pulsos por período de amostragem. Esta velocidade,  $\Omega(kT)$ , digital, é obtida através da leitura, a cada  $T$  segundos, do número de pulsos gerados a partir do codificador incremental com resolução de  $p$  pulsos/revolução. Para obtê-la da velocidade angular  $\omega(t)$ , em rad/s, usa-se o bloco codificador e contadores, cuja função de transferência é dada por:

$$G_s = \frac{pT}{2\pi} \quad (2.3)$$

pois, como uma velocidade de  $2\pi$  rad/s corresponde a  $p$  pulsos/s, a velocidade em pulsos por período de amostragem é dada multiplicando-se por  $T$  a velocidade em pulsos/s.

A posição angular,  $d(kT)$ , em pulsos, é determinada pela adição, a cada período de amostragem, da posição no período anterior,  $d((k-1)T)$ , com o deslocamento ocorrido entre estes dois períodos de amostragem, numericamente igual à velocidade  $\Omega(kT)$  pulsos por período de amostragem. Assim, o bloco correspondente, o somador, tem função de transferência no plano  $Z$  dada por

$$D(z) = \frac{1}{1-z^{-1}} \Omega(z) \quad (2.4)$$

Para o projeto dos controladores digitais é necessário expressar o processo em termos de um modelo discreto no tempo. Como na maioria dos servomotores de corrente contínua a indutância é muito pequena (Dorf (1973,p.40) e D'azzo

Houpis (1975, p. 58)), e como a fricção de Coulomb, dada por

$$T_c \operatorname{sgn}(\omega(t)), \quad (2.5)$$

onde

$$\operatorname{sgn}(x) = \begin{cases} 1 & \text{se } x > 0 \\ -1 & \text{se } x < 0 \end{cases},$$

é constante em módulo, variando apenas em sinal, usualmente ela é compensada usando-se uma alimentação direta ("feedforward") de

$$\frac{T_c R}{k_a} \operatorname{sgn}(\omega(t)) \quad (2.6)$$

na tensão de armadura do servomotor, já que o atraso introduzido pela parte elétrica do servomotor é desprezível em relação à dinâmica da parte mecânica. Isto corresponde à aproximação mostrada na figura 2.4.

O sinal de controle a ser aplicado ao processo tem a seguinte forma

$$u_c(kT) = u(kT) + u_f(kT) \quad (2.7)$$

onde

$$u_f(kT) = - \frac{T_c R}{k_a} \operatorname{sgn}(\Omega(kT)) \quad (2.8)$$

corresponde à discretização da equação (2.6).  $u(kT)$  é o controle a ser determinado para o sistema linear que representa o processo, baseado no sinal de realimentação.

Para pequenas indutâncias, o efeito de sua inclusão

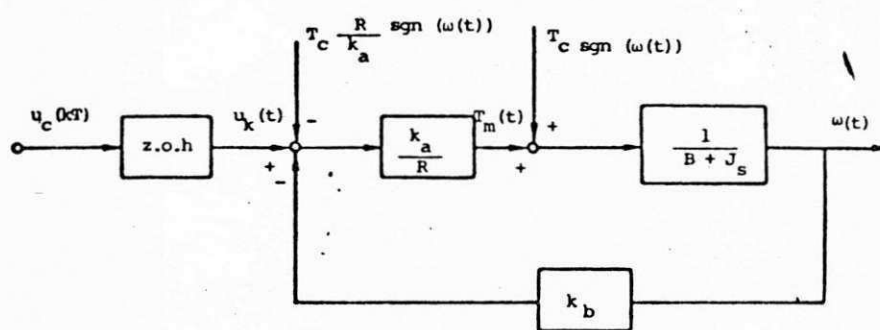


Figura 2.4 - Alimentação direta (Feedforward)

(ou não) é desprezível. Na determinação do comprimento de palavra de coeficientes, (Capítulo 4), e na implementação dos controladores (capítulo 6) será visto que alguns coeficientes podem ser eliminados se os seus arredondamentos dão como resultados zero. Neste trabalho tais coeficientes estão associadas à parte elétrica do servomotor. Por isso, não obstante a aproximação da figura 2.4, a indutância será reintroduzida na análise a seguir.

O diagrama de estados amostrado para a parte analógica (no plano  $s$ ) do processo é apresentado pela figura 2.5.. A partir deste diagrama pode-se obter uma representação de natureza discreta no tempo para o processo (KUO (1980, p.231 a 237)). Uma representação é determinada a seguir.

### 2.3.2. Representação do Processo em Variáveis de Estado

Usando a regra de Mason para malhas digitais ao diagrama de estados amostrado da figura 2.5 tem-se as malhas fechadas

$$\begin{aligned} M_1 &= -(R/L) s^{-1} \\ M_2 &= -(B/J) s^{-1} \\ M_3 &= -(K_a K_b / LJ) s^{-2}. \end{aligned} \quad (2.9)$$

Assim

$$\Delta = 1 - \left[ -(R/L) s^{-1} - (B/J) s^{-1} - (K_a K_b / LJ) s^{-2} \right] + (RB/LJ) s^{-2} \quad (2.10)$$

UNIVERSIDADE FEDERAL DA PARAÍBA  
 Pró-Reitoria Para Assuntos do Interior  
 Coordenação Setorial de Pós-Graduação  
 Rua Aprigio Veloso, 882 - Tel. (083) 321-7222-R 355  
 58.100 - Campina Grande - Paraíba

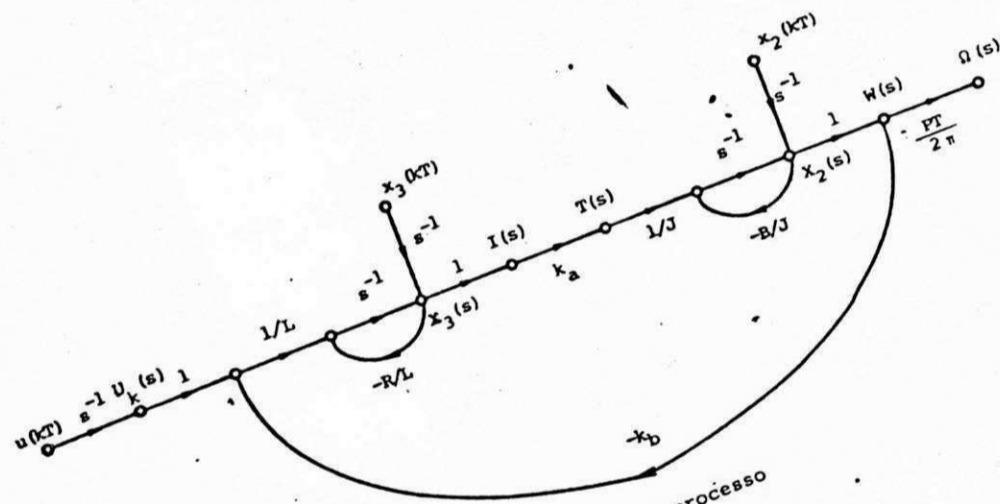


Figura 2.5 - Diagrama de estados do processo

ou

$$\Delta = 1 + \left[ \frac{R}{L} + \frac{B}{J} \right] s^{-1} + \left[ \frac{K_a K_b + RB}{LJ} \right] s^{-2} \quad (2.11)$$

Usando a fórmula do ganho de Mason (KUO (1980,p. 231 a 237)) obtêm-se as equações apresentadas na forma de variáveis de estado

$$\begin{bmatrix} X_2(s) \\ X_3(s) \end{bmatrix} = \begin{bmatrix} \frac{s + R/L}{s^2 + as + b} & \frac{K_a/J}{s^2 + as + b} \\ \frac{-K_b/L}{s^2 + as + b} & \frac{s + B/J}{s^2 + as + b} \end{bmatrix} \begin{bmatrix} x_2(kT) \\ x_3(kT) \end{bmatrix} + \begin{bmatrix} \frac{K_a/LJ}{s(s^2 + as + b)} \\ \frac{(s + B/J)/L}{s(s^2 + as + b)} \end{bmatrix} u(kT) \quad (2.12)$$

onde

$$a = \frac{R}{L} + B/J$$

$$b = \frac{RB + K_a K_b}{LJ}, \quad e \quad (2.13)$$

onde B é a fricção e J, a inércia do conjunto servomotor - carga, ou seja

$$B = B_m + B_l \quad (2.14)$$

$$J = J_m + J_l$$

Observe que,  $X_2(s)$  corresponde à velocidade angular e  $X_3(s)$

à corrente de armadura.

Efetuando a transformada inversa de Laplace sobre a equação (2.8), no intervalo  $kT \leq t \leq (k+1)T$ , e fazendo  $t = (k+1)T$ , chega-se à representação em variáveis de estado discretas no tempo

$$\begin{bmatrix} x_2 [(k+1)T] \\ x_3 [(k+1)T] \end{bmatrix} = \begin{bmatrix} a_{22} & a_{23} \\ a_{32} & a_{33} \end{bmatrix} \begin{bmatrix} x_2 (kT) \\ x_3 (kT) \end{bmatrix} + \begin{bmatrix} b_2 \\ b_3 \end{bmatrix} u(kT) \quad (2.15)$$

onde

$$\begin{aligned} a_{22} &= \mathcal{L}^{-1} \left\{ \frac{s + R/L}{s^2 + as + b} \right\} , \\ a_{23} &= \mathcal{L}^{-1} \left\{ \frac{K_a/J}{s^2 + as + b} \right\} , \\ a_{32} &= \mathcal{L}^{-1} \left\{ \frac{-K_b/L}{s^2 + as + b} \right\} , \\ a_{33} &= \mathcal{L}^{-1} \left\{ \frac{s + B/J}{s^2 + as + b} \right\} , \\ b_2 &= \mathcal{L}^{-1} \left\{ \frac{K_a/LJ}{s(s^2 + as + b)} \right\} , \\ b_3 &= \mathcal{L}^{-1} \left\{ \frac{(s + B/J)/L}{s(s^2 + as + b)} \right\} , \end{aligned} \quad (2.16)$$

O diagrama de estados do processo discretizado no



tempo é mostrado na figura 2.6. Para a obtenção da representação em variáveis de estado para o processo incluindo o somador, note que a equação (2.4) é equivalente a

$$d(kT) = d[(k-1)T] + \Omega(kT) \quad (2.17)$$

Substituindo  $kT$  por  $(k+1)T$  na equação acima, e, como

$$\Omega(kT) = \frac{PT}{2\pi} x_2(kT) \quad (2.18)$$

obtém-se

$$d[(k+1)T] = d(kT) + \frac{PT}{2\pi} x_2[(k+1)T] \quad (2.19)$$

Da equação (2.15) chega-se a

$$d[(k+1)T] = d(kT) + \frac{PT}{2\pi} a_{22} x_2(kT) + \frac{PT}{2\pi} a_{23} x_3(kT) + \frac{PT}{2\pi} b_2 u(kT) \quad (2.20)$$

Definindo-se uma nova variável de estado  $x_1(kT) = d(kT)$ , chega-se, finalmente, às equações dinâmicas

$$\begin{bmatrix} x_1(k+1) \\ x_2(k+1) \\ x_3(k+1) \end{bmatrix} = \begin{bmatrix} 1 & a_{12} & a_{13} \\ 0 & a_{22} & a_{23} \\ 0 & a_{32} & a_{33} \end{bmatrix} \begin{bmatrix} x_1(k) \\ x_2(k) \\ x_3(k) \end{bmatrix} + \begin{bmatrix} b_1 \\ b_2 \\ b_3 \end{bmatrix} u(k) \quad (2.21)$$

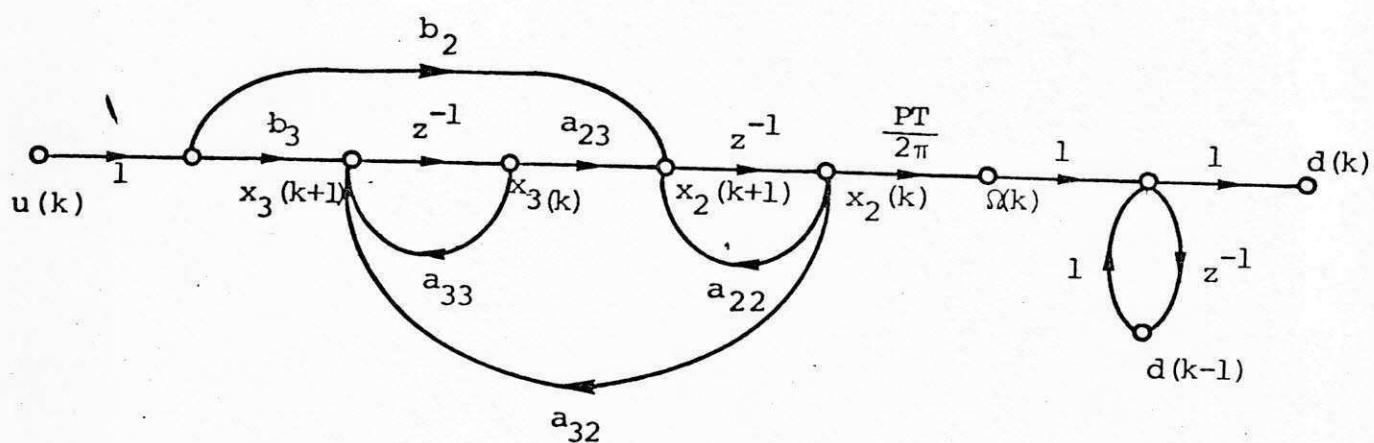


Figura 2.6 . Diagrama de estados do processo discretizado no tempo (incluindo somador).

$$e \quad y(k) = \begin{bmatrix} 1 & 0 & 0 \end{bmatrix} \begin{bmatrix} x_1(k) \\ x_2(k) \\ x_3(k) \end{bmatrix} \quad (2.22)$$

com

$$\begin{aligned} a_{12} &= \frac{PT}{2\pi} & a_{22} & , \\ a_{13} &= \frac{PT}{2\pi} & a_{23} & , \\ b_1 &= \frac{PT}{2\pi} & b_2 & , \end{aligned} \quad (2.23)$$

e onde  $y(k) = d(k)$  é a posição angular expressa em número de pulsos. Nas equações (2.21) e (2.22) o período de amostragem,  $T$ , foi incluído implicitamente de maneira que a amostragem  $k$  corresponde ao tempo  $kT$ .

#### 2.4 - Resumo

Este capítulo tratou da modelagem do processo a ser controlado usado neste trabalho. Inicialmente foi apresentada uma descrição do sistema, objetivando a apresentação do problema de controle. A seguir o processo foi modelado, obtendo-se a partir do seu diagrama de blocos (contínuo) o diagrama de estados e a correspondente representação em variáveis de estados (discretos). A não linearidade existente foi compensada usando-se alimentação direta (feedforward).

### 3. PROJETO DOS CONTROLADORES

#### 3.1. Introdução

Este capítulo trata do projeto de três controladores lineares digitais determinísticos obtidos através da minimização de um índice de desempenho quadrático. Os dois primeiros controladores utilizam observadores de estados, cujas estruturas são diferenciadas por transformações lineares aplicadas ao conjunto controlador ótimo-observador de estados. O terceiro é uma aproximação dinâmica do controlador ótimo que leva a uma realimentação da saída.

No item 3.2 é apresentado o problema do regulador digital linear ótimo e, no item seguinte o projeto do observador de estados. No item 3.4 é apresentado o projeto do controlador digital linear ótimo para o problema de um servomecanismo, a partir do projeto do regulador. No item 3.5. apresenta-se um modo de implementação baseado na diagonalização do conjunto controlador-observador, levando ao controlador I. O controlador II é determinado após algumas reduções na estrutura do conjunto controlador-observador e é

apresentado no item 3.6. Finalmente, no item 3.7 é apresentado o controlador III (controlador dinâmico).

### 3.2. Regulador Digital Linear Ótimo

Considere um sistema linear invariante descrito por

$$\underline{x}(k+1) = A \underline{x}(k) + \underline{b} u(k) \quad (3.1)$$

$$y(k) = \underline{d}^t \underline{x}(k) \quad (3.2)$$

onde

$\underline{x}(k)$  é o vetor de variáveis de estado,

$u(k)$  é a variável de entrada,

$y(k)$  é a variável de saída,

sendo

$$A = \begin{bmatrix} 1 & a_{12} & a_{13} \\ 0 & a_{22} & a_{23} \\ 0 & a_{32} & a_{33} \end{bmatrix}, \quad \underline{b} = \begin{bmatrix} b_1 \\ b_2 \\ b_3 \end{bmatrix}$$

e

$$\underline{d}^t = \begin{bmatrix} 1 & 0 & 0 \end{bmatrix}, \quad (3.3)$$

com os coeficientes  $a_{ij}, b_i$  ( $i, j = 1, 2, 3$ ) obtidos a partir das equações (2.16) e (2.23).

As equações acima são representadas graficamente na figura 3.1, onde  $\underline{x}(0)$  é o estado inicial ( $k=0$ ).

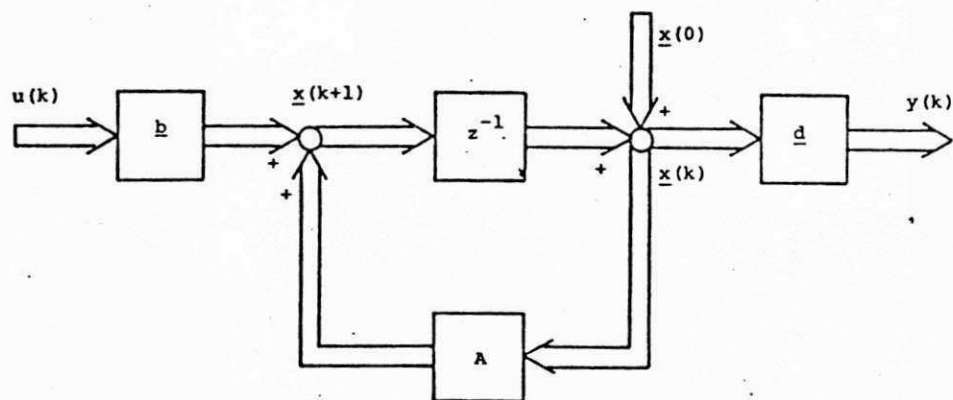


Figura 3.1 - Representação do sistema na forma de variáveis de estado.

O regulador digital linear ótimo é baseado na realimentação das variáveis de estado,  $\underline{x}(k)$ , de maneira a conduzir o sistema de um estado  $\underline{x}(0)$  ao estado  $\underline{x}(N) \approx \underline{0}$ , minimizando o índice de desempenho quadrático

$$I_x = \underline{x}^t(N) Q \underline{x}(N) + \sum_{k=0}^{N-1} \left[ \underline{x}^t(k) Q \underline{x}(k) + r u^2(k) \right] \quad (3.4)$$

onde

$Q$  é uma matriz simétrica positiva definida, isto é,  $\underline{x}^t(k) Q \underline{x}(k) > 0 \quad \forall k$ , e

$r$  escalar positivo ( $r u^2(k) > 0 \quad \forall k$ ).

Como mostrado no apêndice A1 (e em Isermann (1981 p. 136 a 143)) o regulador é dado por

$$u(N-j) = - \underline{K}_{N-j} \underline{x}(N-j) \quad j=1, \dots, N \quad (3.5)$$

onde  $\underline{K}_{N-j}$  é o vetor de realimentação de estados obtido das equações recursivas

$$\underline{K}_{N-j} = (r + \underline{b}^t P_{N-j+1} \underline{b})^{-1} \underline{b}^t P_{N-j+1} A \quad (3.6)$$

$$P_{N-j} = Q + A^t P_{N-j+1} A - \underline{K}_{N-j}^t (r + \underline{b}^t P_{N-j+1} \underline{b}) \underline{K}_{N-j} \quad (3.7)$$

com  $P_N = Q$  como condição de contorno. A última equação é conhecida como equação à diferenças matricial de Riccati.

Fazendo  $N \rightarrow \infty$ , tem-se que  $\underline{K}_{N-j}$  converge para um  $\underline{v}$

UNIVERSIDADE FEDERAL DA PARAÍBA  
 Pró-Reitoria Para Assuntos do Interior  
 Coordenação Setorial de Pós-Graduação  
 Rua Aprígio Veloso, 882 - Tel (083) 321-7222-R-355  
 58.100 - Campina Grande - Paraíba

tor constante

$$\underline{K} = \lim_{N \rightarrow \infty} \underline{K}_{N-j} \quad (3.8)$$

se o sistema é controlável e observável completamente, ou é estável exponencialmente.

Assim, o regulador torna-se

$$u(k) = -\underline{K} \underline{x}(k) \quad (3.9)$$

com  $\underline{K}$  obtido das equações

$$\underline{K} = (r + \underline{b}^t \bar{P} \underline{b})^{-1} \underline{b}^t \bar{P} A \quad (3.10)$$

$$\bar{P} = \lim_{N \rightarrow \infty} \bar{P}_{N-j} = Q + A^t \bar{P} \left[ I - \underline{b}(r + \underline{b}^t \bar{P} \underline{b})^{-1} \underline{b}^t \bar{P} \right] A \quad (3.11)$$

obtidas das equações (3.6) e (3.7). A equação (3.11) é chamada equação estacionária de Riccati.

O sistema em malha fechada é então

$$\underline{x}(k+1) = \left[ A - \underline{b} \underline{K} \right] \underline{x}(k), \quad (3.12)$$

sendo a equação característica associada

$$\det \left[ z I - A + \underline{b} \underline{K} \right] = 0 \quad (3.13)$$

### 3.3. Observador de Estados

No projeto do regulador do item anterior, assumiu-se implicitamente que todas as variáveis de estado são direta-



mente mensuráveis. Na realidade,  $x_2(k)$ , correspondente à velocidade, é obtida diretamente do codificador incremental,  $x_1(k)$ , correspondente à posição, é diretamente calculável a partir da posição no período anterior e do deslocamento (ou velocidade média) entre o período anterior e ao atual, como visto no capítulo anterior. No entanto,  $x_3(k)$ , correspondente à corrente de armadura, não é mensurável pelo hardware existente nem calculável diretamente. Assim, torna-se necessária a sua obtenção através de software. Isto é conseguido com o uso de um observador de estados.

Existem basicamente dois tipos de observadores de estados: os observadores de estados de ordem completa e os observadores de estados de ordem reduzida. No primeiro assume-se que todos os estados precisam ser obtidos, enquanto no segundo apenas os estados não disponíveis precisam ser determinados.

Os observadores de estado de ordem completa levam a um projeto mais transparente, e, se o número de variáveis disponíveis não for grande em relação ao número de variáveis restante, geralmente requerem esforço computacional (número de multiplicações exigidas) da ordem do esforço computacional dos observadores de ordem reduzida (Isermann (1981, p. 179)). Como será visto no item 3.5, o observador de ordem completa leva a uma solução para o problema de atraso no cálculo de  $u(k)$  a partir das variáveis na amostra  $k$ . E, além disso, como observadores de estados têm uma característica

dinâmica, com o observador de ordem completa os ruídos presentes nas medidas das variáveis de saída são filtrados, tornando assintoticamente estados observados mais próximos dos reais. Assim, o observador de ordem completa é selecionado e de agora em diante será referenciado apenas como observador de estados.

O observador de estados para o sistema representado pelas equações (3.1), (3.2), e (3.3) tem a seguinte forma

$$\begin{bmatrix} \hat{x}_1(k+1) \\ \hat{x}_2(k+1) \\ \hat{x}_3(k+1) \end{bmatrix} = \begin{bmatrix} 1 & a_{12} & a_{13} \\ 0 & a_{22} & a_{23} \\ 0 & a_{32} & a_{33} \end{bmatrix} \begin{bmatrix} \hat{x}_1(k) \\ \hat{x}_2(k) \\ \hat{x}_3(k) \end{bmatrix} + \begin{bmatrix} b_1 \\ b_2 \\ b_3 \end{bmatrix} u(k) + \begin{bmatrix} h_1 \\ h_2 \\ h_3 \end{bmatrix} [y(k) - \hat{y}(k)] \quad (3.14)$$

$$\hat{y}(k) = \begin{bmatrix} 1 & 0 & 0 \end{bmatrix} \begin{bmatrix} \hat{x}_1(k) \\ \hat{x}_2(k) \\ \hat{x}_3(k) \end{bmatrix} \quad (3.15)$$

onde os termos  $\hat{x}_i$  ( $i=1,2,3$ ) são os estados observados. Note que o observador acima compreende um termo com a mesma estrutura do sistema a ser observado, e um fator de correção, cujo objetivo é minimizar o efeito dos erros decorrentes da impossibilidade de obtenção de maneira precisa, dos coeficientes do sistema real.

Para a obtenção dos coeficiente  $h_i$  ( $i=1,2,3$ ), do fator de correção, considere o vetor erro entre as variáveis de estado do sistema e do observador, ou seja

UNIVERSIDADE FEDERAL DA PARAÍBA  
 Pró-Reitoria Para Assuntos do Interior  
 Coordenação Setorial de Pós-Graduação  
 Rua Aprígio Veloso, 882 - Tel (083) 321-7222-R 355  
 58.100 - Campina Grande - Paraíba

$$\underline{\tilde{x}}(k) = \underline{x}(k) - \underline{\hat{x}}(k) \quad (3.16)$$

Das equações (3.1), (3.3), (3.14) e (3.15) obtêm-se

$$\begin{bmatrix} \tilde{x}_1(k+1) \\ \tilde{x}_2(k+1) \\ \tilde{x}_3(k+1) \end{bmatrix} = \begin{bmatrix} 1 & a_{12} & a_{13} \\ 0 & a_{22} & a_{23} \\ 0 & a_{32} & a_{33} \end{bmatrix} - \begin{bmatrix} h_1 \\ h_2 \\ h_3 \end{bmatrix} \begin{bmatrix} 1 & 0 & 0 \end{bmatrix} \begin{bmatrix} \tilde{x}_1(k) \\ \tilde{x}_2(k) \\ \tilde{x}_3(k) \end{bmatrix} \quad (3.17)$$

ou, em forma compacta.

$$\underline{\tilde{x}}(k+1) = \left[ A - \underline{h} \underline{d}^t \right] \underline{\tilde{x}}(k) \quad (3.18)$$

Da equação acima conclui-se que o vetor erro entre as variáveis de estado do sistema e as variáveis de estado do observador depende apenas do estado inicial deste vetor erro, independentemente da entrada  $u(k)$ .

Obviamente, deseja-se que o erro convirja para um estado zero, ou

$$\lim_{k \rightarrow \infty} \underline{\tilde{x}}(k+1) = \underline{0} \quad (3.19)$$

Para calcular os  $h_i$ 's de maneira que a equação acima seja válida, considere que a equação característica do sistema da equação (3.18) é

$$\det \left[ zI - A + \underline{h} \underline{d}^t \right] = 0 \quad (3.20)$$

Como  $\det \left[ zI - A + \underline{h} \underline{d}^t \right] = \det \left[ zI - A + \underline{h} \underline{d}^t \right]^t$  tem-se também que  $\det \left[ zI - A^t + \underline{d} \underline{h}^t \right] = 0$ . (3.21)

Comparando com a equação (3.13), a equação acima pode ser considerada como a equação característica do sistema em malha fechada obtido da regulação sobre o sistema

$$\underline{x}'(k+1) = A^t \underline{x}'(k) + \underline{d} u'(k) \quad (3.22)$$

através da minimização do índice de desempenho quadrático

$$I_{\underline{x}'} = \lim_{N \rightarrow \infty} \left\{ \underline{x}'^t(N) Q \underline{x}'(N) + \sum_{k=0}^{N-1} \left[ \underline{x}'^t(k) Q \underline{x}'(k) + r(u'(k)) \right] \right\} \quad (3.23)$$

Assim, os parâmetros  $h_i$ 's ( $i=1,2,3$ ) são obtidos como a solução das equações

$$\underline{h}^t = (r + \underline{d}^t P' \underline{d})^{-1} \underline{d}^t P' A^t \quad (3.24)$$

$$P' = \lim_{N \rightarrow \infty} P' = Q + A P' \left[ I - \underline{d} (r + \underline{d}^t P' \underline{d})^{-1} \underline{d}^t P' \right] A^t \quad (3.25)$$

O procedimento acima, transformando o projeto do observador num projeto equivalente ao do regulador é possível devido à dualidade entre o observador e o regulador.

#### 3.4. Controlador Ótimo Obtido a Partir do Regulador

Nos itens anteriores foi considerado o problema do regulador, ou seja, estando o sistema num estado inicial  $\underline{x}(0)$ , o objetivo é conduzi-lo ao estado  $\underline{x}(N) \approx 0$ . No proje

to de um servomecanismo deseja-se que a saída do sistema siga um determinado comando de referência. Este item trata da transformação do projeto do regulador no projeto de um controlador para um servomecanismo, baseado no apresentado em Franklin-Powell ((1980, p.155 e 156)).

As equações associadas ao sistema são

$$\underline{x}(k+1) = A \underline{x}(k) + \underline{b} u(k) \quad (3.1)$$

e

$$y(k) = \underline{d}^t \underline{x}(k) \quad (3.2)$$

Para o conjunto observador-regulador tem-se das equações (3.14) e (3.15).

$$\hat{\underline{x}}(k+1) = A \hat{\underline{x}}(k) + \underline{b} u(k) + \underline{h} [y(k) - \hat{y}(k)] \quad (3.26)$$

$$\hat{y}(k) = \underline{d}^t \hat{\underline{x}}(k) \quad (3.27)$$

e

$$u(k) = -\underline{K} \hat{\underline{x}}(k) \quad (3.9)$$

Substituindo as equações (3.27) e (3.9) em (3.26) tem-se

$$\hat{\underline{x}}(k+1) = [A - \underline{b}\underline{K} - \underline{h}\underline{d}^t] \hat{\underline{x}}(k) + \underline{h} y(k) \quad (3.28)$$

e

$$u(k) = -\underline{K} \hat{\underline{x}}(k) \quad (3.9)$$

Considerando uma entrada de comando  $v(k)$ , tem-se que a maneira mais geral de transformar o problema do regulador

no problema do servomecanismo é introduzindo  $\underline{v}(k)$  nas equações acima. Assim

$$\hat{\underline{x}}(k+1) = [A - \underline{b} \underline{K} - \underline{h} \underline{d}^t] \hat{\underline{x}}(k) + \underline{h} y(k) + \underline{m} v(k) \quad (3.29)$$

e

$$u(k) = -\underline{K} \hat{\underline{x}}(k) + n v(k) \quad (3.30)$$

onde  $\underline{m}$  é um vetor de dimensão 3 e  $n$  um escalar. O problema então torna-se em determinar  $\underline{m}$  e  $n$ .

Existem três alternativas para a determinação de  $\underline{m}$  e  $n$ . A primeira é selecioná-los de maneira que a equação do observador independa da entrada  $v(k)$ . A segunda é que  $v(k)$  sempre apareça na forma do erro  $e(k) = y(k) - v(k)$ . A terceira é que sejam escolhidas de modo que as respostas transitória e em regime do sistema em malha fechada satisfaçam especificações desejadas.

No sistema considerado neste trabalho tem-se que a saída, a posição na amostragem  $k$  (igual à variável de estado  $x_1(k)$ ), é obtida através da adição do valor da posição na amostragem anterior,  $k-1$ , ao deslocamento medido entre as amostragens  $k-1$  e  $k$ , como visto no capítulo anterior.

Como existe limitação no comprimento de palavra dos registradores que armazenam o comando total e a saída do sistema, em algumas aplicações torna-se interessante armazenar apenas a diferença entre o comando e a saída do sistema,

ou seja, o erro

$$e(k) = y(k) - v(k) , \quad (3.31)$$

de maneira a minimizar as possibilidades de "overflow" das variáveis. Com isso, é deixado para o gerador de comandos de referência a determinação do valor absoluto da posição. Isto pode ser feito a partir da distribuição de sensores em locais pré-determinados (como, por exemplo, em um ponto de zero) e da informação dos comandos emitidos, subtraído do erro existente no controlador.

Assim, a opção escolhida para a determinação de  $\underline{m}$  e  $n$  nas equações (3.30) e (3.31) é a segunda, ou seja, o comando  $v(k)$  deve sempre aparecer na forma do erro  $e(k)$ . Para tal, da equação (3.29) chega-se a

$$\underline{m} = -\underline{h} \quad (3.32)$$

e da equação (3.31) a

$$n = 0 \quad (3.33)$$

As equações do controlador são

$$\underline{\hat{x}}(k+1) = [A - \underline{bK} - \underline{ht}] \underline{\hat{x}}(k) + \underline{h} [y(k) - v(k)] \quad (3.34)$$

e

$$u(k) = -\underline{K} \underline{\hat{x}}(k) \quad (3.35)$$

Com esta escolha, o comportamento dinâmico do sistema em malha fechada dependerá apenas dos valores determina

dos para  $\underline{k}$  e  $\underline{h}$ .

### 3.5. Diagonalização: Controlador I

A equação (3.34) pode ser implementada diretamente, ou sofrer transformações de maneira a reduzir o esforço computacional (em número de multiplicações). Este item e o próximo tratam destas transformações. Aqui a equação acima citada é agrupada de maneira a manter a característica de correção do erro entre a saída do sistema e a saída do observador, presente na formulação da teoria do observador, como visto no item 3.4. Tal estrutura é obtida a partir da diagonalização do conjunto controlador-observador, tendo como resultado uma estrutura semelhante à estrutura paralela apresentada em textos de filtragem e controle digitais. O resultado é denominado Controlador I. No próximo item, com algumas reduções chega-se à estrutura paralela, denominada Controlador II.

A equação (3.34) pode ser escrita como

$$\underline{\hat{x}}(k+1) = [A \quad -\underline{b}K] \underline{\hat{x}}(k) + \underline{h} [y(k) - v(k) - \underline{d}^t \underline{\hat{x}}(k)] \quad (3.36)$$

Para a transformação da equação acima numa estrutura com características de estruturas paralelas, define-se um novo conjunto de variáveis de estado

$$\underline{s}(k) = R^{-1} \underline{\hat{x}}(k) \quad (3.37)$$



obtido através da transformação linear  $R^{-1}$ , onde  $R$  é uma matriz  $3 \times 3$ . A matriz  $R$  é escolhida tal que a equação do novo sistema

$$\underline{s}(k+1) = R^{-1} [A - \underline{b}K] R \underline{s}(k) + R^{-1} \underline{h} [y(k) - v(k) - \underline{d}^t R \underline{s}(k)] \quad (3.38)$$

tenha a matriz  $R^{-1} [A - \underline{b}K] R$  na forma diagonal, ou seja, na forma de Jordan. A matriz  $R$  é a matriz dos autovetores de  $[A - \underline{b}K]$ , como mostrado por KUO (1980, p.191 a 198).

Na equação (3.25) a variável de controle,  $u(k)$ , é obtida a partir das variáveis de estado  $\hat{x}(k)$ . Como existe um tempo para o cálculo de  $\hat{x}(k)$  e  $u(k)$ , a equação (3.35) não é realista. Uma alternativa para solucionar este problema é considerar a variável de controle na amostragem  $k+1$ , ou

$$u(k+1) = -\underline{K} \hat{x}(k+1) \quad (3.39)$$

Da equação (3.37) tem-se

$$u(k+1) = -\underline{K} R \underline{s}(k+1) \quad (3.40)$$

Substituindo a equação (3.38) na equação (3.40) tem-se

$$u(k+1) = -\underline{K} R \left\{ R^{-1} [A - \underline{b}K] R \underline{s}(k) + R^{-1} \underline{h} [y(k) - v(k) - \underline{d}^t R \underline{s}(k)] \right\} \quad (3.41)$$

ou

$$u(k+1) = -\underline{k} [A - \underline{b}K] R \underline{s}(k) - \underline{K} \underline{h} [y(k) - v(k) - \underline{d}^t R \underline{s}(k)] \quad (3.42)$$

Como visto, com este procedimento a variável de controle é determinada a partir das variáveis amostradas anteriormente. No entanto, isto leva a um atraso de um período de amostragem para a atuação da entrada de comando  $v(k)$ . Para minimizar este problema, geralmente usa-se como entrada de comando o valor presente no instante mais próximo da amostragem  $k+1$  (Moroney-Willsky and Houpt (1980)).

Chamando

$$\underline{A}_s = R^{-1} [ A - \underline{b}\underline{K} ] R \quad (3.43)$$

$$\underline{h}_s = R^{-1} h \quad (3.44)$$

$$\underline{K}_s = -\underline{K} [ A - \underline{b}\underline{K} ] R \quad (3.45)$$

$$\underline{d}_s^t = \underline{d}^t R \quad (3.46)$$

e

$$r = -\underline{K} h \quad (3.47)$$

as equações (3.38) e (3.41) tornam-se

$$\underline{s}(k+1) = \underline{A}_s \underline{s}(k) + \underline{h}_s [ y(k) - v(k) - \underline{d}_s^t \underline{s}(k) ] \quad (3.48)$$

e

$$u(k+1) = \underline{K}_s \underline{s}(k) + r [ y(k) - v(k) - \underline{d}_s^t \underline{s}(k) ] \quad (3.49)$$

onde  $\underline{A}_s$  é uma matriz diagonal, com elementos na diagonal  $i$  iguais a  $\lambda_i$ , correspondentes aos autovalores.

A estrutura acima, mostrada no diagrama de estados da figura 3.2, pode ser modificada. Usando as propriedades dos sistemas lineares, os ganhos podem ser deslocados no diagra

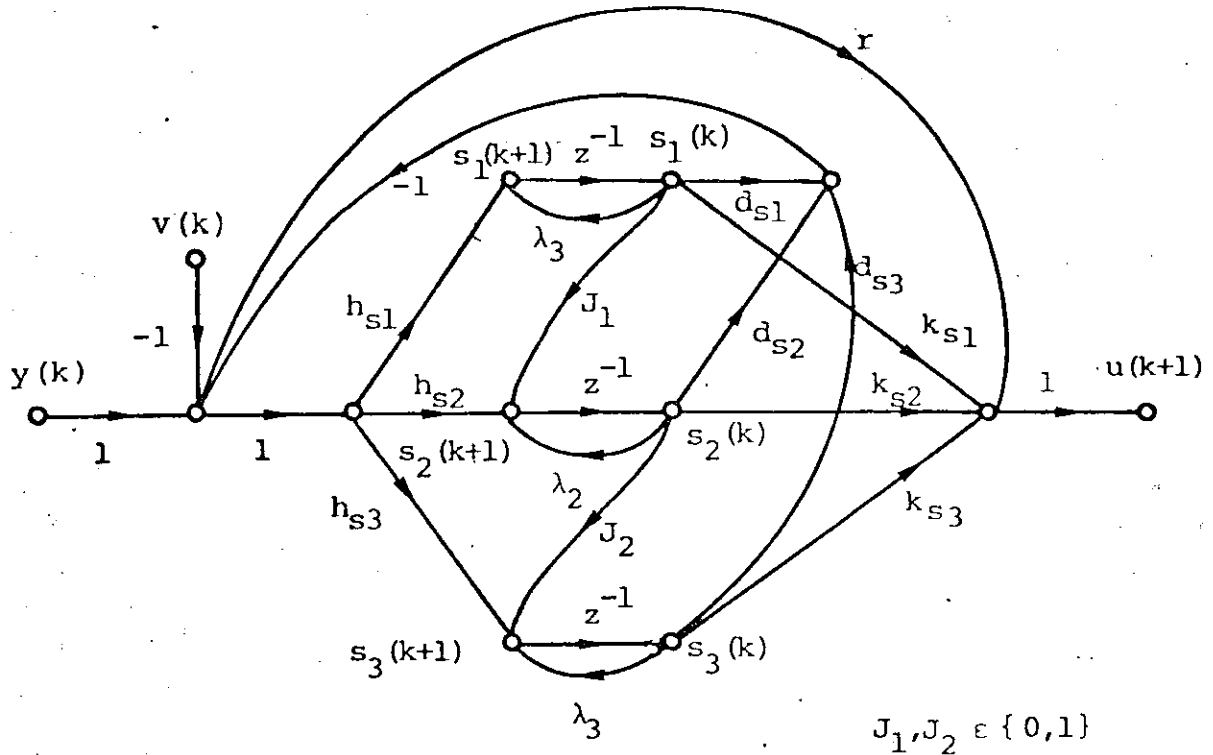


Figura 3.2 - Estrutura do controlador com características da estrutura paralela.

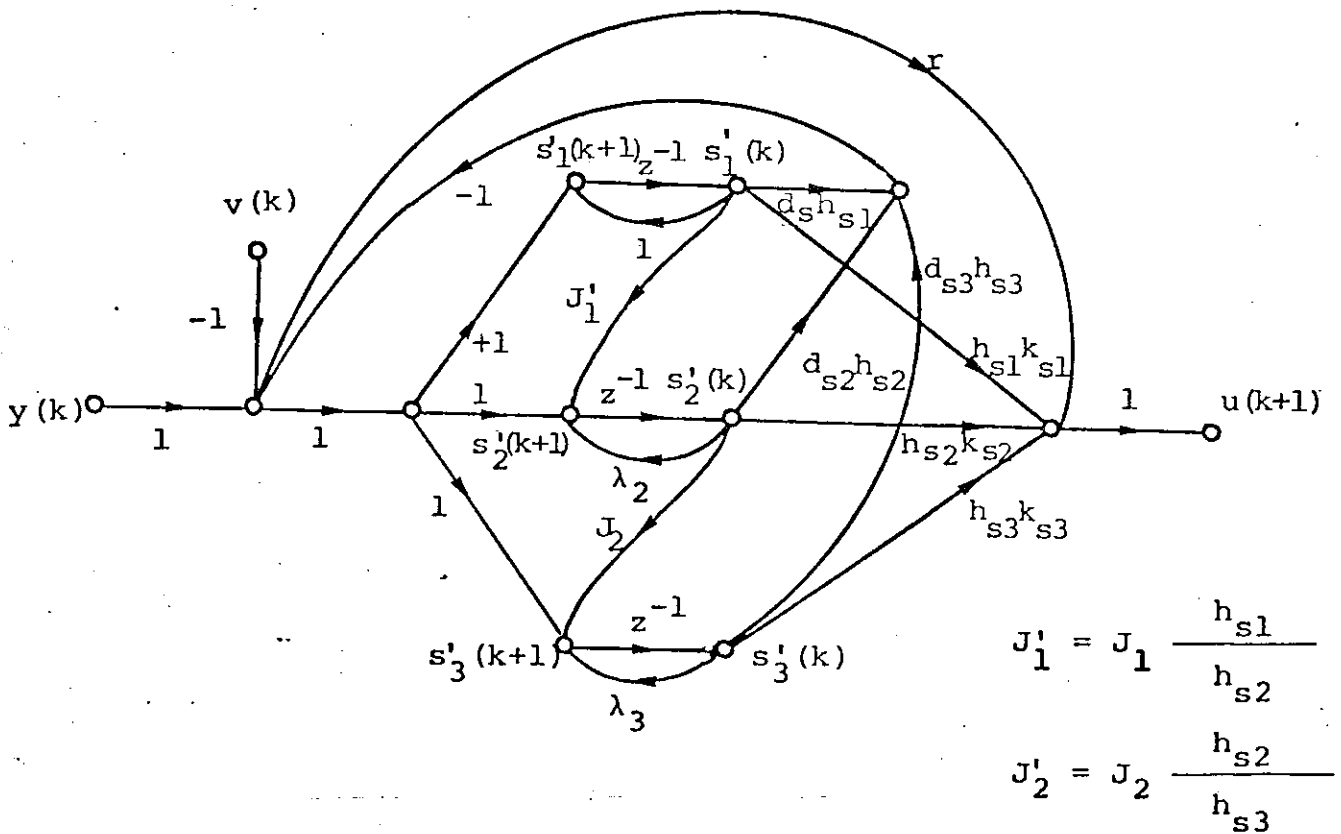


Figura 3.3 - Estrutura do controlador com menor número de multiplicações.

ma, de modo que a estrutura original transforma-se numa estrutura com um número menor de multiplicações, como mostrado na figura 3.3.

Finalmente, caso existam no máximo 2 (dois) autovalores idênticos, chega-se à estrutura mostrada no diagrama da figura 3.4, usando-se a equivalência entre os diagramas das figuras 3.5 e 3.6.

### 3.6 Reduções : Controlador II

A estrutura paralela é obtida através da transformação linear

$$\underline{s}(k) = R^{-1} \underline{\hat{x}}(k) \quad (3.37)$$

sobre as equações

$$\underline{\hat{x}}(k+1) = [A - \underline{b}\underline{K} - \underline{h}\underline{d}^t] \underline{\hat{x}}(k) + \underline{h}[y(k) - v(k)] \quad (3.34)$$

e

$$u(k) = \underline{K} \underline{\hat{x}}(k) \quad (3.35)$$

onde R é uma matriz de ordem 3x3 escolhida de maneira que a equação do novo sistema

$$\underline{s}(k+1) = R^{-1} [A - \underline{b}\underline{K} - \underline{h}\underline{d}^t] R \underline{s}(k) + R^{-1} \underline{h} [y(k) - v(k)] \quad (3.50)$$

tenha a matriz  $R^{-1} [A - \underline{b}\underline{K} - \underline{h}\underline{d}^t] R$  na forma diagonal. Como citado no item anterior, a matriz R é a matriz formada pelos

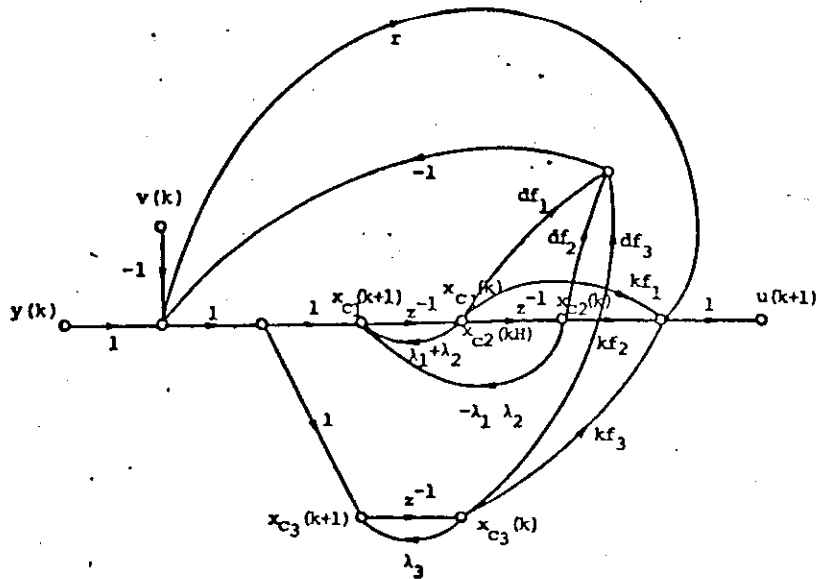


Figura 3.4 - Estrutura do controlador I

$$df_1 = d_{s1}h_{s1} + d_{s2}h_{s2}$$

$$df_2 = d_{s2}h_{s1}J_1 - d_{s1}h_{s2}\lambda - d_{s2}h_{s2}\lambda$$

$$df_3 = d_{s3}h_{s3}$$

$$kf_1 = k_{s1}h_{s1} + h_{s2}k_{s2}$$

$$kf_2 = h_{s1}k_{s2}J_1 - k_{s1}h_{s1}\lambda_2 - k_{s2}h_{s1}\lambda_1$$

$$kf_3 = h_{s3}k_{s3}$$

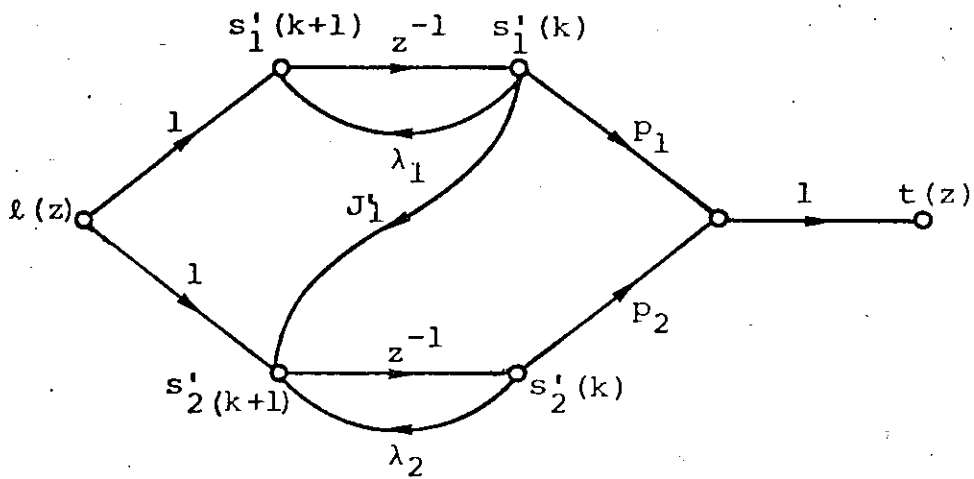


Figura 3.5 . Estrutura de segunda ordem.

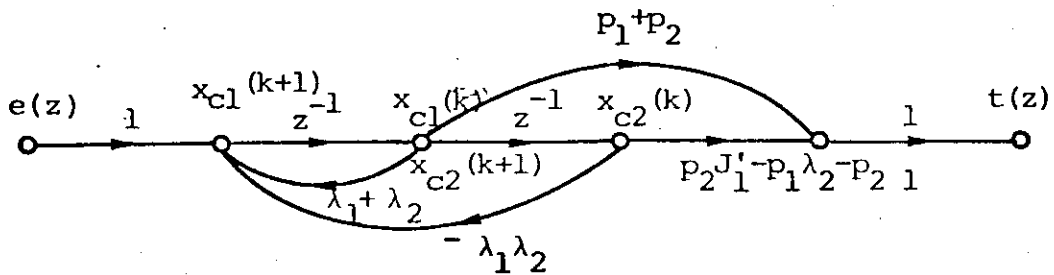


Figura 3.6 - Estrutura equivalente à da figura 3.5.

autovetores de  $[A - \underline{b}\underline{K} - \underline{h}\underline{d}^t]$ .

Da equação (3.35), tem-se

$$\underline{u}(k+1) = -\underline{K}\hat{\underline{x}}(k+1) \quad (3.39)$$

e de (3.37)

$$\underline{u}(k+1) = -\underline{K}R\underline{s}(k+1) \quad (3.40)$$

Substituindo a equação (3.50) na equação acima, tem-se

$$\underline{u}(k+1) = -\underline{K}R \left\{ R^{-1} [A - \underline{b}\underline{K} - \underline{h}\underline{d}^t] R \underline{s}(k) + R^{-1}\underline{h} [y(k) - v(k)] \right\} \quad (3.51)$$

$$\underline{u}(k+1) = -\underline{K} [A - \underline{b}\underline{K} - \underline{h}\underline{d}^t] R \underline{s}(k) - \underline{K}\underline{h} [y(k) - v(k)] \quad (3.52)$$

Chamando

$$\underline{A}_s = R^{-1} [A - \underline{b}\underline{K} - \underline{h}\underline{d}^t] R \quad (3.53)$$

$$\underline{h}_s = R^{-1} \underline{h} \quad (3.54)$$

$$\underline{K}_s = -\underline{K} [A - \underline{b}\underline{K} - \underline{h}\underline{d}^t] R \quad (3.55)$$

$$\underline{d}_s^t = \underline{d}^t R \quad (3.56)$$

e

$$\underline{r} = -\underline{K}\underline{h} \quad (3.57)$$

as equações (3.50) e (3.52) tornam-se

$$\underline{s}(k+1) = \underline{A}_s \underline{s}(k) + \underline{h}_s [y(k) - v(k)] \quad (3.58)$$

e

$$u(k+1) = \underline{K}_s \underline{s}(k) + r [y(k) - v(k)] \quad (3.59)$$

As equações acima são mostradas no diagrama de estados da figura 3.7. Como no item anterior, usando as propriedades dos sistemas lineares para diminuir o número de multiplicações, chega-se à estrutura da figura 3.8.

Se existirem no máximo 2 (dois) autovalores idênticos, chega-se à estrutura paralela mostrada na figura 3.9, onde foi levada em consideração a equivalência entre as estruturas mostradas pelos diagramas das figuras 3.5 e 3.6.

### 3.7. Controlador Dinâmico: Controlador III

Seja o sistema dado pelas equações

$$\underline{x}(k+1) = A \underline{x}(k) + \underline{b} u(k) \quad (3.60)$$

e

$$y(k) = \underline{d}^t \underline{x}(k) \quad (3.61)$$

O controlador por realimentação de estados obtido usando o índice de desempenho quadrático dado pela equação (3.9) é

$$u(k) = - \begin{bmatrix} k_1 & k_2 & k_3 \end{bmatrix} \begin{bmatrix} x_1(k) \\ x_2(k) \\ x_3(k) \end{bmatrix} \quad (3.62)$$

O conjunto de equações acima é mostrado na figura 3.10.

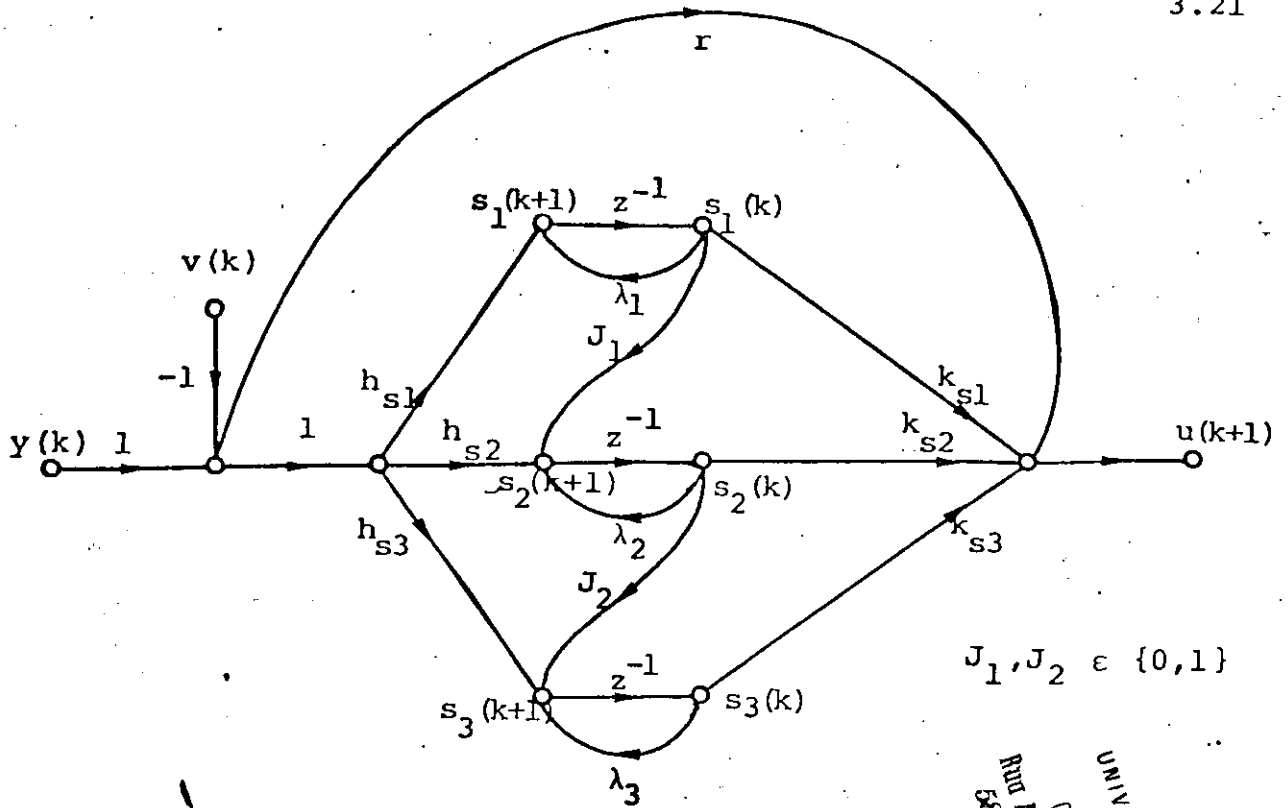


Figura 3.7 - Estrutura reduzida (paralela)

UNIVERSIDADE FEDERAL DA PARAIBA  
 Pró-Reitoria de Assuntos do Interior  
 Setorial de Pós-Graduação  
 Colegiado de Matemática, 882 - Tel. (083) 321-7222 - R. 355  
 Rua André de Albuquerque, 412 - Campina Grande - Paraíba  
 58100-970

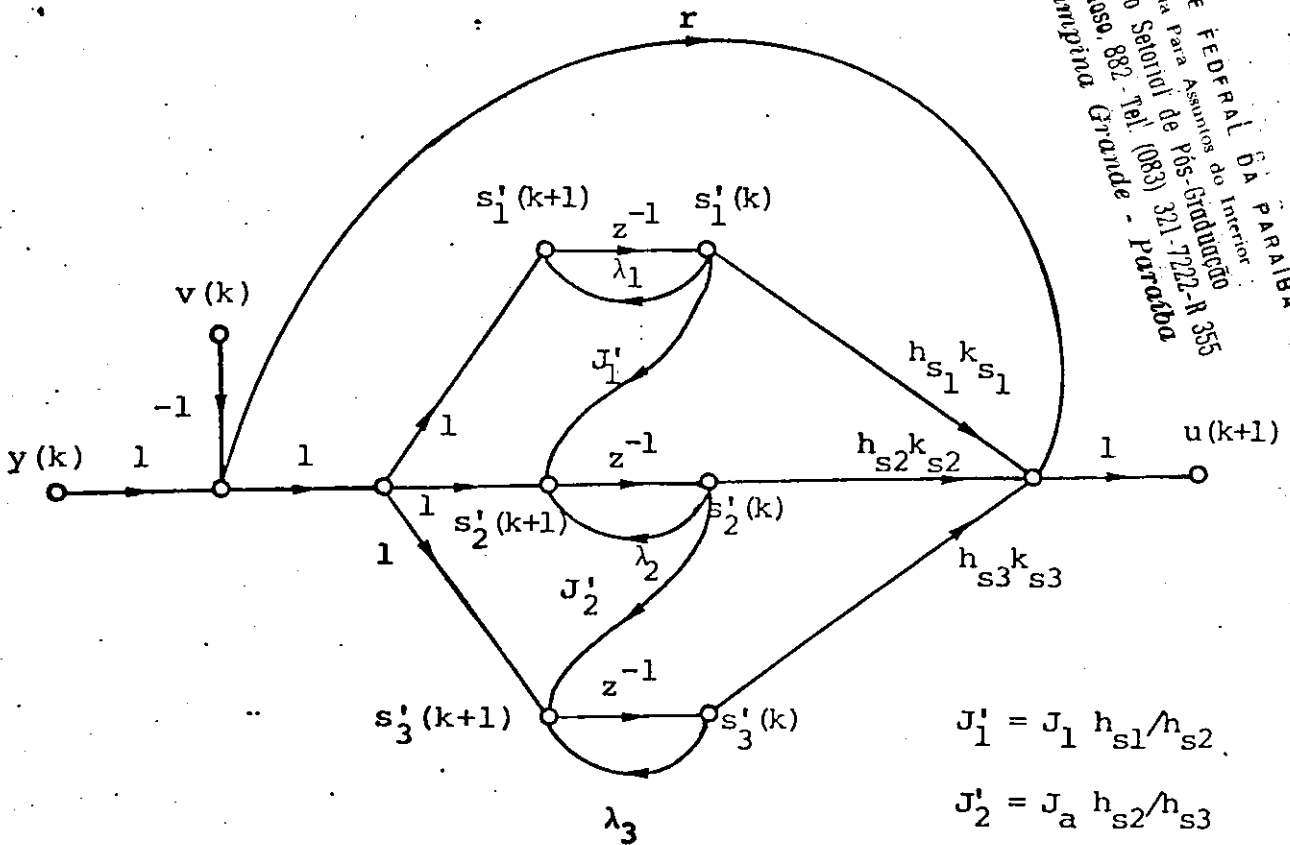


Figura 3.8 - Estrutura reduzida (paralela) com menor número de multiplicações.



UNIVERSIDADE FEDERAL DA PARAÍBA  
 Pró-Reitoria Para Assuntos do Interior  
 Coordenação Setorial de Pós-Graduação  
 Rua Aprígio Veloso, 882 - Tel (083) 321-7222-R 355  
 58.100 - Campina Grande - Paraíba

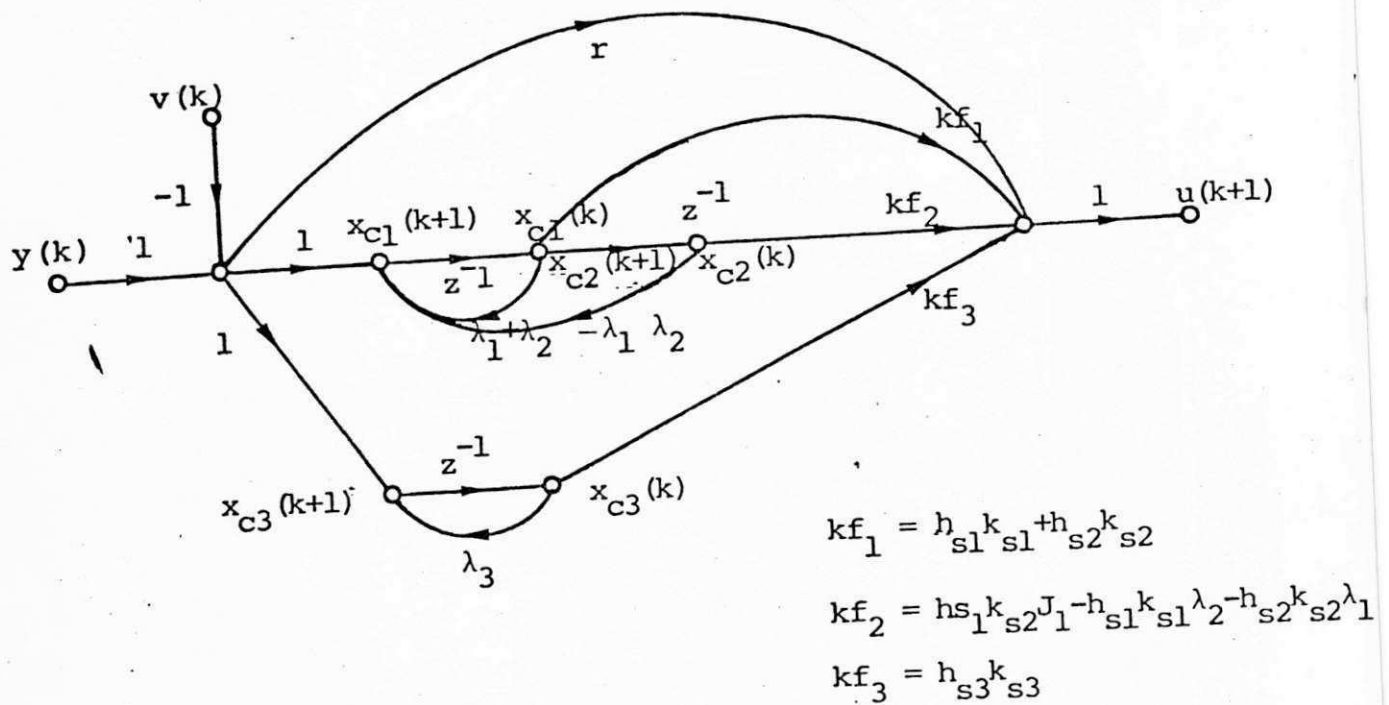


Figura 3.9 - Estrutura do controlador II

Como os estados não são usualmente disponíveis em sua totalidade, o objetivo é aproximar o controlador com realimentação de estados da equação (3.62) por um controlador com entrada  $y(k)$ . Isto é, um controlador com (KUO (1980, p. 555 a 566)) .

$$U(z) = -H(z) Y(z) \quad (3.63)$$

como mostrado na figura 3.11.

$H(z)$  pode ser expressa por sua função de transferência:

$$H(z) = \frac{k_d (z^n + \alpha_1 z^{n-1} + \dots + \alpha_n)}{z^n + \beta_1 z^{n-1} + \dots + \beta_n} \quad (3.64)$$

Expandindo  $H(z)$  em série de Laurent em torno de  $z=0$ , tem-se

$$H(z) = k_d \sum_{k=0}^{\infty} h_k z^{-k} \quad (3.65)$$

onde

$$\begin{aligned} h_0 &= 1 \\ h_1 &= \alpha_1 - \beta_1 \\ h_k &= \alpha_k - \beta_k - \sum_{\ell=1}^{k-1} h_k \beta_{k-\ell} \end{aligned} \quad (3.66)$$

Assumindo que a série infinita converge, e truncando a em  $m$  termos, tem-se a nova série

$$H_m(z) = k_d \sum_{k=0}^{m-1} h_k z^{-k} \quad (3.67)$$

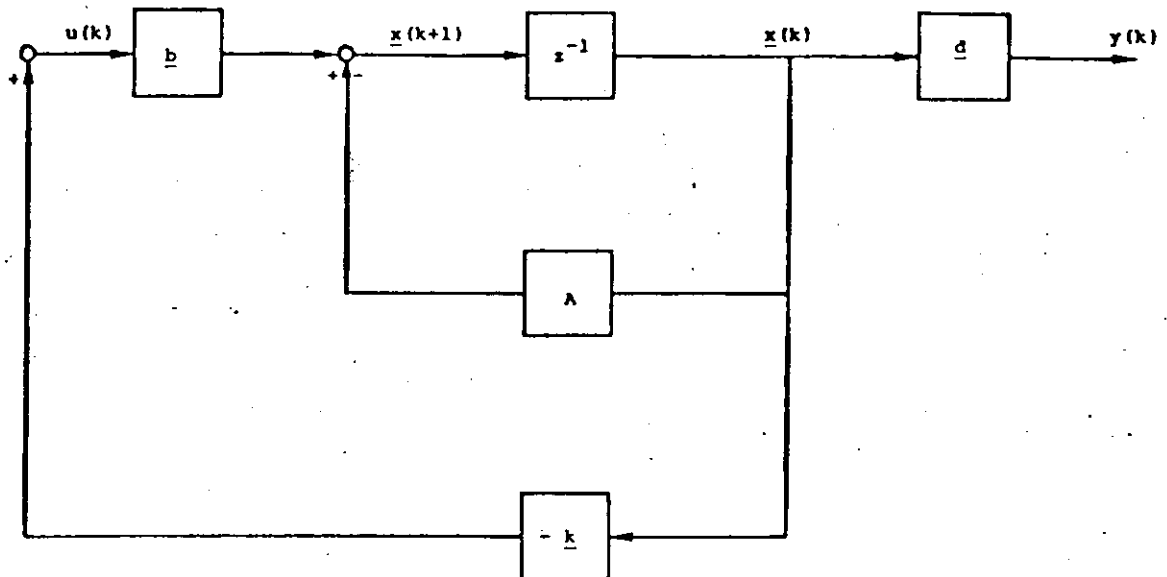


Figura 3.10 - Sistema de controle digital com realimentação de estado.

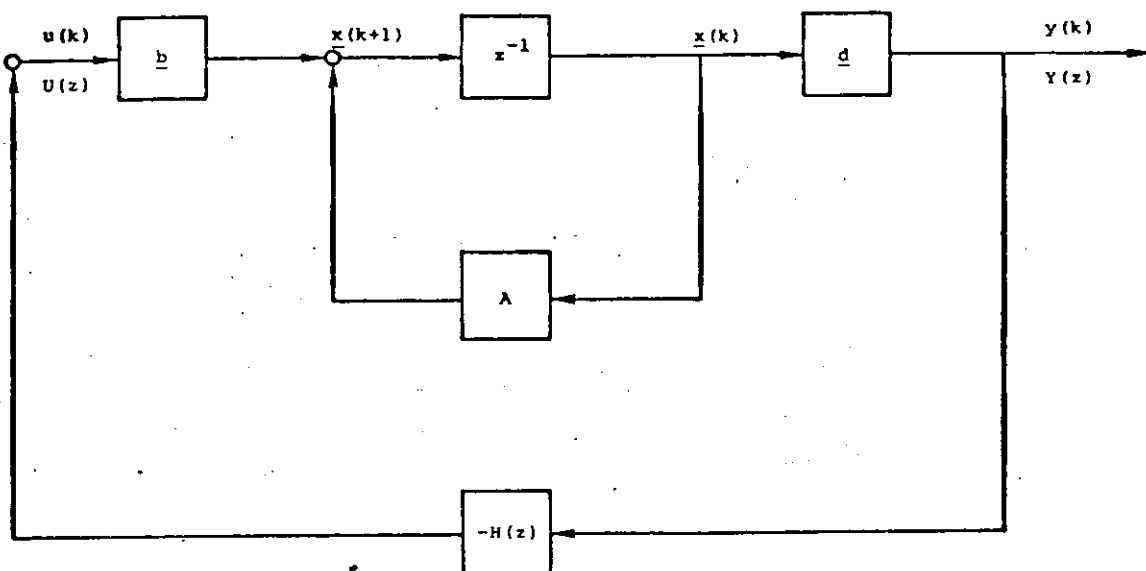


Figura 3.11 - Sistema de controle digital com realimentação dinâmica.

Substituindo-se a equação acima na equação (3.63),  
 tem-se

$$U(z) \approx - \begin{bmatrix} k_d h_0 & k_d h_1 & \dots & k_d h_{m-1} \end{bmatrix} \begin{bmatrix} Y(z) \\ z^{-1} Y(z) \\ \vdots \\ z^{-m+1} Y(z) \end{bmatrix} \quad (3.68)$$

Realizando a transformada inversa

$$u(k) \approx - F \begin{bmatrix} y(k) \\ y(k-1) \\ \vdots \\ y(k-m+1) \end{bmatrix} \quad (3.69)$$

Da equação (3.61) obtem-se

$$y(k-1) = \underline{d}^t \underline{x}(k-1) \quad (3.70)$$

e da equação (3.60)

$$A \underline{x}(k-1) = \underline{x}(k) - \underline{b} u(k-1) \quad (3.71)$$

Usando a equação (3.62)

$$A \underline{x}(k-1) = \underline{x}(k) + \underline{b} \underline{K} \underline{x}(k-1) \quad (3.72)$$

a qual pode ser reagrupada como

$$\underline{x}(k-1) = (A - \underline{b} \underline{K})^{-1} \cdot \underline{x}(k) \quad (3.73)$$

assumindo que a inversa da matriz existe.

Substituindo a equação (3.73) na equação (3.70) tem-se

$$y(k-1) = \underline{d}^t (A - \underline{b} \underline{K})^{-1} \cdot \underline{x}(k) \quad (3.74)$$

Analogamente chega-se a

$$y(k-l) = \underline{d}^t (A - \underline{b} \underline{K})^{-l} \underline{x}(k) \quad (3.75)$$

Assim, a equação (3.69) torna

$$u(k) \approx -F \begin{bmatrix} \underline{d}^t \\ \underline{d}^t A' \\ \underline{d}^t (A')^2 \\ \vdots \\ \underline{d}^t (A')^{m-1} \end{bmatrix} \underline{x}(k) \quad (3.76)$$

onde

$$A' = (A - \underline{b} \underline{K})^{-1}$$

Comparando a equação acima com a equação (3.62) tem-se

se

$$-F \begin{bmatrix} \underline{d}^t \\ \underline{d}^t A' \\ \vdots \\ \underline{d}^t (A')^{m-1} \end{bmatrix} \approx - \begin{bmatrix} k_1 & k_2 & k_3 \end{bmatrix} \quad (3.77)$$

Para que o sistema de equações (3.77) tenha solução única, deve-se ter  $m=3$ .

O controlador dinâmico é então obtido a partir de

$$F \begin{bmatrix} 1 & 0 & 0 \\ [100] & A' & \\ [100] & (A')^2 & \end{bmatrix} = [k_1 \quad k_2 \quad k_3] \quad (3.78)$$

Da equação (3.68) temos que

$$F = \begin{bmatrix} k_d h_0 & k_d h_1 & k_d h_2 \end{bmatrix} \quad (3.79)$$

e da equação (3.66)

$$\begin{aligned} h_0 &= 1 \\ h_1 &= \alpha_1 - \beta_1 \\ h_2 &= \alpha_2 - \beta_2 - h_1 \beta_1 \end{aligned} \quad (3.80)$$

Na equação acima,  $\beta_1$  e  $\beta_2$  são parâmetros a serem selecionados pelo projetista e devem ser pequenos de modo a manter os polos do controlador com efeitos desprezíveis em relação aos zeros, (KUO (1980, p. 561) ), já que eles não são obtidos diretamente da expansão em série dada pela equação (3.65) utilizada em todo o desenvolvimento do controlador dinâmico.

O controlador dinâmico torna-se

$$H(z) \approx k_d \frac{(1 + \alpha_1 z^{-1} + \alpha_2 z^{-2})}{(1 + \beta_1 z^{-1} + \beta_2 z^{-2})} \quad (3.81)$$

A implementação direta do controlador acima é mostrada na figura 3.12.

Na amostragem  $k$ , para determinar a saída após o cálculo de  $e(k)$ , são necessárias duas adições e uma multiplicação. Fazendo

$$H(z) = k_d + \frac{\delta_1 z^{-1} + \delta_2 z^{-2}}{1 + \beta_1 z^{-1} + \beta_2 z^{-2}} \quad (3.82)$$

onde

$$\begin{aligned} \delta_1 &= k_d \alpha_1 - \beta_1 \\ \delta_2 &= k_d \alpha_2 - \beta_2 \end{aligned} \quad (3.83)$$

uma adição é eliminada. Estrutura do controlador III é mostrada na figura 3.13.

### 3.8. Resumo

Neste capítulo foram apresentados os projetos de três controladores, utilizando de transformações lineares em suas estruturas, visando a diminuição no número de operações aritméticas necessárias nas implementações. Os controladores são projetados baseando-se na minimização de um índice de desempenho quadrático. Dois deles utilizam observadores de estados e são diferenciados pela estrutura obtida após as transformações lineares, sendo que no primeiro procurou-se manter a realimentação existente na formulação da teoria dos observadores. O terceiro controlador é uma aproximação dinâmica do regulador ótimo. Foi considerada também

a extensão do projeto do regulador para o projeto de um ser  
vomecanismo.

UNIVERSIDADE FEDERAL DA PARAÍBA  
Pró-Reitoria Para Assuntos do Interior  
Coordenação Setorial de Pós-Graduação  
Rua Aprígio Veloso, 882 - Tel (083) 321-7222-R 355  
58.100 - *Campina Grande - Paraíba*



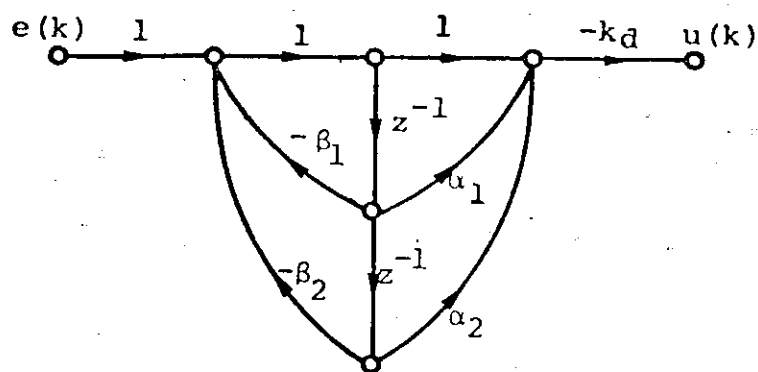


Figura 3.12 - Estrutura direta de 2ª ordem.

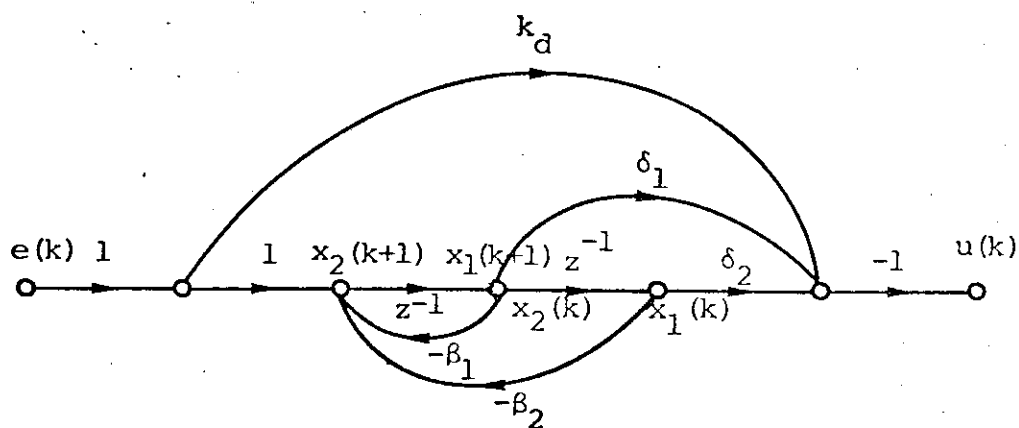


Figura 3.13 - Estrutura do controlador III.

#### 4. DETERMINAÇÃO DO COMPRIMENTO DE PALAVRA DE VARIÁVEIS E COEFICIENTES NA REPRESENTAÇÃO EM PONTO FIXO

##### 4.1. Introdução

Os controladores projetados nos capítulos anteriores assumem a representação de variáveis e coeficientes com precisão infinita.

Na implementação destes controladores em computadores é necessário que as variáveis e coeficientes sejam armazenados em registradores com comprimento finito. Consequentemente os controladores assim implementados (controladores digitais) não corresponderão exatamente aos controladores com precisão infinita (ideais).

O objetivo deste capítulo é apresentar métodos estatísticos de análise aplicáveis à determinação do comprimento de palavra das variáveis e coeficientes, de modo que os controladores implementados se aproximem dos controladores ideais dentro de limites considerados aceitáveis para fins práticos.

Os métodos apresentados são baseados em pesquisas de



envolvidas na área de Processamento de Sinais Digitais, relacionadas com a análise e implementação de filtros digitais (Oppenheim-Schafer (1975) Rabiner-Gold (1975), Crochiere-Oppenheim (1975), Crochiere (1975), Oppenheim-Weinstein (1972)). Particularmente, a determinação do comprimento de palavra dos coeficientes é uma extensão da técnica apresentada para filtros digitais por Crochiere (1975) .

Introduzem-se a seguir: definições de diagrama de fluxo de sinais e da representação matricial para sistemas digitais, a resposta de sistemas lineares a sinais estocásticos, a análise estatística na determinação do comprimento de palavra de variáveis, a análise do ruído na saída devido à conversão D/A, o teorema de Tellegen para malhas digitais, a interreciprocidade entre malhas e o teorema da transposição, pois os conceitos envolvidos são essenciais para o desenvolvimento deste trabalho. Continuando, chega-se a uma fórmula para a sensibilidade de malhas. A seguir, é apresentada uma análise estatística para a determinação do comprimento de palavra dos coeficientes. Finalmente, são feitas considerações sobre a implementação numérica dos métodos de análise incluindo métodos para determinação da resposta em frequência usando a representação matricial.

#### 4.2. Diagrama de Fluxo de Sinais e Representação Matricial para Sistemas Digitais

Uma das possíveis formas de representação de sistemas digitais é o diagrama de fluxo de sinais. Neste item é introduzida uma versão particularizada da apresentada por Crochière-Oppenheim (1975), por ser mais adequado aos propósitos deste trabalho.

Um diagrama de fluxo de sinais é uma malha com ramos direcionados que se conectam em nós. Associado a cada nó existe uma variável (ou valor) do nó. A variável associada ao nó  $k$  é denominada  $\omega_k$ . O ramo  $(Jk)$  é o ramo originado no nó  $J$  e terminado no nó  $k$ , com a direção de  $J$  a  $k$  sendo indicada pela seta existente no ramo (Fig. 4.1.a). Cada ramo tem associada uma variável de entrada e uma variável de saída. A variável de entrada associada com o ramo  $(Jk)$  é representada por  $\omega_J$  e a variável de saída por  $v_{Jk}$ . A dependência da variável de saída do ramo em relação à entrada correspondente é dada por

$$v_{Jk} = f_{Jk}(\omega_k) \quad , \quad (4.1)$$

ou seja,  $f_{Jk}(\cdot)$  é uma transformação que o ramo exerce sobre a variável de entrada dando como resultado o sinal de saída.

Os sinais externos ao sistema digital são representados no diagrama de fluxo de sinais por nós denominados nós fonte. O valor do nó fonte  $J$  é representado por  $x_J$ , e a variável de saída de um ramo com origem no nó fonte  $J$  e dirigida ao nó  $k$  é representado por  $s_{Jk}$  (Fig. 4.1.b). A saída de sinais do sistema digital ocorre através de nós denominados

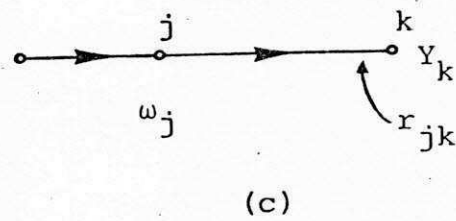
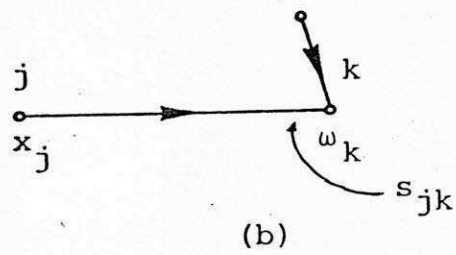
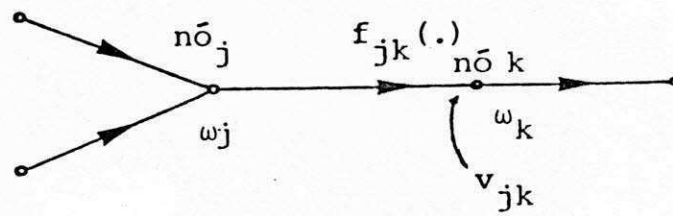


Figura 4.1 - Diagrama de fluxo de sinais.

nós sorvedouro . O valor do nó sorvedouro  $k$  é representado por  $y_k$  e a variável de saída do ramo conectando o nó  $J$  ao nó sorvedouro  $k$  é representada por  $r_{Jk}$  (Figura 4.1.c).

Por definição, o valor de cada nó da malha é dado pela soma das variáveis de saída de todos os ramos que chegam àquele nó. De maneira geral podemos escrever

$$w_k = \sum_{J=1}^N v_{Jk} + \sum_{J=1}^M s_{Jk} \quad k = 1, 2, \dots, N \quad (4.2)$$

$$y_k = \sum_{J=1}^N r_{Jk} \quad k = 1, 2, \dots, P \quad (4.3)$$

onde

$N$  é o número de nós da malha

$M$  é o número de nós fonte, e

$P$  é o número de nós sorvedouro.

Se o sistema digital é linear, então  $f_{Jk}(\cdot)$  a transformação associada ao ramo  $JK$  é caracterizada por uma função de transferência, denominada transmitância, de modo que

$$V_{Jk}(z) = F_{Jk}(z) W(z) \quad (4.4)$$

Em sistemas digitais lineares o diagrama de fluxo de sinais pode ser definido de modo que as funções de transferência dos ramos sejam os elementos básicos multiplicação por uma constante ou atrasos (Crochiere-Oppenheim (1975) e Oppen-

nheim-Schaffer (1975 p. 136-148)). Assim

$$F_{Jk}(z) = F_{cJk} + F_{dJk} z^{-1} \quad (4.5)$$

onde

$$F_{dJk} = 1 \text{ ou } F_{dJk} = 0$$

Assumindo que para cada nó da malha existe apenas um nó fonte correspondente e que a cada nó sorvedouro corresponde um nó da malha e, ainda mais, que as funções de transferência associadas aos ramos respectivos são ganhos unitários, então as equações (4.2) e (4.3) têm transformadas

$$W_k(z) = \sum_{J=1}^N (F_{cJk} + F_{dJk} z^{-1}) W_J(z) + X_k(z), \quad (4.6)$$

$k = 1, 2, \dots, N$  e,

$$Y_k(z) = W_k(z). \quad (4.7)$$

Substituindo a equação (4.7) na equação (4.6) tem-se

$$Y_k(z) = \sum_{J=1}^N (F_{cJk} + F_{dJk} z^{-1}) Y_J(z) + X_k(z) \quad (4.8)$$

para  $k = 1, 2, \dots, N$ .

O conjunto de  $N$  equações acima pode ser colocada na forma matricial,

$$\underline{Y}(z) = (F_c^t + F_d^t z^{-1}) \underline{Y}(z) + \underline{X}(z) \quad (4.9)$$

onde

$\underline{Y}(z)$  é o vetor coluna (Nx1) com elementos  $Y_k(z)$

$\underline{X}(z)$  é o vetor coluna (Nx1) com elementos  $X_k(z)$

$F_c^t$  é a matriz transposta (NxN) de

$$F_c = \{F_{ckJ}\}$$

$F_d^t$  é a matriz transposta (NxN) de

$$F_d = \{F_{dkJ}\} \text{ com } F_{dkJ} \in \{0,1\} .$$

#### 4.3. RESPOSTA DE SISTEMAS LINEARES A SINAIS ESTOCÁSTICOS

Seja  $h(n)$  a sequência resposta ao impulso unitário de um sistema digital linear invariante no tempo estável. (Este item segue o apresentado por Oppenheim-Schaffer (1975, p. 391-395)). Seja  $x(n)$  a sequência de entrada, real, a qual é uma amostra de um processo estocástico, discreto no tempo estacionário no sentido amplo. A resposta do sistema linear à sequência  $x(n)$  é dada por

$$y(n) = \sum_{k=-\infty}^{\infty} h(n-k) x(k) = \sum_{k=-\infty}^{\infty} h(k) x(n-k) \quad (4.10)$$

a qual é uma amostra de um processo estocástico (de saída).

Se  $m_x$  é a média de  $x(n)$ , então.

$$m_x = E \{x(n)\} = \int_{-\infty}^{\infty} x P_{x_n}(x,n) dx \quad (4.11)$$

e conseqüentemente

$$m_y = E \{y(n)\} = \sum_{k=-\infty}^{\infty} h(k) E \{x(n-k)\}$$



$$= m_x \sum_{k=-\infty}^{\infty} h(k) \quad (4.12)$$

Se o sistema é estável e o processo de entrada é estacionário, a média do sinal de saída é constante.

Sendo  $\phi_{xx}(n,m)$  a sequência autocorrelação, definida por

$$\begin{aligned} \phi_{xx}(n,m) &= E \{x_n x_m^*\} \\ &= \int_{-\infty}^{\infty} \int_{-\infty}^{\infty} x_n x_m^* P_{x_n, x_m}(x_n, n, x_m, m) d_{x_n} d_{x_m} \end{aligned} \quad (4.13)$$

(Nota: \* denota complexo conjugado) ,

então

$$\phi_{yy}(n, n+m) = E \{y(n) y(n+m)\} \quad (4.14)$$

$$= E \left\{ \sum_{k=-\infty}^{\infty} \sum_{r=-\infty}^{\infty} h(k) h(r) x(n-k) x(n+m-r) \right\} \quad (4.15)$$

$$= \sum_{k=-\infty}^{\infty} h(k) \sum_{r=-\infty}^{\infty} h(r) E\{x(n-k) x(n+m-r)\} \quad (4.16)$$

Assumindo que  $x(n)$  é estacionário, o termo

$$E \{x(n-k) x(n+m-r)\}$$

depende somente da diferença  $m+k-r$ . Então

$$\phi_{yy}(n, n+m) = \phi_{yy}(m) = \sum_{k=-\infty}^{\infty} h(k) \sum_{r=-\infty}^{\infty} h(r) \phi_{xx}(m+k-r) \quad (4.17)$$

Conclui-se da equação acima que, como a autocorrelação da saída depende somente da diferença no tempo  $m$ , então um sistema digital linear invariante no tempo e estável, excitado por um sinal estacionário, tem uma saída também estacionária.

Substituindo  $l = r - k$  tem-se

$$\phi_{YY}(m) = \sum_{l=-\infty}^{\infty} \phi_{XX}(m-l) \sum_{k=-\infty}^{\infty} h(k)h(l+k) \quad (4.18)$$

Se a média  $m_x = 0$ , então a transformada  $z$  da equação acima existe e é dada por

$$\phi_{YY}(z) = H(z) H(z^{-1}) \phi_{XX}(z) \quad (4.19)$$

Em termos do espectro de densidade de potência,

$$P_{YY}(\omega) = |H(e^{j\omega})|^2 P_{XX}(\omega) \quad (4.20)$$

para  $0 \leq \omega < 2\pi$ .

Se o sinal de entrada é um ruído branco, então

$$\phi_{XX}(m) = \sigma_x^2 \delta(m) \quad (4.21)$$

onde  $\sigma_x^2$  é a variância de  $x(n)$  e

$$P_{XX}(\omega) = \sigma_x^2 \quad (4.22)$$

para  $0 \leq \omega < 2\pi$ . Assim, da equação (4.20)

$$P_{YY}(\omega) = \sigma_x^2 |H(e^{j\omega})|^2 \quad (4.23)$$

A variância de  $y(n)$  é dada por

$$\sigma_Y^2 = \frac{1}{2\pi} \int_0^{2\pi} P_{YY}(\omega) d\omega \quad (4.24)$$

ou

$$\sigma_Y^2 = \frac{\sigma_X^2}{2\pi} \int_0^{2\pi} |H(e^{j\omega})|^2 d\omega \quad (4.25)$$

#### 4.4. Determinação do Comprimento de Palavra de Variáveis

O objetivo da análise do erro introduzido pela quantização de variáveis é o da escolha do comprimento dos registradores, onde estas variáveis serão armazenadas, de maneira a ter-se uma degradação aceitável no comportamento do sistema. A análise apresentada neste item basicamente segue aquela apresentada em Oppenheim-Schaffer (1975 p. 423-432) e Rabiner-Gold (1975, p. 309-315)) para filtros digitais.

Como o comprimento dos registradores só pode ser mudado em passos de um bit, uma análise precisa dos erros de arredondamento não é usualmente necessária em aplicações práticas. Como será visto na equação (4.48), a adição de um bit reduz a amplitude dos erros de quantização por um fator de um meio. Este fato possibilita o uso de modelos estatísticos na análise dos erros de quantização. No caso deste trabalho, a análise será limitada ao efeito de arredondamento, assumindo-se a representação de números em complemento de dois, pon

to fixo.

Na formulação do modelo de análise considere inicialmente um sistema de primeira ordem mostrado na fig. 4.2.a, assumindo uma implementação com precisão infinita. Na figura 4.2.b é mostrado o mesmo sistema, assumindo uma implementação com precisão finita, com a variação na saída devido ao arredondamento dado por  $f(n).Q(.)$  denota a operação de arredondamento. Observe que, no caso de ponto fixo, só existe necessidade de arredondamento após a multiplicação por uma constante, já que na adição só pode ocorrer "overflow". Na figura 4.2.c a operação de arredondamento é substituída por uma fonte de ruído aditiva  $e(n)$  onde

$$e(n) = Q[\alpha\omega(n-1)] - \alpha\omega(n-1) \quad (4.26)$$

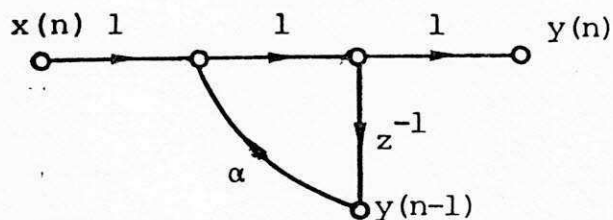
Assumindo que:

- 1) A sequência de erro  $e(n)$  é um ruído branco,
- 2) A sequência de erro tem uma distribuição uniforme sobre o intervalo de quantização, e
- 3) A sequência de erro é não correlata com a entrada  $x(n)$  e a variável  $\alpha\omega(n-1)$ , então, supondo o comprimento do registrador ser de  $b$  bits, tem-se que se o bit menos significativo tem valor  $2^{-b}$ , então o erro estará na faixa.

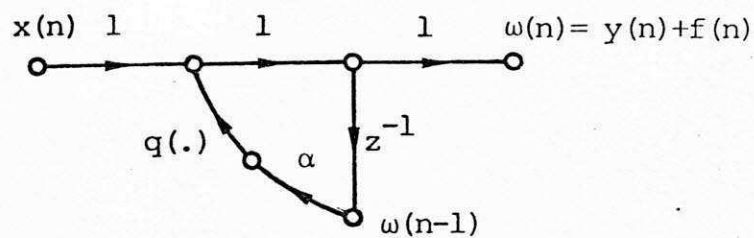
$$-\frac{1}{2} 2^{-b} < e(n) < \frac{1}{2} 2^{-b} \quad (4.27)$$

UNIVERSIDADE FEDERAL DA PARAÍBA  
 Pró-Reitoria Para Assuntos do Interior  
 Coordenação Setorial de Pós-Graduação  
 Rua Aprígio Veloso, 882 - Tel. (083) 321-7222-R 355  
 58.100 - Campina Grande - Paraíba

(a)



(b)



(c)

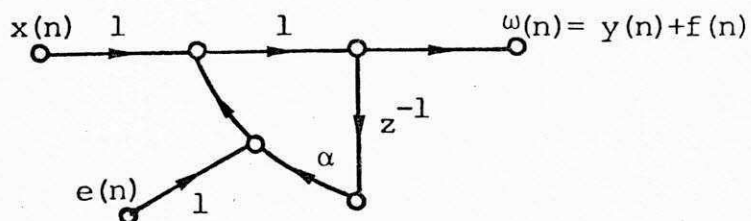


Figura 4.2 - Modelagem estatística do arredondamento.

Como a distribuição é uniforme,

$$m_e = 0$$

$$\sigma_e^2 = \frac{1}{12} \cdot 2^{-2b} \quad (4.28)$$

Sendo  $y(n)$  a saída para a implementação com precisão infinita, a saída real pode ser representada por

$$w(n) = y(n) + f(n) \quad e, \quad (4.29)$$

de acordo com as equações (4.12) e (4.25)

$$m_f = m_e \sum_{n=-\infty}^{\infty} h_e(n) = 0 \quad (4.30)$$

$$\sigma_f^2 = \sigma_e^2 \sum_{h=-\infty}^{\infty} h_e^2(n) = \frac{\sigma_e^2}{2\pi} \int_0^{2\pi} |H_e(e^{j\omega})|^2 d\omega \quad (4.31)$$

onde  $H_e(z)$  é a função de transferência entre o nó onde a fonte de erro é introduzida, e o nó de saída da malha.

De uma maneira geral tem-se que os sistemas digitais lineares podem ser representados a partir de três elementos básicos: somadores, multiplicação por constantes e atrasos, como exemplificado pela figura 4.3.a, para um sistema de segunda ordem. Dois tipos de nós podem ser identificados: nós de soma, que correspondem a pontos de soma das variáveis de ramos e que têm uma ou mais entradas e apenas uma saída; e, nós de ramos, que correspondem a pontos de intercorreção, com uma entrada e uma ou mais saídas.

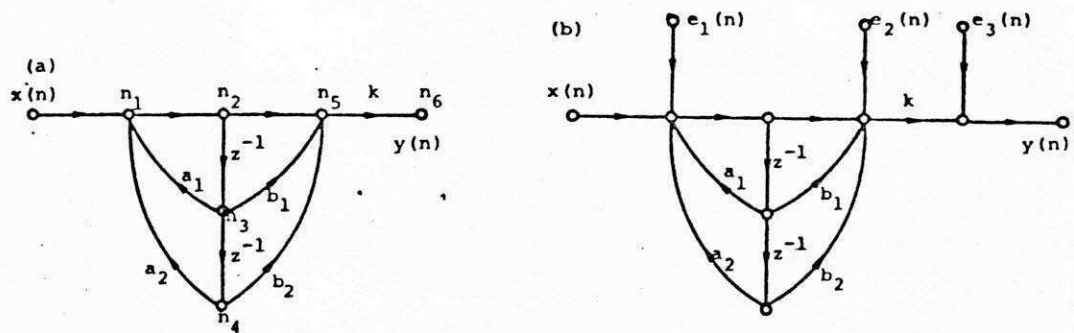


Figura 4.3 - Introdução de fontes de erro.

Conforme dito anteriormente, os erros de quantização introduzidos no sistema, para o caso de implementação em ponto fixo, aparecem apenas nos nós de soma que se seguem a multiplicadores por constantes não inteiras, como exemplificado na fig. 4.3.b.

Assumindo existirem  $k_i$  entradas de fontes de erro no nó de soma  $i$ , tem-se que

$$m_{e_i} = 0$$

e,

$$\sigma_{e_i}^2 = k_i \sigma_e^2 = k_i \frac{2^{-2b}}{12} \quad (4.32)$$

O ruído de arredondamento total que aparece na saída tem um espectro de densidade de potência (Jackson (1970, p. 166))

$$N_f(\omega) = \sum_i P_{ff_i}(\omega) = \sigma_e^2 \sum_i k_i |H_i(e^{j\omega})|^2 \quad (4.33)$$

onde

$P_{ff_i}(\omega)$  é o espectro de densidade de potência na saída correspondente ao erro introduzido no nó  $i$ ,

$\sigma_e^2 = \frac{1}{12} 2^{-2b}$  é a variância do sinal de erro devido ao arredondamento para  $b$  bits,

$k_i$  é o número de fontes de erro entrando no nó  $i$ , e

$H_i(e^{j\omega})$  é a função de transferência do nó  $i$  à saída,

UNIVERSIDADE FEDERAL DA PARAÍBA  
Pró-Reitoria Para Assuntos do Interior  
Coordenação Setorial de Pós-Graduação  
Rua Aprígio Veloso, 882 - Tel. (083) 321-7222-R 355  
58.100 - Campina Grande - Paraíba



avaliada em  $z = e^{j\omega}$  com  $0 \leq \omega \leq 2\pi$ .

Das equações (4.31) e (4.33) tem-se

$$\sigma_f^2 = \frac{\sigma_e^2}{2\pi} \int_0^{2\pi} \sum_i k_i |H_i(e^{j\omega})|^2 d\omega. \quad (4.34)$$

Se  $\sum_i k_i$  é grande o suficiente para podermos considerar  $f(n)$  um processo com distribuição gaussiana, então pode-se escolher um valor  $x \sigma_f$  onde  $x$  é um fator de multiplicação do desvio padrão, tal que

$$P \{ |f(n)| \leq x \sigma_f \} = p \quad (4.35)$$

Se  $k_v$  é o limite superior aceitável para  $|f(n)|$  com probabilidade  $p$ , ou seja,

$$k_v = x \sigma_f, \quad (4.36)$$

então o número de bits necessário será calculado a partir da substituição da equação (4.34) na equação acima,

$$k_v = x \cdot \frac{\sigma_e}{\sqrt{2\pi}} \left[ \int_0^{2\pi} \sum_i k_i |H_i(e^{j\omega})|^2 d\omega \right]^{1/2} \quad (4.37)$$

isto é,

$$\sigma_e = \frac{2^{-b}}{\sqrt{12}} = \frac{k_v \sqrt{2\pi}}{x \cdot \left[ \int_0^{2\pi} \sum_i k_i |H_i(e^{j\omega})|^2 d\omega \right]^{1/2}} \quad (4.38)$$

ou, finalmente,

$$b = \log_2 \frac{x \cdot \left[ \int_0^{2\pi} \sum_i k_i |H_i(e^{j\omega})|^2 d\omega \right]^{1/2}}{k_v \cdot \sqrt{24\pi}} \quad (4.39)$$

onde não foi incluído o bit de sinal.

#### 4.5. Ruído Devido à Conversão D/A

A técnica do item anterior, apresentada para a determinação do comprimento de palavra de variáveis, pode ser usada na análise do efeito de quantização devido à conversão D/A.

Caso seja desejado determinar o comprimento de palavra para o conversor D/A, utiliza-se a equação (4.39), entre o conversor D/A e a saída do sistema. No caso de desejar-se calcular o ruído que aparece na saída devido à escolha a priori de um dado conversor D/A, utiliza-se a equação (4.34).

#### 4.6. Teorema de Tellegen, Interreciprocidade e Teorema da Transposição para Malhas Digitais

Na determinação da sensibilidade de uma malha à variação de um coeficiente, um conjunto de teoremas básicos é utilizado. Este item trata destes teoremas, e segue o apresentado em Crochiere-Oppenheim (1975) e Oppenheim-Schaffer (1975 p.171-181).

Sejam duas malhas digitais quaisquer com a mesma topologia, com  $N$  nós, com as variáveis de nó dadas por  $\omega_k$  e  $\omega'_k$ . Da equação (4.2) tem-se que

UNIVERSIDADE FEDERAL DA PARAÍBA  
 Pró-Reitoria Para Assuntos do Interior  
 Coordenação Setorial de Pós-Graduação  
 Rua Aprigio Veloso, 882 - Tel. (083) 321-7222-R 355  
 58.100 - Campina Grande - Paraíba

$$\omega_k = \sum_{J=1}^N v_{Jk} + x_k \quad (4.40)$$

e

$$\omega'_k = \sum_{J=1}^N v'_{Jk} + x'_k \quad (4.41)$$

Escrevendo a identidade

$$\sum_{k=1}^N (\omega_k \omega'_k - \omega'_k \omega_k) = 0 \quad (4.42)$$

tem-se

$$\sum_{k=1}^N \left[ \left( \sum_{J=1}^N v_{Jk} + x_k \right) \omega'_k - \left( \sum_{J=1}^N v'_{Jk} + x'_k \right) \omega_k \right] = 0 \quad (4.43)$$

ou

$$\sum_{k=1}^N \sum_{J=1}^N (v_{Jk} \omega'_k - v'_{Jk} \omega_k) + \sum_{k=1}^N (\omega'_k x_k - \omega_k x'_k) = 0 \quad (4.44)$$

A equação acima é conhecida como o teorema de Tellegen para Sistemas Digitais.

Se o sistema é linear, pode-se escrever a equação (4.54) em termo das transformadas z. Então

$$\sum_{k=1}^N \sum_{J=1}^N (w'_k v_{Jk} - w_k v'_{Jk}) + \sum_{k=1}^N (w'_k x_k - w_k x'_k) = 0 \quad (4.45)$$

Por definição, duas malhas digitais são ditas inter-recíprocas se satisfazem a relação

$$\sum_{k=1}^N (W'_k X_k - W_k X'_k) = 0 \quad (4.46)$$

Considere uma malha de um sistema digital linear e sua transposta, isto é, uma malha onde a direção de todos os ramos é invertida. Tem-se então que se

$$V_{Jk} = F_{Jk} W_J \quad (4.47)$$

e

$$V'_{Jk} = F'_{Jk} W'_J \quad (4.48)$$

então

$$F'_{Jk} = F_{kJ} \quad (4.49)$$

Substituindo as três equações acima na equação (4.45)

tem-se

$$\sum_{J=1}^N \sum_{k=1}^N (W'_k W_J F_{Jk} - W_k W'_J F'_{Jk}) + \sum_{k=1}^N (W'_k X_k - W_k X'_k) = 0 \quad (4.50)$$

ou

$$\sum_{J=1}^N \sum_{k=1}^N W'_k W_J F_{Jk} - \sum_{J=1}^N \sum_{k=1}^N W_k W'_J F'_{Jk} +$$

$$\sum_{k=1}^N (W'_k X_k - W_k X'_k) = 0 \quad (4.51)$$

Trocando-se J por k no primeiro termo da equação obtém-se

$$\sum_{J=1}^N \sum_{k=1}^N (w_k w'_J F_{kJ} - w_k w'_J F'_{jK}) + \sum_{k=1}^N (w'_k x_k - w_k x'_k) = 0 \quad (4.52)$$

De acordo com a equação (4.49) a soma dupla é nula, de modo que

$$\sum_{k=1}^N (w'_k x_k - w_k x'_k) = 0 \quad (4.53)$$

O resultado acima indica que as malhas de um sistema digital e seu transposto são interrecíprocas. Para sistemas com uma entrada e uma saída isto significa que um sistema digital e seu transposto têm a mesma função de transferência. Isto é conhecido como o teorema da transposição. Este fato pode ser visto considerando-se dois nós quaisquer a e b. Assumindo todas as fontes na malha nulas, exceto em a para o sistema e em b para o seu transposto, tem-se da equação (4.53)

$$w_b x'_b = w'_a x_a \quad (4.54)$$

Se  $x'_b = x_a$ , então a mesma resposta que se obtém no nó b da malha original é vista no nó a da malha transposta.

#### 4.7 - Sensibilidade em Malhas Digitais

A análise do efeito de quantização de coeficientes no comportamento de sistemas digitais baseia-se no estudo da sensibilidade de malhas a variações nos coeficientes. (Este item baseia-se no apresentado por Crochiere-Oppenheim, (1975) e Oppenheim-Schaffer (1975 p. 173-181)). Assim, assume-se que o sistema correspondente a uma dada malha tenha apenas uma entrada no nó a e saída no nó b. Então, a variável no nó b,  $W_b(z)$  será dada por

$$Y_b(z) = W_b(z) = T_{ab}(z) X_a(z) = H(z) X(z) \quad (4.55)$$

onde  $T_{ab}(z)$  é a função de transferência do nó a ao nó b.

Suponha que existam três malhas conforme definição a seguir. A primeira é a malha original com variáveis de nó  $W_k$  (Fig. 4.4.a) e transmitância entre os nós n e m  $F_{nm}$ . A segunda é a transposta da malha original, com variáveis de nó  $W'_k$  e transmitância  $F'_{mn} = F_{nm}$  (Fig. 4.4.b). A terceira é idêntica à malha original, apenas diferindo na transmitância entre os nós n e m,  $F''_{nm}$  igual à do sistema original, mais uma perturbação  $\Delta F_{nm}$ , ou seja

$$F''_{nm} = F_{nm} + \Delta F_{nm} .$$

Assuma também que todas malhas são excitadas pela mesma fonte X.

Pelo teorema de Tellegen para a segunda e terceira malhas.

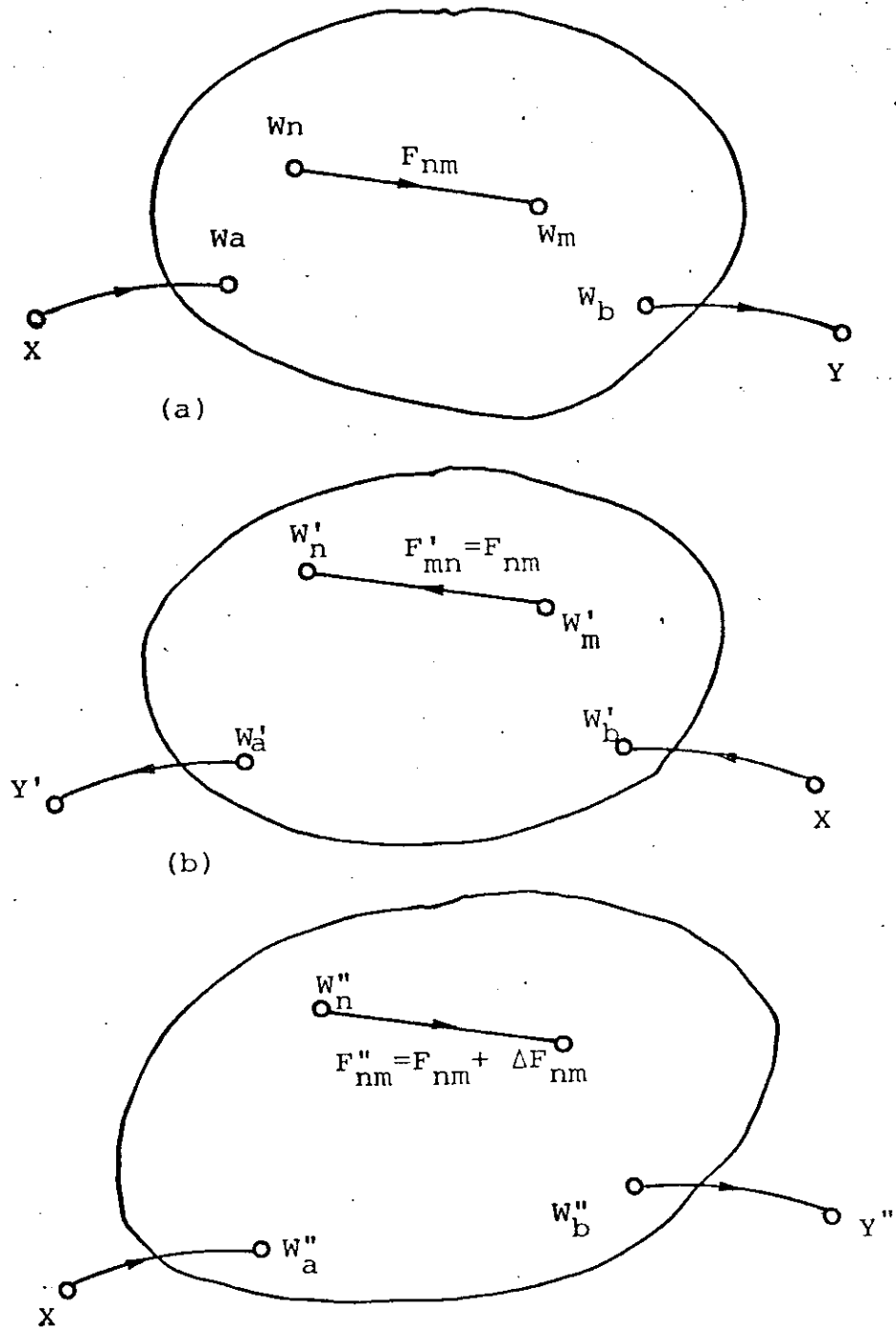


Figura 4.4 - Malhas usadas na obtenção da relação da sensibilidade.

$$\sum_{k=1}^N \sum_{J=1}^N (w'_k v''_{Jk} - w''_k v'_{Jk}) + \sum_{k=1}^N (w'_k x''_k - w''_k x'_k) = 0 \quad (4.56)$$

ou

$$\sum_{k=1}^N \sum_{J=1}^N (w'_k v''_{Jk}) - \sum_{k=1}^N \sum_{J=1}^N w''_k v'_{Jk} + \sum_{k=1}^N (w'_k x''_k - w''_k x'_k) = 0 \quad (4.57)$$

Trocando-se os índices do seguinte termo, chega-se a

$$\sum_{k=1}^N \sum_{J=1}^N (w'_k v''_{Jk} - w''_J v'_{kJ}) + \sum_{k=1}^N (w'_k x''_k - w''_k x'_k) = 0 \quad (4.58)$$

Como

$$v''_{Jk} = F''_{Jk} w''_J \quad (4.59)$$

e

$$v'_{JK} = F'_{JK} w'_J \quad (4.60)$$

a equação (4.58) torna

$$\sum_{k=1}^N \sum_{J=1}^N w''_J w'_k (F''_{Jk} - F'_{kJ}) + \sum_{k=1}^N (w'_k x''_k - w''_k x'_k) = 0 \quad (4.61)$$

A segunda e terceira malhas são transpostas, exceto para o ramo nm. Assim,

$$F''_{Jk} - F'_{kJ} = 0 \quad \forall k, J, \quad J \neq n \\ k \neq m$$

e



$$F''_{nm} - F'_{mn} = \Delta F_{nm} \quad (4.62)$$

E, apenas uma fonte entra na malha, reduzindo a equação (4.61) a

$$W''_n W'_m \Delta F_{nm} + X(W'_a - W''_b) = 0 \quad (4.63)$$

Escrevendo a variável de nó  $W_k^i$  em termo da fonte de entrada  $X$  e da função de transferência correspondente, tem-se

$$\begin{aligned} W'_a &= T'_{ba} X = T_{ab} X \\ W'_n &= T'_{bm} X = T_{mb} X \\ W_n &= T''_{an} X \\ W''_b &= T''_{ab} X = [T_{ab} + \Delta T_{ab}] X \end{aligned} \quad (4.64)$$

onde  $\Delta T_{ab}$  denota a variação na função de transferência do sistema devido à variação  $\Delta F_{nm}$  na transmitância  $F_{nm}$ .

Substituindo-se as equações acima na equação (4.63) obtém-se

$$\left[ T''_{an} T_{mb} \Delta F_{nm} + T_{ab} - T_{ab} - \Delta T_{ab} \right] X^2 = 0 \quad (4.65)$$

e, como a equação acima é válida para qualquer fonte  $X$ , então

$$T''_{an} T_{mb} \Delta F_{nm} = \Delta T_{ab} \quad (4.66)$$

ou

$$\frac{\Delta T_{ab}}{\Delta F_{nm}} = T''_{an} T_{mb} \quad (4.67)$$

Tomando-se o limite quando  $\Delta F_{nm} \rightarrow 0$ , tem-se

$$\lim_{\Delta F_{nm} \rightarrow 0} \left[ \frac{\Delta T_{ab}}{\Delta F_{nm}} \right] = \lim_{\Delta F_{nm} \rightarrow 0} \left[ T_{an}'' \quad T_{mb} \right] \quad (4.68)$$

Quando  $\Delta F_{nm} \rightarrow 0$ , a terceira malha se aproxima da primeira, de maneira que

$$\frac{\partial T_{ab}}{\partial F_{nm}} = T_{an} \quad T_{mb} \quad (4.69)$$

A expressão acima estabelece que a sensibilidade da função de transferência de um sistema digital devido a variação na transmitância de um ramo entre dois nós  $n$  e  $m$  é expressa como o produto da função de transferência entre o nó  $a$  (de entrada) e o nó  $n$ , pela função de transferência entre o nó  $m$  e o nó de saída  $b$ .

A variação  $\Delta T_{ab}$  na função de transferência do sistema  $T_{ab}$  devido a variações  $\Delta F_{nm}$  na transmitância  $F_{nm}$ , expressa como uma expansão em série de Taylor é dada por

$$\Delta T_{ab} = \frac{\partial T_{ab}}{\partial F_{nm}} \Delta F_{nm} + \frac{1}{2} \frac{\partial^2 T_{ab}}{\partial F_{nm}^2} (\Delta F_{nm})^2 + \dots \quad (4.70)$$

Finalmente, se  $\Delta F_{nm}$  são os coeficientes  $c_i$ 's do sistema digital

$$\Delta T_{ab_i} = \Delta H(z)_i = \frac{\partial H(z)}{\partial c_i} \Delta c_i + \frac{1}{2} \frac{\partial^2 H(z)}{\partial c_i^2} (\Delta c_i)^2 + \dots \quad (4.71)$$

#### 4.8 - Determinação do Comprimento de Palavra de Coeficientes

Neste item é proposta uma técnica estatística de de terminação do comprimento de palavra de coeficientes de con troladores digitais. Esta técnica utiliza como parâmetro de determinação do comprimento de palavra a variação no si nal de saída devido ao arredondamento. Esta técnica é uma extensão da técnica usada em filtragem digital e apresenta da por Crochiere (1975) e Crochiere-Oppenheim (1975), onde o parâmetro de determinação do comprimento de palavra é a va riação na magnitude da resposta em frequência.

Na equação (4.71) chegou-se a uma expressão para a variação na função de transferência de um sistema, devido à variação de um coeficiente qualquer. Numa aproximação de primeira ordem, tem-se que para  $m$  coeficientes arredondados,

$$\Delta H(\omega) = \sum_{i=1}^m \frac{\partial H(\omega)}{\partial c_i} \Delta c_i \quad (4.72)$$

onde a variação da função de transferência é avaliada para  $z$  ao longo do círculo unitário, sendo

$c_i$  o  $i$ -ésimo coeficiente arredondado

$\Delta c_i$  a variação de  $c_i$  devido ao arredondamento,

e

$\frac{\partial H(\omega)}{\partial c_i}$  a sensibilidade de  $H(\omega)$  em relação a  $c_i$ .

A função de transferência do sistema real,  $H(\omega)$ , po-

de ser interpretada como a função de transferência ideal ,  $H_0(\omega)$ , (caso fosse implementada com precisão infinita), adicionada do termo representando a variação desta função de transferência (devido ao arredondamento de coeficientes) ,  $\Delta H(\omega)$ . Ou seja,

$$H(\omega) = \Delta H(\omega) + H_0(\omega) \quad (4.73)$$

Aplicando ao sistema descrito pela equação acima um sinal  $x(n)$ , com transformada de Fourier para sinais discretos  $X(\omega)$ , então a saída,  $y(n)$ , terá a transformada

$$Y(\omega) = \left[ \Delta H(\omega) + H_0(\omega) \right] X(\omega) \quad (4.74)$$

a qual pode ser reescrita como:

$$Y(\omega) = \Delta Y(\omega) + Y_0(\omega) \quad (4.75)$$

Da equação (4.82) tem-se que

$$\Delta Y(\omega) = \left[ \sum_{i=1}^m \frac{\partial H(\omega)}{\partial c_i} \Delta c_i \right] \cdot X(\omega) \quad (4.76)$$

Assumindo que  $\Delta c_i$  seja uma variável aleatória , uniformemente distribuída no intervalo de quantização  $(-q/2, q/2]$ , onde  $q$  é o degrau de quantização, tem-se que (Oppenheim Schaffer (1975, p. 416)),

$$E [\Delta c_i] = 0 \quad (4.77)$$

$$\sigma_{\Delta c_i}^2 = \frac{q^2}{12} \quad (4.78)$$

Da equação (4.76)

$$\Delta Y(\omega) = X(\omega) \frac{\partial H(\omega)}{\partial c_1} \Delta c_1 + X(\omega) \frac{\partial H(\omega)}{\partial c_2} \Delta c_2 + \dots + X(\omega) \frac{\partial H(\omega)}{\partial c_m} \Delta c_m \quad (4.79)$$

Assim,

$$E [Y(\omega)] = 0$$

e

$$\sigma^2 \Delta Y(\omega) = \sigma^2 X(\omega) \frac{\partial H(\omega)}{\partial c_1} \Delta c_1 + X(\omega) \frac{\partial H(\omega)}{\partial c_2} \Delta c_2 + \dots + X(\omega) \frac{\partial H(\omega)}{\partial c_m} \Delta c_m \quad (4.80)$$

$$= E \left\{ \left[ X(\omega) \frac{\partial H(\omega)}{\partial c_1} \Delta c_1 + X(\omega) \frac{\partial H(\omega)}{\partial c_2} \Delta c_2 + \dots + X(\omega) \frac{\partial H(\omega)}{\partial c_m} \Delta c_m \right] \right\}$$

$$\left[ X(\omega) \frac{\partial H(\omega)}{\partial c_1} \Delta c_1 + \dots + X(\omega) \frac{\partial H(\omega)}{\partial c_m} \Delta c_m \right]^* \quad (4.81)$$

Como para quaisquer números complexos a e b

$$(ab)^* = a^*b^* \text{ e } (a + b)^* = a^* + b^* \quad (4.82)$$

obtêm-se

$$\sigma_{\Delta Y(\omega)}^2 = E \left\{ \left[ X(\omega) \frac{\partial H(\omega)}{\partial c_1} \Delta c_1 + \dots + X(\omega) \frac{\partial H(\omega)}{\partial c_m} \Delta c_m \right] \right. \\ \left. \left[ X^*(\omega) \left( \frac{\partial H(\omega)}{\partial c_1} \right)^* \Delta c_1 + \dots + X^*(\omega) \left( \frac{\partial H(\omega)}{\partial c_m} \right)^* \Delta c_m \right] \right\} \quad (4.83)$$

ou

$$\sigma_{\Delta Y(\omega)}^2 = E \left\{ X(\omega) X^*(\omega) \left[ \frac{\partial H(\omega)}{\partial c_1} \Delta c_1 \left( \left( \frac{\partial H(\omega)}{\partial c_1} \right)^* \Delta c_1 + \dots \right. \right. \right. \\ \left. \left. \left. + \left( \frac{\partial H(\omega)}{\partial c_m} \right)^* \Delta c_m \right) + \dots + \frac{\partial H(\omega)}{\partial c_m} \Delta c_m \left( \left( \frac{\partial H(\omega)}{\partial c_1} \right)^* \Delta c_1 + \dots \right. \right. \right. \\ \left. \left. \left. + \left( \frac{\partial H(\omega)}{\partial c_m} \right)^* \Delta c_m \right) \right] \right\} \quad (4.84)$$

ou,

$$\sigma_{\Delta Y(\omega)}^2 = |X(\omega)|^2 \left[ E \left\{ \frac{\partial H(\omega)}{\partial c_1} \left( \frac{\partial H(\omega)}{\partial c_1} \right)^* \Delta c_1^2 + \dots \right. \right. \\ \left. \left. + \frac{\partial H(\omega)}{\partial c_1} \left( \frac{\partial H(\omega)}{\partial c_m} \right)^* \Delta c_1 \Delta c_m + \dots \right. \right. \\ \left. \left. + \frac{\partial H(\omega)}{\partial c_m} \left( \frac{\partial H(\omega)}{\partial c_1} \right)^* \Delta c_m \Delta c_1 + \dots \right. \right. \\ \left. \left. + \frac{\partial H(\omega)}{\partial c_m} \left( \frac{\partial H(\omega)}{\partial c_m} \right)^* \Delta c_m^2 \right\} \right] \quad (4.85)$$

ou,

$$\sigma_{\Delta Y(\omega)}^2 = |X(\omega)|^2 \left[ E \left\{ \frac{\partial H(\omega)}{\partial c_1} \left( \frac{\partial H(\omega)}{\partial c_1} \right)^* \Delta c_1^2 \right\} + \dots \right]$$

$$\begin{aligned}
& + E \left\{ \frac{\partial H(\omega)}{\partial c_1} \left( \frac{\partial H(\omega)}{\partial c_m} \right)^* \Delta c_1 \Delta c_m + \dots \right. \\
& \left. + E \left\{ \frac{\partial H(\omega)}{\partial c_m} \left( \frac{\partial H(\omega)}{\partial c_1} \right)^* \Delta c_1 \Delta c_m + \dots + E \left\{ \frac{\partial H(\omega)}{\partial c_1} \left( \frac{\partial H(\omega)}{\partial c_m} \right)^* \Delta c_m^2 \right\} \right\}
\end{aligned}
\tag{4.86}$$

Ainda mais, tem-se que

$$E \left\{ \frac{\partial H(\omega)}{\partial c_i} \left( \frac{\partial H(\omega)}{\partial c_j} \right)^* \Delta c_i \Delta c_j \right\} = \frac{\partial H(\omega)}{\partial c_i} \left( \frac{\partial H(\omega)}{\partial c_j} \right)^* E \{ \Delta c_i \Delta c_j \}
\tag{4.87}$$

Assumindo as variáveis aleatórias  $\Delta c_k$  independentes, então

$$E \{ \Delta c_i \Delta c_j \} = \begin{cases} 0 & i \neq j & i, j = 1, \dots, m \\ \sigma_{\Delta c_i}^2 & i = j & i = 1, \dots, m \end{cases}
\tag{4.88}$$

Da equação acima e das equações (4.86) e (4.87) chega-se a

$$\sigma_{\Delta Y(\omega)}^2 = |X(\omega)|^2 \left[ \left| \frac{\partial H(\omega)}{\partial c_1} \right|^2 \sigma_{\Delta c_1}^2 + \dots + \left| \frac{\partial H(\omega)}{\partial c_m} \right|^2 \sigma_{\Delta c_m}^2 \right]
\tag{4.89}$$

ou, em forma compacta, usando a equação (4.78),

$$\sigma_{\Delta Y(\omega)}^2 = |X(\omega)|^2 \left[ \sum_{i=1}^m \left| \frac{\partial H(\omega)}{\partial c_i} \right|^2 \right] \frac{q^2}{12}
\tag{4.90}$$

Assumindo  $m$  grande o suficiente para poder-se considerar  $\Delta Y(\omega)$  com distribuição gaussiana, então pode-se escolher um valor  $x \sigma_{\Delta Y(\omega)}$ , onde  $x$  é um fator de multiplicação do desvio padrão, tal que,

$$P \{ |\Delta Y(\omega)| \leq x \sigma_{\Delta Y(\omega)} \} = g, \quad (4.91)$$

ou seja, garante-se com probabilidade  $g$  que

$$|\Delta Y(\omega)| \leq x \sigma_{\Delta Y(\omega)} \quad (4.92)$$

Na determinação do degrau de quantização (e consequentemente do comprimento de palavra) dos coeficientes, deseja-se, com uma certa probabilidade  $p$ , que a magnitude  $|\Delta Y(\omega)|$  não exceda uma percentagem da magnitude  $|Y_0(\omega)|$ , ou

$$P \{ |\Delta Y(\omega)| \leq k \cdot |Y_0(\omega)| \} = p \quad (4.93)$$

onde  $0 < k < 1$ .

Para ter-se uma estimativa para  $p$ , considere que

$$x \sigma_{\Delta Y(\omega)} \leq k |Y_0(\omega)| \quad (4.94)$$

para todo  $\omega$  tal que  $0 \leq \omega < \omega_s$ .

Sendo  $x > 0$ , tem-se que

$$P \{ |\Delta Y(\omega)| \leq x \sigma_{\Delta Y(\omega)} \} = P \{ -x \sigma_{\Delta Y(\omega)} \leq \Delta Y(\omega) < x \sigma_{\Delta Y(\omega)} \} \quad (4.95)$$

ou

$$P \{ |\Delta Y(\omega)| \leq x \sigma_{\Delta Y(\omega)} \} = F_{\Delta Y(\omega)}(x \sigma_{\Delta Y(\omega)}) - F_{\Delta Y(\omega)}(-x \sigma_{\Delta Y(\omega)}) \quad (4.96)$$



onde  $F_{\Delta Y(\omega)}(\cdot)$  é a função distribuição de probabilidade de  $\Delta Y(\omega)$ , assumida gaussiana com média zero.

Então, como a função densidade de probabilidade  $f_{\Delta Y(\omega)}$  é par, tem-se (Papoulis (1962 p. 131)).

$$F_{\Delta Y(\omega)}(-x \sigma_{\Delta Y(\omega)}) = 1 - F_{\Delta Y(\omega)}(x \sigma_{\Delta Y(\omega)}) \quad (4.97)$$

Assim a equação (4.105) torna-se

$$q = P\{|\Delta Y(\omega)| \leq x \sigma_{\Delta Y(\omega)}\} = 2 F_{\Delta Y(\omega)}(x \sigma_{\Delta Y(\omega)}) - 1 \quad (4.98)$$

Das equações (4.94), (4.98) e do fato que

$$F_x(x_1) \leq F_x(x_2) \quad \forall x_1 < x_2 \quad (4.99)$$

tem-se que

$$p \geq q.$$

Isto significa que se a equação (4.94) é válida para todo  $0 \leq \omega \leq \omega_s$ , então garantindo, com probabilidade  $g$ , que

$$|\Delta Y(\omega)| \leq k |Y_0(\omega)| \quad (4.100)$$

com definido pela equação (4.91).

Das equações (4.92), (4.93), (4.74) e (4.75)

$$x \cdot |X(\omega)| \left[ \sum_{i=1}^m \left| \frac{\partial H(\omega)}{\partial c_i} \right|^2 \right]^{1/2} \frac{q}{\sqrt{12}} \leq k |X(\omega)| |H_0(\omega)| \quad (4.101)$$

ou seja

$$x. \frac{q}{\sqrt{12}} \left[ \sum_{i=1}^m \left| \frac{\partial H(\omega)}{\partial c_i} \right|^2 \right]^{1/2} \leq k |H_0(\omega)| \quad (4.102)$$

Para a determinação de um  $q$  que satisfaça a inequação acima para todo  $\omega$  em  $0 \leq \omega \leq \omega_s$ , definê-se a função

$$q(\omega) = \frac{\sqrt{12} \cdot k \cdot |H_0(\omega)|}{x. \left[ \sum_{i=1}^m \left| \frac{\partial H(\omega)}{\partial c_i} \right|^2 \right]^{1/2}} \quad (4.103)$$

Determina-se, então,  $q$ , tal que

$$q = \min_{0 \leq \omega \leq \omega_s} q(\omega) \quad (4.104)$$

O comprimento de palavra dos coeficientes incluindo o bit de sinal, é dado por

$$w = 2 + i_m - i_\ell \quad (4.105)$$

onde  $2^{i_m}$  é o valor do bit mais significativo, representando a grandeza do coeficiente, e  $2^{i_\ell}$  é o valor do bit menos significativo (Crochiere-Oppenheim (1975, p. 589) ), e dado por

$$i_\ell \approx \log_2 q \quad (4.106)$$

#### 4.9 - Determinação da Resposta em Frequência Usando a Representação Matricial

Nos itens referentes à análise estatística para a determinação do comprimento de palavra de variáveis e coeficientes, foram obtidas as equações (4.39) e (4.103), as quais exigem o cálculo das funções de transferência entre a entrada e a saída, entre a entrada e alguns nós da malha, e entre alguns nós e a saída, avaliadas na faixa de frequências  $0 < \omega < \omega_s$ , onde  $\omega_s = 2\pi$ . A representação matricial de uma malha leva ao cálculo simultâneo destas respostas em frequência, como será visto a seguir, diminuindo o tempo de execução de programas.

Considere a equação (4.9), repetida abaixo na forma

$$\left[ I - F_c^t - F_d^t z^{-1} \right] \underline{Y}(z) = \underline{X}(z). \quad (4.107)$$

Considere que um sistema tem apenas uma entrada no nó a e uma saída no nó b. Seja  $T_{jk}(z)$  a função de transferência entre o nó j e o nó k. Tem-se que

$$T_{ak}(z) = \frac{Y_k(z)}{X_a(z)} \quad k = 1, 2, \dots, N \quad (4.108)$$

$$T_{jb}(z) = \frac{Y_b(z)}{Y_j(z)} \quad j = 1, 2, \dots, N \quad (4.109)$$

e

$$H(z) = T_{ab}(z) = \frac{Y_b(z)}{X_a(z)} \quad (4.110)$$

A equação (4.107) pode ser vista como um sistema de  $N$  equações lineares simultâneas. Assumindo  $X_a = 1$  e  $X_k = 0$  para  $k \neq a$ , então, a solução do sistema de equações, usando a aritmética complexa, para uma dada frequência  $\omega$ , com  $0 < \omega < \omega_s$ , dará o conjunto de resposta em frequência  $T_{ak}(\omega)$  (ou  $T_{ak}(e^{j\omega})$ ), para aquela frequência. Se  $k=b$ , então ter-se-á a resposta em frequência do sistema  $H(\omega)$ , para aquela frequência.

Para o cálculo da função de transferência entre qualquer nó  $k$  e o nó de saída  $b$ , usando o teorema da transposição, calcula-se simultaneamente todas as respostas  $T_{jb}(\omega)$ , definindo o sistema transposto de (4.107), dado por

$$\left[ I - F_c - F_d z^{-1} \right] W'(z) = X'(z) \quad (4.111)$$

e escolhendo

$$X'_b = 1 \text{ e } X'_j = 0 \text{ para } j \neq b, \quad (4.112)$$

tendo em mente que

$$T_{jb}(\omega) = T'_{bj}(\omega) \quad j = 1, 2, \dots, N \quad (4.113)$$

Com um método numérico, como por exemplo, a eliminação gaussiana, usando aritmética complexa, calculam-se as soluções das equações (4.107) e (4.111). Na integração um método numérico como a regra trapezoidal ou o método de Runge-Kutta pode ser usado.

Para sistemas onde a matriz das equações (4.107) e (4.111) são singulares em algumas frequências  $\omega$ , o método apresentado para a determinação da resposta em frequência não funciona. No caso do sistema considerado tal fato ocorre para  $\omega = 0$ , e em casos gerais quanto o sistema tem polos no círculo unitário.

Como o método é poderoso, no sentido que permite o cálculo da resposta em frequência simultaneamente entre diversos nós e os nós de entrada ou de saída, optou-se pelo uso deste método. Assim, neste trabalho, as análises da determinação do comprimento de coeficientes e variáveis leva em conta apenas o controlador. Os estudos para a adaptação (ou extensão) do método para os casos de singularidade da matriz estão em andamento, e a sua apresentação será feita em trabalhos posteriores. Intuitivamente, espera-se que o uso do sistema em malha fechada leve a um número menor de bits necessários para ter-se uma mesma degradação no desempenho do sistema, sendo válida, portanto, a adaptação (ou extensão) pretendida.

#### 4.10 - Resumo

Neste capítulo apresentou-se a determinação do comprimento de palavra de variáveis e coeficientes, na representação em ponto fixo, na implementação de controladores digitais. No caso das variáveis utilizou-se de uma técnica, desenvolvida para processamento de sinais digitais, enquanto

que no caso dos coeficientes, uma técnica foi proposta, ba  
seada também no usado na área citada.

Teoremas básicos, necessários ao desenvolvimento e  
apresentação das técnicas, foram também apresentados.

Finalmente, uma técnica computacional aplicada às téc  
nicas citadas foi apresentada.

## 5. PROJETO ASSISTIDO POR COMPUTADOR

### 5.1. Introdução

Este capítulo descreve os programas responsáveis pelo projeto dos controladores assistido por computador, segundo a teoria desenvolvida nos capítulos anteriores, bem como os resultados do projeto do sistema.

Os programas são escritos na linguagem PASCAL, e são auto-suficientes, não utilizando nenhum subprograma externo. Eles foram implementados num computador PDP-10 da "Digital Equipment Corporation". Limitações na versão do Compilador PASCAL usado fizeram necessária pequenas desestruturas dos programas, bem como a separação em projeto e simulação dos controladores. No entanto, procurou-se indicar no corpo dos programas os locais onde ocorreram as citadas desestruturas.

A sequência de projeto recomendada é determinar os coeficientes dos controladores e realizar as simulações até obter-se uma resposta aceitável para o sistema em malha fe -

chada. Com o sistema satisfazendo as especificações, então calcular o comprimento de palavra de variáveis e coeficientes.

A seguir são descritos os três programas. Depois são mostrados os resultados de projeto para o sistema deste trabalho, de acordo com o visto pelo projetista em seu terminal. Os programas têm uma representação esquemática na qual um programa principal utiliza subprogramas agrupados como interface homem-máquina (entrada e saída de dados), subprogramas de métodos e subprogramas auxiliares, como mostrado na figura 5.1.

## 5.2. Projeto dos Controladores

O programa CONTROLADORES OTIMOS apresentado no apêndice A2 é responsável pelo projeto dos controladores desenvolvidos no capítulo 3.

Inicialmente os dados do conjunto servomotor c.c. - carga, bem como o período de amostragem desejado são introduzidos. Isto é feito pelas "procedures".

.LER PARAMETROS  
.MUDAR PARAMETROS  
.LER PERIODO  
.MUDAR PERIODO



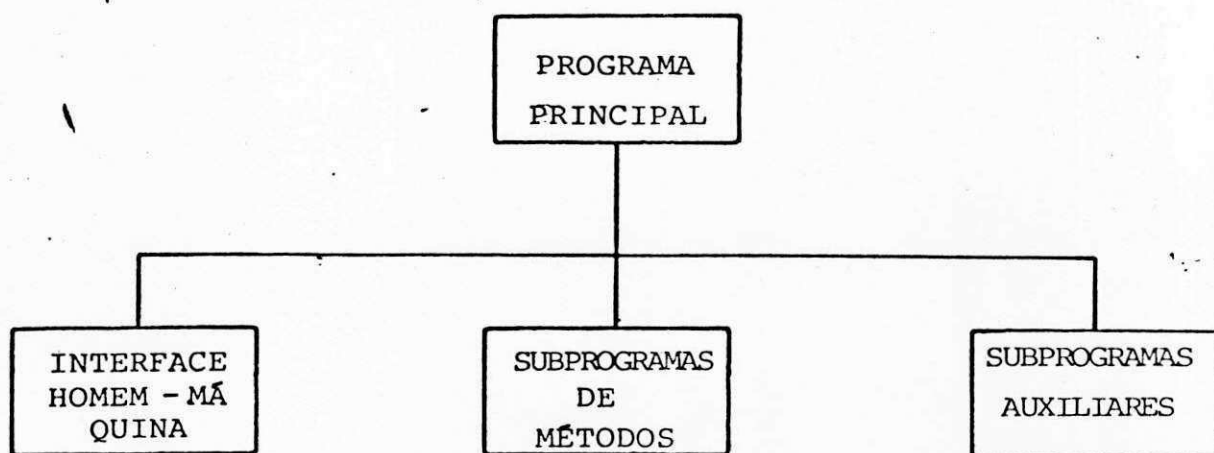


Figura 5.1 - Representação esquemática dos programas.

A seguir são calculados e impressos os polos do sistema contínuo em malha aberta e os coeficientes do sistema discreto, para o período de amostragem desejado. Também são calculados os coeficientes do sistema discreto para um período de amostragem real, a serem usados na simulação. São usadas as "procedures"

.RAIZES REAIS

.COEFICIENTES

São então calculados e impressos os coeficientes do regulador ótimo e do observador de estados, usando-se a "procedure"

.RICCATI.

São entradas as matrizes de ponderação, e os coeficientes calculados; o vetor de ganhos do regulador e de realimentação do observador são impressos. Os coeficientes dos controladores são então calculados.

No caso dos controladores com observador, são calculadas as matrizes a serem diagonalizadas, utilizando-se as "procedures" de operações em matrizes. Os autovalores associados são calculados e impressos, a matriz dos autovetores e sua inversa são calculadas, bem como os coeficientes do sistema diagonalizado. E, são feitas as transformações lineares necessárias à obtenção dos controladores finais, sendo por fim, os coeficientes destes controladores impressos. Usam-se as "procedures"

.AUTOVALORES  
 .PAUTOVETORES  
 .PINVERSA ;

as de operações em matrizes e vetores complexos

.CMULTMTZNN  
 .CMULTMNN1,

e outras de operações em matrizes e vetores reais.

No caso do controlador dinâmico, são calculados: a inversa da matriz  $(A - bk)$ , os coeficientes do controlador ,os quais são impressos, usando-se as "procedures"

.INVERAMBK  
 .KDALFABETA.

Finalmente, são impressos os coeficientes do sistema discreto usado na simulação.

O procedimento pode ser repetido para outro controladodor, ou outro período de amostragem.

O restante das "procedures" e "functions" são auxiliares aos subprogramas principais. São elas de leitura e escrita de matrizes e vetores,

.EVETMATRIZ  
 .LERMATRIZ  
 .ESCRMATRIZ  
 .ESCVL  
 .ESCVC,

de cálculo de alguns parâmetros

.ALFA

.BETA

.A22

.A23

.A32

.A33

.B2

.B3,

operações em matrizes e entre matrizes, matriz-vetor, vetor-vetor,

.ZEREMATRIZ

.MIGUALM

.MTZTRANSP

.SOMAR NN

.SUBTRAI NN

.MULTVET 1N1

.MULTVET N1N

.MULTVETCNST

.MULTUM 1NN

.MUTMTZ NN ,

operações em números complexos,

.SOMAR

.SUBTR

.MULTI

.DIVID

.IGUAL

.MENOS

e outras operações auxiliares,

.TEST CONV

.CALCULEK

.CALCULEP

.VALORPOLINOMIO

.VALORDERIVADA

.RAIZESSEG

.RAIZNEWTON

.AUTOVETOR

.DISTAUTOVETORES

.IGUALVETORES

.TRANSF1DEGR

com os seus significados apresentados no fim dos respectivos corpos.

Os métodos numéricos usados são particularizados para a aplicação em questão. Por exemplo, no cálculo de autovalores do sistema de terceira ordem, um autovalor é calculado pelo método de Newton-Raphson, e os dois restantes resolvendo-se diretamente a equação quadrática resultante.

### 5.3. Simulação do Sistema em Malha Fechada

A simulação do sistema em malha fechada é executada pelo programa SIMULAÇÃO, apêndice A3.

Inicialmente o tipo do controlador a ser simulado é selecionado, e os respectivos dados são fornecidos como entrada. A seguir, o sistema em malha fechada é simulado para um período de amostragem de  $1/8$  (um oitavo) do período real, de maneira a se poder verificar a existência de oscilações entre os períodos de amostragem. Como entradas de simulação podem ser escolhidas degrau, rampa e parábola com amplitudes variáveis. E, por fim, são impressos os resultados da simulação.

As "procedures" usadas são

- . SISTEMA
- . CONTROL 1
- . CONTROL 2
- . CONTROL 3
- . TRACECURVAS,

com os seus significados comentados no fim dos respectivos corpos.

Todo o procedimento de simulação pode ser repetido para outras entradas, outros parâmetros ou outros controladores, numa única execução do programa .

#### 5.4. Determinação do Comprimento de Palavra de Variáveis e Coeficientes

O programa COEFICIENTES (Apêndice A4) é responsável pela determinação do comprimento de palavra de variáveis e coeficientes, usando as técnicas apresentadas no capítulo 4.

Inicialmente são fornecidos como entradas os coeficientes dos ramos do diagrama de fluxo de sinais do sistema em estudo, a seguir os nós de atrasos (podendo-se entrar coeficientes associados diferentes de 1), os nós de entrada, saída e os nós com variáveis quantizadas em suas entradas, bem como o número destas variáveis (resultantes da multiplicação por coeficientes não inteiros) e, finalmente, o fator de multiplicação da variância na saída do sistema (probabilidade de confiança nos resultados), o fator de variação máxima da magnitude da resposta em frequência do sistema (determinação do comprimento de palavra dos coeficientes), a amplitude máxima do ruído proveniente da quantização de variáveis, e o número de divisões no período entre 0 e  $2\pi$  (usado na integração). Os resultados são calculados e impressos.

A "procedure" principal é a que determina a solução do sistema de equações

##### . SOLUÇÃO SISTEMA ,

que usa o método de Gauss, com aritmética complexa. Como técnica de integração usa-se a integração trapezoidal.

O procedimento de cálculo pòde ser repetido para outro número de divisões entre 0 e  $2\pi$  , ou para outras especificações de projeto.

Neste programa a "procedure" SOLUÇÃO(SISTEMA) é transportada para o corpo do programa, de maneira a se solucio - nar as limitações impostas pelo sistema onde o programa foi implementado.



### 5.5. Estrutura de Interação e Resultados

A estrutura de interação dos programas apresentados nos itens anteriores é mostrada na figura 5.2.

Os programas interagem com o usuário, via terminal, através de uma estrutura de comunicação pergunta-resposta. O programa solicita consecutivamente os dados que necessita, esperando do usuário a sua entrada, até que ele tenha as informações necessárias. A seguir é feito o processamento destes dados com a impressão dos resultados, também no terminal. Este processamento é repetido até o fim do projeto.

Os resultados do projeto assistido por computador para o sistema implementado são apresentados no apêndice A9, onde pode ser verificada a estrutura de interação descrita acima.

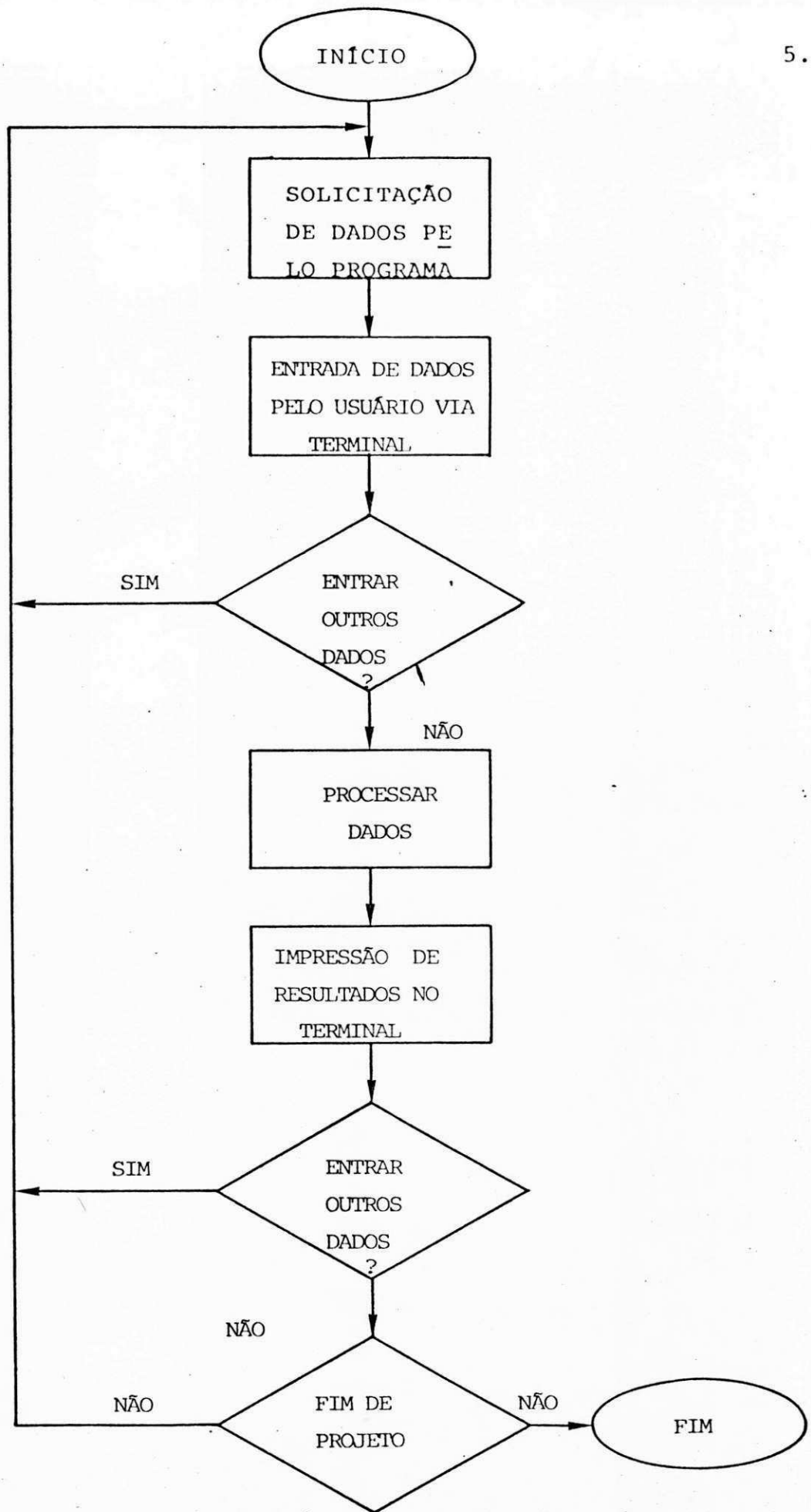


FIG. 5.2. ESTRUTURA DE INTERAÇÃO

#### 5.6. Resumo

Este capítulo apresentou os programas responsáveis pelo projeto do sistema de controle deste trabalho, auxiliado por computador. Os resultados do projeto utilizados na implementação deste trabalho são também apresentados.

## 6. IMPLEMENTAÇÃO DOS CONTROLADORES

### 6.1. Introdução

Este capítulo apresenta a implementação de dois dos três controladores projetados no capítulo anterior. São implementados os controladores I e II. O controlador III (dinâmico) não foi implementado por apresentar na simulação limites considerados inaceitáveis.

São apresentados o hardware onde o sistema foi implementado, dando-se maior ênfase à parte desenvolvida, o software dos controladores, e os resultados obtidos para a resposta ao degrau.

### 6.2. Hardware

O sistema de controle foi implementado no Sistema de Desenvolvimento do Laboratório de Sistemas/Microprocessadores (LSM) do DEE-FEC-UNICAMP. A configuração utilizada, mostrada na Figura 6.1, compreende dos seguintes cartões:

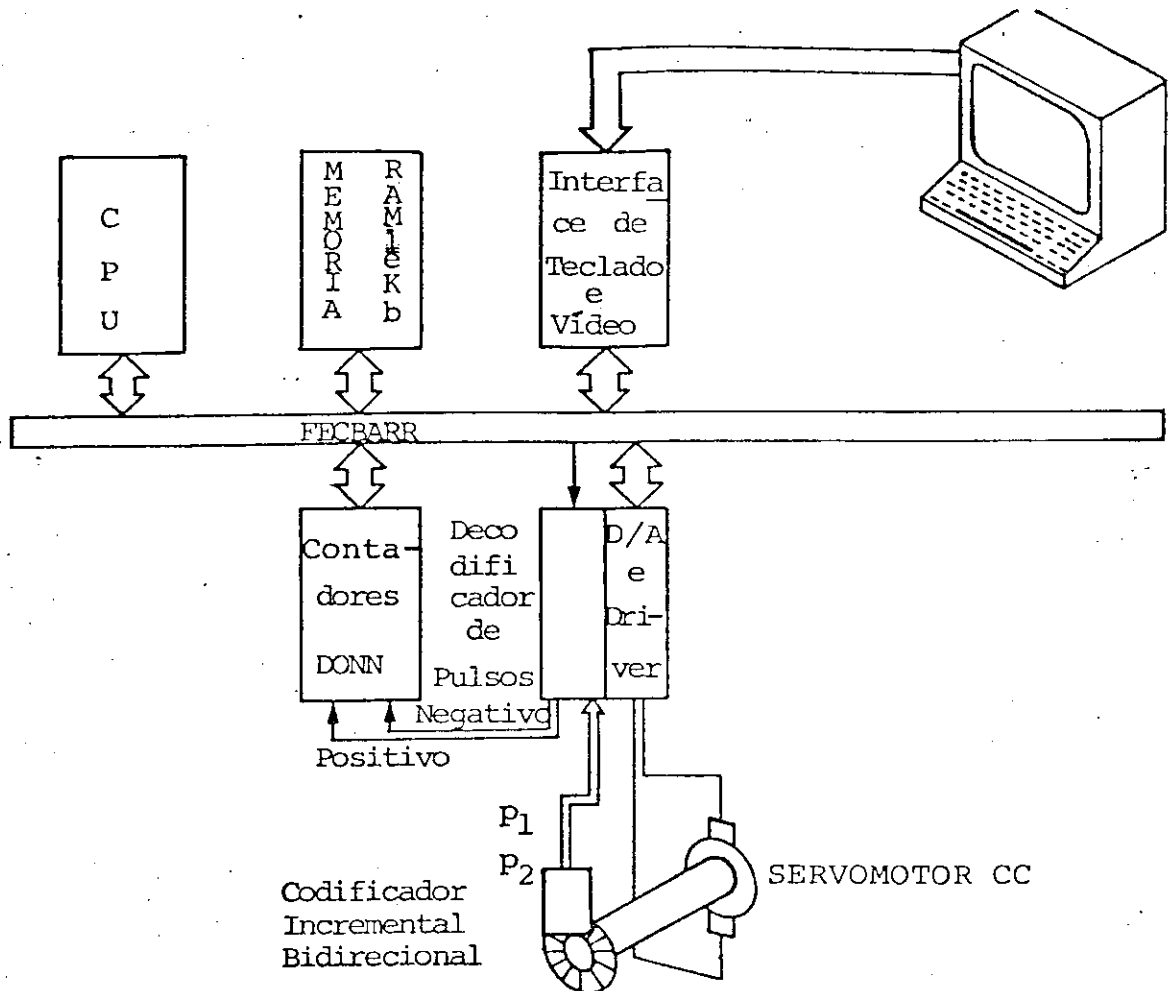


Figura 6.1 - Configuração do hardware utilizado.

- .U.C.P. baseada no microprocessador INTEL 8085A, com monitor em ROM e 256 bytes de RAM interna;
- .Interface para teclado e vídeo;
- .Memória RAM de 16 Kbytes;
- .Contadores "down" de 16 bits, baseados no C.I. INTEL 8253;

Estes cartões são padronizados em torno de um barramento, o FECBARR, desenvolvido no LSM. Maiores detalhes sobre cartões e barramento podem ser encontrados nas referências LSM(28) , LSM(29) , LSM(30) , LSM(31) , LSM(32) .

Também compatível com o FECBAR , foi desenvolvido um cartão de interface com o processo, contendo um conversor D/A, um amplificador operacional de potência e um decodificador de pulsos, mostrados no diagrama do Apêndice A5.

A parte de saída do cartão de interface é acoplada às linhas de dados do FECBARR através do "latch" SN74LS116 - (Signetics (44)), selecionado pelo circuito denominado decodificador de endereços. Os dados escritos neste "latch" são mantidos fixos por um período de amostragem do controlador. A conversão destes dados digitais para a forma analógica é realizada pelo conversor D/A SE5009 (Signetics (45)). O nível de potência adequado é fornecido pelo amplificador operacional de potência  $\mu$ A791 (Fairchild(16)), com corrente máxima de 1A.

O deslocamento é medido por um codificador incremental bidirecional. Ele consiste de um par de LED's infravermelhos TIL 32 (Texas (48)) excitando, através da reflexão em um disco graduado pela alternância entre uma faixa refletora e uma não refletora e acoplado ao eixo do servomotor, um par de fototransistores TIL 78 (Texas (48)). O circuito mostrado na figura 6.2 tem como saída um nível de corrente de 20 mA, quando há condução (faixa não refletora). O disco tem 36 faixas refletoras e 36 não refletoras. Como saídas do codificador obtêm-se duas sequências de pulsos defasadas entre si de  $\pm 2,5^\circ$ , de acordo com o período de rotação.

As saídas do codificador incremental bidirecional são entradas para o decodificador de pulsos mostrado no diagrama do apêndice A5. As entradas deste decodificador são desacopladas eletricamente do resto do circuito por acopladores ópticos TIL 126 (Texas (48)). Depois, "Schmitt Trigger's" SN74LS14 (Signetics (44)) são usados para minimizar o efeito de ruídos e dar uma forma quadrada aos pulsos vindos dos acopladores. O decodificador tem duas saídas, uma para cada sentido de rotação. Pulsos de largura 4 vezes a do período de clock (CLK) do FECBARR são emitidos de acordo com o diagrama de tempo mostrado na figura 6.3. O diagrama de estados associados ao decodificador também é mostrado nesta figura.

As saídas do decodificador de pulsos decrementam dois dos três contadores do cartão dos Contadores. O terceiro é

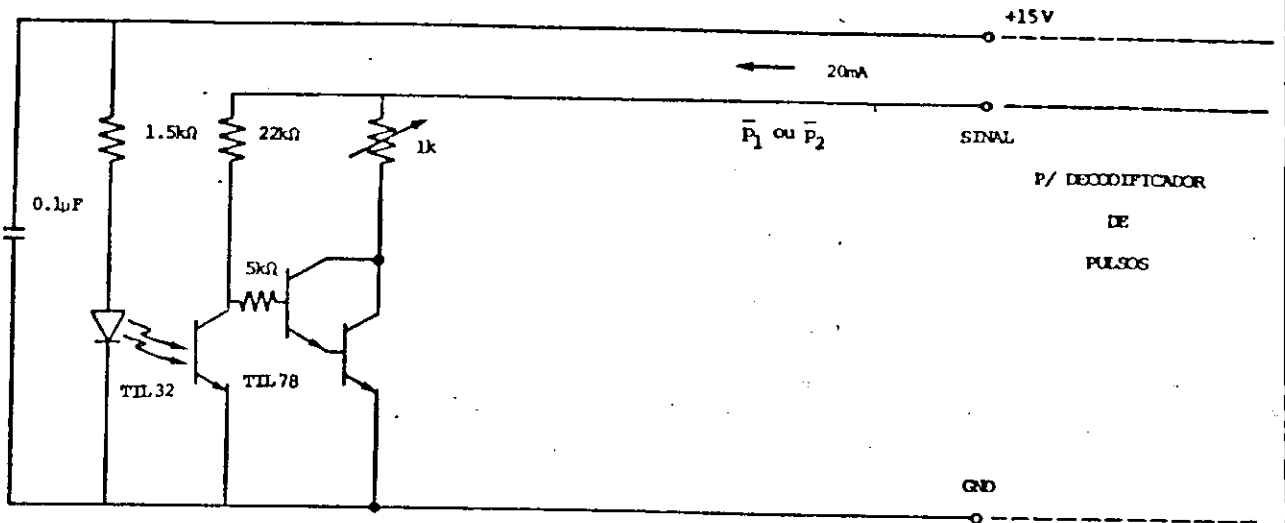


Figura 6.2 - Circuito do codificador incremental bidirecional.

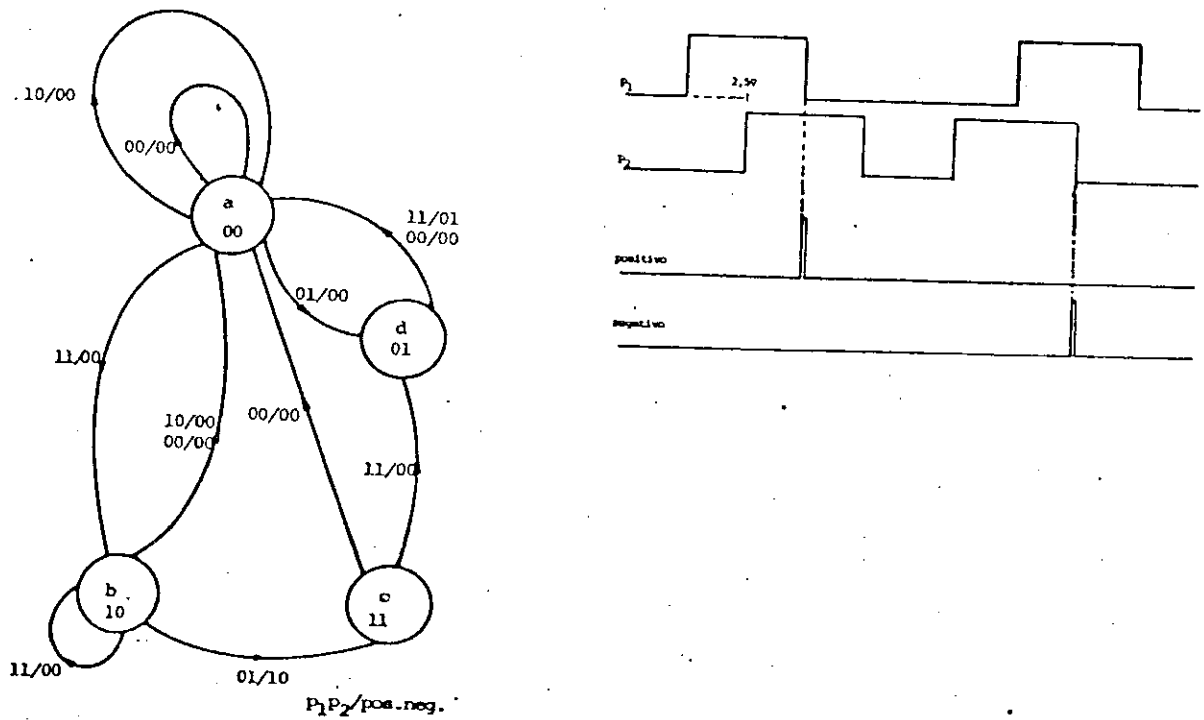


Figura 6.3 - Diagramas de estados e de tempo do decodificador de pulsos.



usado para determinar o período de amostragem do controlador, com uma interrupção não mascarável (NMI) no microprocessador ao fim de sua contagem decrescente.

### 6.3. Software

Este item descreve os programas em linguagem "assembly" do microprocessador Intel 8085 que implementam os dois controladores no sistema apresentado no item anterior. Para maiores detalhes sobre a família do microprocessador 8085A o leitor é referenciado ao manual Intel (20).

A primeira parte dos programas, mostrados nos apêndices A6 e A7, idêntica em ambos é a inicialização. Quando no início de operação dos controladores a saída de controle é zerada, os contadores de deslocamento e as variáveis associadas são inicializados, as outras variáveis do controlador são zeradas, e, finalmente, o gerador de comandos é inicializado. Então, o controlador é executado.

Os controladores inicialmente escrevem a saída de controle calculada como a adição do resultado dos controladores lineares calculado no período anterior à alimentação direta ("feedforward") calculada a partir do sentido de rotação (sinal da velocidade).

A seguir o contador de período de amostragem é inicializado, há a aquisição de dados dos contadores de deslocamen

to, e são feitos cálculos iniciais sobre estes dados, de modo a se obter o deslocamento total (ou posição). O diagrama de fluxo de sinais desta parte é mostrado nas figuras 6.4 e 6.5.

A seguir o restante das estruturas mostradas nas figuras (6.4) (controlador I) e (6.5) (controlador II), são implementadas. Elas são obtidas das figuras (3.4) e (3.9), respectivamente, com a eliminação dos ramos cujos coeficientes, devido ao comprimento de palavra obtida no capítulo anterior, para os mesmos, foram arredondados para zero.

Estas estruturas têm basicamente como operações aritméticas a adição e a multiplicação por uma constante.

A adição é realizada em complemento de dois com precisão dupla. São feitos testes para a detecção de overflow e sua consequente correção é realizada pela substituição do resultado pelas representações máxima (positivo) e mínima (negativo) da representação usada.

A multiplicação também é realizada em complemento de dois (Duncan (1979)). O comprimento de palavra é reduzido por arredondamento, para a precisão calculada no capítulo anterior.

Por fim, as variáveis são atualizadas para o próximo período. E, para fins de teste, um gerador de comandos, de ondas quadradas de amplitude (AMP) e período (SP1) alteráveis, é implementado.

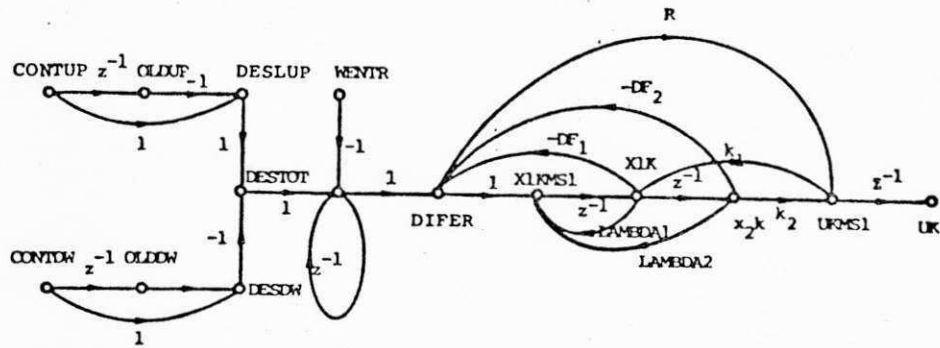


Figura 6.4 - Diagrama de fluxo de sinais do controlador I implementado.

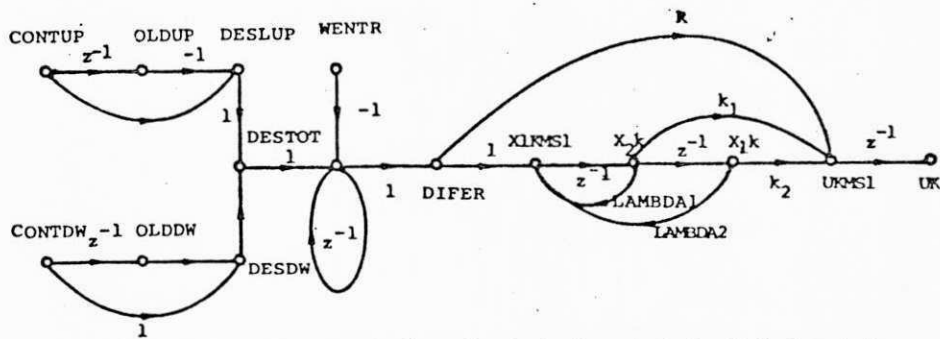


Figura 6.5 - Diagrama de fluxo de sinais do controlador II implementado.

UNIVERSIDADE FEDERAL DA PARAÍBA  
Pró-Reitoria Para Assuntos do Interior  
Coordenação Setorial de Pós-Graduação  
Rua Aprígio Veloso, 882 - Tel. (083) 321-7222-R 355  
58.100 - Campina Grande - Paraíba

Ao término desde processamento o microprocessador é parado ("Halt") até o próximo período de amostragem determinado pela interrupção no fim de contagem do contador de período de amostragem, quando o procedimento do controlador é repetido.

Como limitações na implementação dos controladores, devido à baixa velocidade de processamento do microprocessador disponível, eliminou-se ao máximo o uso de desvios e chamadas a subrotinas, bem como limitou-se a representação máxima de inteiros para 8 bits. Com isso, os programas obtidos foram programas longos, com o maior deles (Controlador I) ocupando em torno de 4 Kbytes de memória com um tempo de execução máximo de aproximadamente 7,2ms para um período de amostragem de 7.8 ms.

#### 6.4. Resultados

As figuras 6.6 e 6.7 mostram as respostas obtidas para uma entrada degrau de comando aos controladores implementados I e II, respectivamente. A análise dos resultados obtidos será feita no item 7.3.

#### 6.5. Resumo

Este capítulo apresentou a implementação dos controladores I e II projetados no capítulo 5. Inicialmente des

creveu-se o hardware utilizado, e a seguir o software dos controladores. Por fim, as respostas ao degrau obtidas para o controlador foram apresentadas.

## 7. ANÁLISE DOS RESULTADOS

### 7.1. Introdução

Neste capítulo são apresentados a análise dos resultados obtidos no projeto e implementação dos controladores, apresentados nos itens 5.5 e 6.4.

Inicialmente são analisados os resultados do projeto e a seguir os resultados da implementação, em comparação com as especificações de projeto.

### 7.2. Projeto

Neste item são comentados os resultados do projeto dos controladores, obtidos para as especificações apresentadas no item 5.5.

Através de simulação, para as matrizes de ponderação escolhidas, chegou-se a um período de amostragem no qual a resposta do sistema era aceitável. Com isso foram obtidos os controladores com observadores de estados. O controlador di

nâmico, aproximação do controlador ótimo não fornecem, para os parâmetros do projeto dos controladores, uma resposta aceitável. A variação dos parâmetros de projeto na procura de uma resposta aceitável na simulação, levou às matrizes de ponderação e aos períodos de amostragem mostrados no item 5.5. Os resultados de projeto e simulação levaram então às decisões de projeto de implementar os controladores que tiveram respostas (ao degrau) aceitáveis. Assim, foram selecionados para implementação os controladores com observadores.

Na determinação do comprimento de palavra de coeficientes pode-se observar o seguinte:

. Um comprimento de palavra menor para os controladores mais complexos, aumentando para os menos complexos. Assim, o controlador I, com as características de realimentação do observador, exige um comprimento de palavra menor que o controlador II, onde, nas simplificações estruturais, eliminou-se a característica de realimentação. E ambos, um comprimento bem menor que a aproximação dinâmica.

. Com o comprimento de palavra obtido, os coeficientes cujo arredondamento dêem zero são desprezíveis no comportamento do controlador, para os níveis de perturbação (devido a quantização) aceitáveis, e por isso são eliminados da estrutura do controlador. Com este resultado, pode-se então projetar os controladores usando um modelo mais complexo para o sistema, ao invés de fazerem-se simplificações no mo-

delo do sistema. Após o cálculo dos controladores que satisfazam as especificações de projeto desejadas, simplifica-se a estrutura do controlador obtido. Para isso são definidas degradações máximas aceitáveis das especificações.

### 7.3. Implementação

Os parâmetros do sistema usados no projeto dos controladores são nominais, não tendo sido feita a identificação. Além disso, o servomotor utilizado, por ter sido usado anteriormente (em controle de velocidade) provavelmente teve suas características alteradas durante este período. Por exemplo, constatou-se que o atrito de Coulomb era diferente em módulo, para cada sentido de rotação. Também as escovas já estavam parcialmente desgastadas. Assim, sob estas condições, são comparados neste item os resultados obtidos pela implementação dos controladores em relação aos resultados da simulação.

Nas figuras 7.1 e 7.2 são mostradas as respostas simuladas e reais para o sistema em malha fechada, controladores I e II, respectivamente. O controlador I, tem uma resposta melhor que o controlador II. Este resultado decorre do fato do controlador I manter em sua estrutura a característica de realimentação no observador de estados, enquanto o controlador II não. Assim, variações dos parâmetros do sis-



tema ou perturbações levam a um erro entre as variáveis de estado dos observadores e as variáveis de estado do sistema real. A presença da característica de realimentação do observador de estados leva a uma correção deste erro, de maneira que o controlador que mantém esta característica é menos sensível a perturbações, em relação ao que não a mantém.

Deve-se também observar que o sensor discretiza (em amplitude) o deslocamento. A existência de uma zona morta associada à discretização faz com que o controlador só tome uma ação quando os limites desta zona morta são atingidos. Assim, no caso dos "overshoots" obtidos nos resultados da implementação, provavelmente seriam diminuídos para uma resolução maior do codificador incremental.

#### 7.4. Resumo

Este capítulo apresentou a análise dos resultados de projeto, bem como os resultados de implementação em relação as especificações de projeto.

UNIVERSIDADE FEDERAL DA PARAÍBA  
Pró-Reitoria Para Assuntos do Interior  
Coordenação Setorial de Pós-Graduação  
Rua Aprígio Veloso, 882 - Tel (083) 321-7222-R 355  
58.100 - Campina Grande - Paraíba

## 8. CONCLUSÕES

A seguir são apresentadas conclusões deste trabalho , bem como sugestões para trabalhos posteriores.

Conforme apresentado na introdução deste trabalho , são normalmente implementados em microprocessadores controladores que exijam um esforço computacional baixo, notadamente controladores com características proporcional, proporcional-integral, proporcional-integral-derivativa. Neste trabalho apresentou-se a implementação de controladores mais sofisticados. Com simplificações na estrutura dos controladores, bem como com a utilização de técnicas de determinação de comprimento de palavra de variáveis e coeficientes, pôde-se fazer a implementação em microprocessadores de oito bits , para o controle de uma classe de servomotores.

A aplicabilidade dos controladores desenvolvidos neste trabalho, a nível industrial (com sua utilização para servomotores mais rápidos) depende da utilização de: ou implementação em hardware das multiplicações, ou a utilização de microprocessadores com capacidade de processamento maior

(por exemplo, 16 bits). Tais sugestões seriam aplicáveis em casos onde fosse justificado o custo adicional, ou em casos onde mais de um servomotor devesse ser controlado, o que seria feito paralelamente pelo mesmo sistema computacional.

Como sugestões para trabalhos posteriores, relacionados com o apresentado neste, aparecem:

. Estudo comparativo entre os controladores aqui implementados e os controladores P, PI, PID, com análise de sensibilidade a variações de parâmetros do sistema e outras perturbações. Neste caso usar-se-iam parâmetros obtidos através de identificação.

. Implementação dos controladores aqui desenvolvidos para outros processos.

. Extensão do estudo comparativo a outros processos.

. Extensão da análise do comprimento de palavra de coeficientes e variáveis a processos com polos no círculo unitário.

. Comparação das técnicas de determinação do comprimento de palavra com outras técnicas existentes, e com a simulação das respostas para diversos comprimentos de palavra.

. Extensão da análise do comprimento de palavra de coeficientes e variáveis para a representação em ponto flutuante.

. Estudo das condições de aplicabilidade da aproximação dinâmica para os controladores ótimos.

## 9. BIBLIOGRAFIA

1. ANDERSON, B.D.O. & MOORE, J.B., *Linear Optimal Control*. Englewood Cliffs, N.J., Prentice-Hall, 1971.
2. AHMED, M.E. & BELANGER, P.R.: Scalling and Roundoff in Fixed-Point Implementation of Control Algorithms. *IEEE Trans. on Industrial Electronics*, Vol. IE-31, n<sup>o</sup> 3, 228 - 234, Aug. 1984a.
3. AHMED, M.E. & BELANGER, P.R.: Limit Cycles in Fixed-Point Implementation of Control Algorithms. *IEEE Trans. on Industrial Electronics*, Vol. IE-31, n<sup>o</sup> 3, 235-242, Aug 1984b.
4. AVENHAUS, E.: On the Design of Digital Filters with Coefficients of Limited Word Length. *IEEE Trans. on Audio and Electroacoustics*, Vol. AU-20, n<sup>o</sup> 3, 206-212, Aug. 1972.
5. BARROS, P.R., *The Design of a Position Digital Controller Based on the Theory of Variable Structure Systems for the Programmable Systems*. Eindhoven, Holland, P.I.I. Report n<sup>o</sup> 926, Dec., 1981.
6. BELLMAN, R.E., *Dynamic Programming*: Princeton, Princeton University Press, 1957.

7. BERTRAM, J.E.: The Effect of Quantization in Sampled - Feedback Systems. *Trans. AIEE*, Vol. 77, Part 2 , 177 - 182, Sep. 1958.
8. CLAASEN, T. MECKLENBRÄUKER, W.F.G & PEEK, J.B.H.: Frequency Domain Criteria for the Absence of Zero-Input Limit Cycles in Nonlinear Discrete-Time Systems, with Applications to Digital Filters. *IEEE Trans. on Circuits and Systems*, Vol. CAS-22, n° 3, 232-239, Mar. 1975.
9. CHIU, K.C., CORRIPIO, A.B. & SMITH, C.L.: Digital Control Algorithms, Part I, II e III. *Instruments and Control Systems*, Oct. 1973a., Nov. 1973b, Dec. 1973c.
10. CROCHIERE, Ronald E.: A New Statistical Approach to the Coefficient Word Length Problem for Digital Filters. *IEEE Transactions on Circuits and Systems*, Vol. CAS-22, n° 3, 190-196, Mar. 1975.
11. CROCHIERE, Ronald E. & OPPENHEIM, Alan V.: Analysis of Linear Digital Networks. *Proceedings of the IEEE*, Vol. 63, n° 4, 581-595, Apr. 1975.
12. D'AZZO, John J. & HOUPIS, Constantine H., *Linear Control System Analysis and Design*; Kogakusha, McGraw-Hill Kogakusha, 1975. 635p.

13. DORATO, P. & LEVIS, A.H.: Optimal Linear Regulators: The Discrete-Time Case. *IEEE Trans. on Automatic Control*, Vol. AC-16, n° 6, 613-620, Dec. 1971.
14. DORF, Richard C., *Modern Control Systems*; Massachusetts, Addison-Wesley Publishing Company, 1974. 405 p.
15. DUNCAN, F.G., *Microprocessor Programming & Software Development*, London, Prentice-Hall International, 1979. 320 p.
16. FAIRCHILD, *Linear Integrated Circuits Manual*; USA.
17. FAM, A.T.: Word Length and Memory Requirements of the Integer Parts of Some Digital Control Parameters. *IEEE Trans. on Automatic Control*, Vol. AC-27, n° 2, 496-498, apr. 1982.
18. FRANKLIN, Gene F. & POWELL, J. David, *Digital Control of Dynamic Systems*; Massachusetts, Addison-Wesley Publishing Company, 1980. 325 p.
19. GAUEN, K.; Designing a DC Servo Position Control Using a Microcomputer. *Control Engineering*, Vol. 30, n° 7, 80-83, July 1983.

20. INTEL, *MCS-85 User's Manual*; Oregon, Intel Corporation, 1978.
21. ISERMANN, Rolf, *Digital Control Systems*; Springer-Verlag, 1981. 566 p.
22. JACKSON, Leland B.: On the Interaction of Roundoff Noise and Dynamic Range in Digital Filters. *The Bell System Technical Journal*, Vol. 49, n<sup>o</sup> 2, 159-184, Feb. 1970.
23. JING-PING, J. & MARLEAU, R.S.: Digitally Controlled DC Drive Motors. *IEEE Transactions on Industry Applications*, Vol. IA-18, n<sup>o</sup> 6, 728-735, Nov. Dec. 1982.
24. JOHNSON, C.D.: Accommodation of External Disturbances in Linear Regulator and Servomechanism Problems. *IEEE Trans. on Automatic Control*, Vol. AC-16, n<sup>o</sup> 6, 535-644, Dec 1971.
25. KALMAN, R. & KOEPCKE, R.V.: Optimal Synthesis of Linear Sampling Control Systems Using Generalized Performance Indexes. *Trans. ASME*, n<sup>o</sup> 80, pp. 1820-1826, 1958.
26. KUO, Benjamin C., *Digital Control Systems*; USA, Holt - Saunders International Editions, 1980. 730 p.

27. KWAKERNAAK, H. & SIVAN, R., *Linear Optimal Control Systems*, New York, Wiley-Interscience, 1972, 575p.
28. LABORATÓRIO DE SISTEMAS E MICROPROCESSADORES: MIC 85 - Microcomputador Baseado na CPU 8085 Compatível com o Bar - ramento FECBAR. *Relatório Interno LSM/FEC/UNICAMP.*
29. L.S.M.: Tópicos 83 - Interface Terminal de Vídeo Monocro - mático. *Relatório Interno LSM/FEC/UNICAMP.*
30. L.S.M.: Memória MK2141 V.2. *Relatório Interno LSM/FEC/ UNICAMP.*
31. L.S.M.: Timer 8253. *Relatório Interno LSM/FEC/UNICAMP.*
32. L.S.M.: FECBAR. *Relatório Interno LSM/FEC/UNICAMP.*
33. LOPES, A.M., MURRILL, P.W. & SMITH, C.L.: Tuning PI and PID Digital Controllers. *Instruments and Control Systems*. Vol. 42, 89-95, Feb. 1969.
34. LUENBERGER, D.G.: Observers for Multivariable Systems . *IEEE Trans. on Automatic Control*, Vol. AC-16, nº 6, 596-602, Dec. 1971.



35. LUENBERGER, D.G.: Observers for Multivariable Systems. *IEEE Trans. on Automatic Control*, Vol. AC-11, n<sup>o</sup> 2, 190-197, Apr. 1966.
36. LUENBERGER, D.G.: An Introduction to Observer. *IEEE Trans. on Automatic Control*, Vol. AC-16, n<sup>o</sup> 6, 596-602, Dec 1971.
37. MORONEY, Paul & WILLSKY, Alan S. & HOUPPT, Paul K.: The Digital Implementation of Control Compensators: The Coefficient Wordlength Issue. *IEEE Transactions on Automatic Control*, Vol. AC-25, n<sup>o</sup> 4, 621-630, Aug. 1980.
38. MORONEY, P., WILLSKY, A.S. & HOUPPT, P.K.: Roundoff Noise and Scaling in the Digital Implementation of Control Compensators. *IEEE Trans. on Acoustics, Speech, and Signal Processing*, Vol. ASSP-31, n<sup>o</sup> 6, 1464-1477, Dec. 1983.
39. OPPENHEIM, Alan V. & WEINSTEIN, Clifford J.: Effects of Finite Register Length in Digital Filtering and the Fast Fourier Transform. *Proceedings of the IEEE*, Vol. 60, n<sup>o</sup> 8, 957-976, Aug. 1972.
40. OPPENHEIM, Alan V. & SCHAFER, Ronald W., *Digital Signal Processing*; Englewood Cliffs, New Jersey, Prentice-Hall,

UNIVERSIDADE FEDERAL DA PARAIBA  
Faculdade de Engenharia Para Assis do Interior  
Coordenação Setorial de Pós-Graduação  
Rua Aprigio Veloso, 882 - Tel. (083) 321-7222-R 355  
58.100 - Campina Grande - Paraíba

Inc., 1975, 585p.

41. ORTEGA, R.: Experimental Evaluation of Four Microprocessor-Based Advanced Control Algorithms. *Microprocessing and Microprogramming*, Vol. 10, 229-245, 1982.
42. PAPOULIS, Athanasius, *Probability, Random Variables, and Stochastic Processes*; New York, McGraw-Hill Book Company, 1965.
43. RABINER, Lawrence R. & GOLD, Bernard; *Theory and Application of Digital Signal Processing*; Englewood Cliffs, New Jersey, Prentice-Hall, Inc., 1975. 762p.
44. SIGNETICS, *Signetics Integrated Circuits-Logic-TTL*; Sunnyvale, California, 1978.
45. SIGNETICS, *Signetics Integrated Circuits-Analogue Circuits*; Sunnyvale, California, 1978.
46. SLAUGHTER, J.B.: Quantization Errors in Digital Control Systems. *IEEE Trans. on Automatic Control*, Vol. AC-9, 70-74, Jan. 1964.
47. STOJIC, M.R.: Design of the Microprocessor Based Digital

System For DC Motor Speed Control. *IEEE Trans. on Industrial Electronics*, Vol. IE-31, n<sup>o</sup> 3, 243-248, Aug. 1984.

48. TEXAS, *The Optoelectronics Data Book*; Texas, Texas Instruments Incorporated, 1978.

49. TSUCHIYA, T.: Improved Direct Digital Control Algorithm for Microprocessor Implementation. *IEEE Trans. on Automatic Control*, Vol. AC-27, n<sup>o</sup> 2, 295-306, Apr. 1982.

APÊNDICE A1 - REGULADOR ÓTIMO PARA SISTEMAS

DIGITAIS

## APÊNDICE A1. REGULADOR ÓTIMO PARA SISTEMAS DIGITAIS

Este apêndice é uma transcrição do apresentado por Isermann (1981 p. 135a 141).

É assumido que a equação de estados do processo

$$\underline{x}(k+1) = A\underline{x}(k) + B\underline{u}(k) \quad (A1.1)$$

com matrizes de parâmetros constantes A e B é dada, junto com uma condição inicial  $\underline{x}(0)$ . É assumido inicialmente que todas as variáveis de estado  $\underline{x}(k)$  são medíveis exatamente.

Um regulador tem que ser determinado de maneira a gerar o vetor de variáveis manipuladas  $\underline{u}(k)$  a partir do vetor de variáveis de estados  $\underline{x}(k)$  de modo que o sistema total é controlado até o estado final  $\underline{x}(N) \approx 0$  e que o critério de desempenho quadrático

$$I = \underline{x}^T(N) S \underline{x}(N) + \sum_{k=0}^{N-1} [\underline{x}^T(k) Q \underline{x}(k) + \underline{u}^T(k) R \underline{u}(k)] \quad (A1.2)$$

é minimizado . Aqui

S é simétrica e semi-definida positiva,

Q é simétrica e semi-definida positiva,

R é simétrica e definida positiva,

isto é,

$$\underline{x}^T S \underline{x} \geq 0 \quad , \quad \underline{x}^T Q \underline{x} \geq 0 \quad \text{e} \quad \underline{u}^T R \underline{u} > 0$$

Estas condições nas matrizes de ponderação S, Q e R resultam das condições para existência do ótimo de I, e pode ser discutida como segue. Soluções consistentes no sentido de engenharia de controle podem ser obtidas se todos os termos têm o mesmo sinal, por exemplo, um sinal positivo. Assim, todas matrizes devem ser pelo menos semidefinida positiva. Se  $S = \underline{0}$ , isto é o estado final  $\underline{x}(N)$  não é ponderado, mas  $Q=0$ , isto é todos estados  $\underline{x}(0), \dots, \underline{x}(N-1)$  são ponderados, um ótimo consistente também existe. Isto significa que se Q é definida positiva S pode ser semidefinida positiva. O caso contrário também é válido. Deve-se, no entanto, excluir o caso onde  $S=\underline{0}$  e  $Q=\underline{0}$ , pois então os estados  $x(k)$  não seriam ponderados e somente a variável manipulada seria ponderada por  $R \neq 0$ , o que não tem sentido. R deve ser definida positiva para reguladores de estado contínuos, pois  $R^{-1}$  é envolvida na lei de controle. Para reguladores de estado discretos no tempo, no entanto esta exigência pode ser relaxada, como será descrito posteriormente.

Como somente o caso onde  $\underline{x}(N) \approx 0$  é considerado aqui,

$S=Q$  é escolhida. Neste caso,  $Q$  deve ser também definida positiva. Note que neste problema a influência das variáveis de referência e perturbações externas é ignorado, e as variáveis de saída

$$\underline{y}(k) = C \underline{x}(k) \quad (\text{A1.3})$$

não são realimentadas. No lugar disso, nós consideramos a estabilização e modificação do comportamento próprio do processo através de realimentação de estado. Se a variável manipulada ótima  $\underline{u}(k)$  é encontrada, então

$$\min I = \min_{\underline{u}(k)} \left\{ \underline{x}^T(N) Q \underline{x}(k) + \sum_{k=0}^{N-1} [ \underline{x}^T(k) Q \underline{x}(k) + \underline{u}^T(k) R \underline{u}(k) ] \right\}$$

$$k = 0, 1, 2, \dots, N-1 \quad (\text{A1.4})$$

O cálculo da variável manipulada ótima é um problema de otimização dinâmica que pode ser resolvido, pelo cálculo variacional, aplicando o princípio do máximo de Pontryagin ou princípio de otimização de Bellman- (Bellman (1957)). A solução apresentada abaixo foi dada por Kalman & Koepcke (1958) e usa o princípio de otimalidade.

#### Comentários

a) De acordo com o princípio de otimalidade de Bellman

cada elemento final de uma trajetória é também ótima. Isto significa que se o ponto final é conhecida, pode-se determinar a trajetória ótima na direção do ponto final para trás.

b) Da equação de estados (A1.1),  $\underline{u}(k)$  influencia os estados futuros  $\underline{x}(k+1)$ ,  $\underline{x}(k+2)$ , ... . Assim, pode-se calcular o  $\underline{u}(k)$  ótimo por cálculo no sentido contrário. Assim, a equação (A1.4) é reescrita como:

$$\min_{\underline{u}(k)} I = \min_{k=0,1,\dots,N-2} \left[ \begin{array}{l} \min_{\underline{u}(N-1)} \left\{ \underline{x}^T(N) Q \underline{x}(N) + \right. \\ \left. + \sum_{k=0}^{N-1} \left[ \underline{x}^T(k) Q \underline{x}(k) + \underline{u}^T(k) R \underline{u}(k) \right] \right\} \end{array} \right] \quad (\text{A1.5})$$

Segue que

$$\begin{aligned} \min_{\underline{u}(N-1)} \left\{ \dots \right\} &= \sum_{k=0}^{N-1} \underline{x}^T(k) Q \underline{x}(k) + \sum_{k=0}^{N-2} \underline{u}^T(k) R \underline{u}(k) + \\ &+ \min_{\underline{u}(N-1)} \left\{ \underline{x}^T(N) Q \underline{x}(N) + \underline{u}^T(N-1) R \underline{u}(N-1) \right\} \\ &= \underbrace{I_{N-1,N}}_{(\text{A1.6})} \end{aligned}$$

desde que os dois primeiros termos não são influenciados por  $\underline{u}(N-1)$  e  $I_{N-1,N}$  são os custos de  $k = N-1$  a  $k=N$  resultante de  $\underline{u}(N-1)$ . Se a equação de estados



$$\underline{x}(N) = A \underline{x}(N-1) + B \underline{u}(N-1)$$

ou

$$\underline{x}^T(N) = \underline{x}^T(N-1) A^T + \underline{u}^T(N-1) B^T \quad (\text{A1.7})$$

é considerada como uma condição a mais, segue da equação (A1.6) que

$$\begin{aligned} I_{N-1,N} &= \min_{\underline{u}(N-1)} \{ \underline{x}^T(N) Q \underline{x}(N) + \underline{u}^T(N-1) R \underline{u}(N-1) \} = \\ &= \min_{\underline{u}(N-1)} \{ \underline{x}^T(N-1) A^T Q A \underline{x}(N-1) + 2 \underline{x}^T(N-1) A^T Q B \underline{u}(N-1) \\ &\quad + \underline{u}^T(N-1) B^T Q B \underline{u}(N-1) + \underline{u}^T(N-1) R \underline{u}(N-1) \} = \\ &= \underline{x}^T(N-1) A^T Q A \underline{x}(N-1) + \min_{\underline{u}(N-1)} \{ 2 \underline{x}^T(N-1) A^T Q B \underline{u}(N-1) \\ &\quad + \underline{u}^T(N-1) (B^T Q B + R) \underline{u}(N-1) \} . \quad (\text{A1.8}) \end{aligned}$$

Para minimizar a equação (A1.8) as seguintes relações são válidas

$$\min_{\underline{u}(N-1)} \{ \dots \} = \frac{\partial}{\partial \underline{u}(N-1)} \{ \dots \} = \underline{0}$$

$$\frac{\partial^2}{\partial \underline{u}(N-1)^2} \{ \dots \} > \underline{0} \quad (\text{A1.9})$$

Assim, usando as regras de derivação de vetores e matrizes.

$$\frac{\partial}{\partial \underline{u}^{(N-1)}} \{ \dots \} = 2 B^T Q A \underline{x}^{(N-1)} + 2(B^T Q B + R) \underline{u}^{(N-1)} = 0$$

e

$$\begin{aligned} \underline{u}^{(N-1)} &= -(B^T Q B + R)^{-1} B^T Q A \underline{x}^{(N-1)} \\ &= -\underline{K}^{(N-1)} \underline{x}^{(N-1)}. \end{aligned} \quad (A1.10)$$

Aqui

$$\underline{K}^{(N-1)} = (B^T Q B + R)^{-1} B^T Q A \quad (A1.11)$$

e

$$\frac{\partial^2 \{ \dots \}}{\partial \underline{u}^{(N-1)}{}^2} = 2(B^T Q B + R) > 0 \quad (A1.12)$$

Os custos  $I_{N-1,N}$  resultantes de  $u^{(N-1)}$  podem então ser formulados como uma função da condição inicial  $x^{(N-1)}$  para aquele estágio:

$$I_{N-1,N} = \underline{x}^{T(N-1)} A^T Q A \underline{x}^{(N-1)} - 2 \underline{x}^{T(N-1)}$$

$$A^T Q B (B^T Q B + R)^{-1} \cdot B^T Q A \underline{x}^{(N-1)} +$$

$$\underline{x}^{T(N-1)} A^T Q B (B^T Q B + R)^{-1} B^T Q A \underline{x}^{(N-1)}$$

$$\begin{aligned}
&= \underline{x}^T(N-1) [ A^T Q A - A^T Q B (B^T Q B + R)^{-1} B^T Q A ] \underline{x}(N-1) \\
&= \underline{x}^T(N-1) [ A^T Q A - \underline{K}^T(N-1) (B^T Q B + R) \underline{K}(N-1) ] \underline{x}(N-1) \\
&= \underline{x}^T(N-1) P_{N-1, N} \underline{x}(N-1). \quad (A1.13)
\end{aligned}$$

Aqui

$$\begin{aligned}
P_{N-1, N} &= A^T Q [ I - B (B^T Q B + R)^{-1} B^T Q ] A \\
&= A^T Q A - \underline{K}^T(N-1) (B^T Q B + R) \underline{K}(N-1) \quad (A1.14)
\end{aligned}$$

$I$ , ou  $\min I$ , de acordo com as equações (A1.5) (A1.6) podem ser expressas como função de  $\underline{x}(k)$ ,  $k=0, \dots, N-1$  e  $\underline{u}(k)$ ,  $k=0, \dots, N-2$ . Assim os termos desconhecidos  $\underline{x}(N)$  e  $\underline{u}(N-1)$  podem ser eliminados. Para realizar esta eliminação, inicialmente  $P_{N-1, N}$  da equação (A1.13) é substituída na equação (A1.6), resultanto em

$$\begin{aligned}
\min_{\underline{u}(N-1)} \{ & \underline{x}^T(N) Q \underline{x}(N) + \sum_{k=0}^{N-1} [ \underline{x}^T(k) Q \underline{x}(k) + \underline{u}^T(k) \\
& R \underline{u}(k) ] \} = \sum_{k=0}^{N-1} \underline{x}^T(k) Q \underline{x}(k) + \sum_{k=0}^{N-2} \underline{u}^T(k) \\
& R \underline{u}(k) + \underline{x}^T(N-1) P_{N-1, N} \underline{x}(N-1) = \sum_{k=0}^{N-2} \\
& [ \underline{x}^T(k) Q \underline{x}(k) + \underline{u}^T(k) R \underline{u}(k) ] + \\
& + \underline{x}^T(N-1) (P_{N-1, N} + Q) \underline{x}(N-1) \\
& \underbrace{\hspace{10em}} \\
& I_{N-1} \quad (A1.15)
\end{aligned}$$

A abreviação

$$P_{N-1} = P_{N-1,N} + Q \quad (A1.16)$$

é introduzida de modo que na equação (A1.15)

$$I_{N-1} = I_{N-1,N} + \underline{x}^T(N-1) Q \underline{x}(N-1) = \underline{x}^T(N-1) (P_{N-1} + Q) \underline{x}(N-1)$$

$$\underline{x}(N-1) = \underline{x}^T(N-1) P_{N-1} \underline{x}(N-1). \quad (A1.17)$$

Nesta abreviação o custo do último passo e a avaliação do desvio inicial correspondente  $\underline{x}(N-1)$  são incluídos. (Esta compressão permite uma formulação mais simples das equações que seguem). Se a equação (A1.16) é introduzida na equação (A1.5), segue que

$$\min_{k=0, \dots, N-3} I = \min_{\underline{u}(k)} \left[ \min_{\underline{u}(N-2)} \left\{ \sum_{k=0}^{N-2} [\underline{x}^T(k) Q \underline{x}(k) + \underline{u}^T(k) R \underline{u}(k)] + \underline{x}^T(N-1) P_{N-1} \underline{x}(N-1) \right\} \right]. \quad (A1.18)$$

Ao invés do  $\min_{\underline{u}(N-1)}$  agora aparece  $\min_{\underline{u}(N-2)}$  como o ótimo  $\underline{u}(N-1)$  e o estado resultante  $\underline{x}(N)$  foi calculado e substituído. Para o termo  $\min_{\underline{u}(N-2)}$  ... obtêm-se por analogia à equação (A1.6).

$$\min_{\underline{u}(N-2)} \{ \dots \} = \sum_{k=0}^{N-2} \underline{x}^T(k) Q \underline{x}(k) + \sum_{k=0}^{N-3} \underline{u}^T(k) R \underline{u}(k) +$$

UNIVERSIDADE FEDERAL DA PARAÍBA  
 Pró-Reitoria Para Assuntos do Interior  
 Coordenação Setorial de Pós-Graduação  
 Rua Aprígio Veloso, 882 - Tel (083) 321-7222-R 355  
 58.100 - Campina Grande - Paraíba

$$+ \min_{\underline{u}(N-2)} \left\{ \underline{u}^T(N-2) R \underline{u}(N-2) + \underline{x}^T(N-1) P_{N-1} \underline{x}(N-1) \right\} \cdot$$

$$\underbrace{\hspace{10em}}_{I_{N-2,N}} \quad (A1.19)$$

$I_{N-2,N}$  descreve o custo resultantes dos dois últimos estágios

$$I_{N-2,N} = \underline{u}^T(N-2) R \underline{u}(N-2) + \underline{x}^T(N-1) Q \underline{x}(N-1) + I_{N-1,N}$$

$$(A1.20)$$

Se agora a equação de estados é considerada novamente

$$\underline{x}(N-1) = A \underline{x}(N-2) + B \underline{u}(N-2)$$

segue que

$$I_{N-2,N} = \min_{\underline{u}(N-2)} \left\{ \underline{u}^T(N-2) (R+B^T P_{N-1} B) \underline{u}(N-2) + \right.$$

$$+ 2 \underline{u}^T(N-2) B^T P_{N-1} A \underline{x}(N-2) +$$

$$\left. \underline{x}^T(N-2) A^T P_{N-1} A \underline{x}(N-2) = \right.$$

$$= \underline{x}^T(N-2) A^T P_{N-1} A \underline{x}(N-2) + \min_{\underline{u}(N-2)} \left\{ \underline{u}^T(N-2) \right.$$

$$\left. (R + B^T P_{N-1} B) \underline{u}(N-2) + 2 \underline{u}^T(N-2) B^T P_{N-1} A \underline{x}(N-2) \right\}$$

$$(A1.21)$$

Isto resulta por analogia com a equação (A1.10), em

$$\underline{u}^0(N-2) = -(R + B^T P_{N-1} B)^{-1} B^T P_{N-1} A \underline{x}(N-2)$$

$$= - \underline{K}_{N-2} \underline{x}^{(N-2)} \quad (A1.22)$$

Assim, o regulador  $\underline{K}_{N-2}$  torna-se

$$\underline{K}_{N-2} = (R + B^T P_{N-1} B)^{-1} B^T P_{N-1} A. \quad (A1.23)$$

Portanto, o custo mínimo  $I_{N-2,N}$  para os dois últimos estágios torna-se, usando a equação (A1.21):

$$\begin{aligned} I_{N-2,N} &= \underline{x}^T (N-2) A^T P_{N-1} A \underline{x}^{(N-2)} \\ &+ \underline{x}^T (N-2) A^T P_{N-1} B (R+B^T P_{N-1} B)^{-1} B^T P_{N-1} A \underline{x}^{(N-2)} \\ &- 2 \underline{x}^T (N-2) A^T P_{N-1} B (R+B^T P_{N-1} B)^{-1} B^T P_{N-1} A \underline{x}^{(N-2)} \\ &= \underline{x}^T (N-2) [ A^T P_{N-1} A - A^T P_{N-1} B (R+B^T P_{N-1} B)^{-1} \\ &\quad B^T P_{N-1} A ] \underline{x}^{(N-2)} \\ &= \underline{x}^T (N-2) [ A^T P_{N-1} A - \underline{K}_{N-2}^T (R + B^T P_{N-1} B) \underline{K}_{N-2} ] \\ &\quad \underline{x}^{(N-2)} \\ &= \underline{x}^T (N-2) P_{N-2,N} \underline{x}^{(N-2)} \quad (A1.24) \end{aligned}$$

com

$$\begin{aligned} P_{N-2,N} &= A^T P_{N-1} [ I - B (R+B^T P_{N-1} B)^{-1} B^T P_{N-1} ] A \\ &= A^T P_{N-1} A - \underline{K}_{N-2}^T (R+B^T P_{N-1} B) \underline{K}_{N-2} \quad (A1.25) \end{aligned}$$

Agora, o mínimo de  $I$  com respeito a  $u(N-2)$  pode ser formulado de acordo com a equação (A1.19)

$$\begin{aligned}
\min_{\underline{u}(N-2)} I &= \sum_{k=0}^{N-2} \underline{x}^T(k) Q \underline{x}(k) + \sum_{k=0}^{N-3} \underline{u}^T(k) R \underline{u}(k) + \\
&+ \underline{x}^T(N-2) P_{N-2,N} \underline{x}(N-2) = \\
&= \sum_{k=0}^{N-3} [ \underline{x}^T(k) Q \underline{x}(k) + \underline{u}^T(k) R \underline{u}(k) ] \\
&+ \underline{x}^T(N-2) (P_{N-2,N} + Q) \underline{x}(N-2) \\
&\qquad\qquad\qquad \underline{I}_{N-2} \qquad\qquad\qquad (A1.26)
\end{aligned}$$

Se a abreviação

$$P_{N-2} = P_{N-2,N} + Q \qquad (A1.27)$$

é introduzida novamente, os custos dos dois últimos estágios incluindo desvio inicial  $\underline{x}(N-2)$  resultam em

$$\begin{aligned}
I_{N-2} &= I_{N-2,N} + \underline{x}^T(N-2) Q \underline{x}(N-2) = \underline{x}^T(N-2) (P_{N-2,N} + Q) \underline{x}(N-2) \\
&= \underline{x}^T(N-2) P_{N-2} \underline{x}(N-2). \qquad (A1.28)
\end{aligned}$$

Considerando a equação de estados,  $I$  pode agora ser expresso como uma função de  $\underline{x}(k)$  e  $\underline{u}(k)$  com  $k=0, \dots, N-3$ . Então  $\underline{u}^0(N-3)$  pode ser determinado, etc.

Em termos gerais, obtem-se um regulador de estados linear variante no tempo

$$\underline{u}^0(N-j) = - \underline{K}_{N-j} \underline{x}(N-j) \qquad j=1,2,\dots,N \qquad (A1.29)$$

que é uma realimentação negativa, de ação proporcional, a entrada através da matriz  $K_{N-j}$ .

Seus parâmetros são obtidos das equações recursivas

$$K_{N-j} = (R + B^T P_{N-j+1} B)^{-1} B^T P_{N-j+1} A \quad (A1.30)$$

$$\begin{aligned} P_{N-j} &= Q + A^T P_{N-j+1} A - K_{N-j} (R + B^T P_{N-j+1} B) K_{N-j} \\ &= Q - K_{N-j} R K_{N-j} + [A - B K_{N-j}]^T P_{N-j+1} [A + B K_{N-j}] \\ &= Q + A^T P_{N-j+1} [I - B (R + B^T P_{N-j+1} B)^{-1} B^T P_{N-j+1}] A \end{aligned} \quad (A1.31)$$

com  $P_N = Q$  como matriz inicial. A última equação é a equação matricial à diferenças de Riccati. Para o valor do critério de desempenho da equação (A1.2) nos termos:

$$\min_{\underline{u}(k)} I = I_0 = \underline{x}^T(0) P_0 \underline{x}(0) \quad (A1.32)$$

com  $k = 0, 1, \dots, N-1$ .

Nas equações (A1.30) e (A1.31) se o termo  $B^T P_{N-j+1} B > 0$ , então a exigência que  $R$  seja definida positiva pode ser relaxada nos termos onde há inversas de matrizes.



APÊNDICE A2 - CONTROLADORES ÓTIMOS





```

ALFA:REAL;MS:ANG;SMA:EL;VATOP;
INVA:K*MA*LI;Z;
ZP:EL*ER*POU;
1)PROCOTR:((OIMOREA,OITMODIP;DINAVI'O));

PROCEDURE LERPARAM2IFOS(VAR F:INTEGER;
VAR L,L1,N,J,K,KB:REAL);

BEGIN
WRITE(IT,'RESISTENCIA = ');BREAK;
READ(IT,P);
WRITE(IT,'INDUANCIA = ');BREAK;
READ(IT,L1);
WRITE(IT,'FRICCAO MOTOP-CARGA = ');BREAK;
READ(IT,S);
WRITE(IT,'INERCIA MOTOP-CARGA = ');BREAK;
READ(IT,J);
WRITE(IT,'CONSRVANTES ELETICA E MECANICA = ');BREAK;
READ(IT,K);
WRITE(IT,'NUMERO DE PULSOS POR ROTACAO INCREMENTAL = ');BREAK;
READ(IT,P);
END;

FUNCTION ALFA(R,L,S,J,KA,KB:FCAD): REAL;

BEGIN
ALFA:= (R/L)*(S/J);
END;

FUNCTION RETA(K,L,S,J,KA,KB:FCAD): REAL;

BEGIN
BLT:=((R**4+KA*KB)/(L*S));
END;(* BETA *)

PROCEDURE LERPERIODO(VAR T:REAL);
BEGIN
WRITE(IT,'PERIODO DE AMOSTRAGEM = ');BREAK;
READ(IT,T);
WRITE(IT);
END;(* LER PERIODO DE AMOSTRAGEM *)

PROCEDURE MUDARPERIODO(VAR I:FERE);
VAP
CM:(N,S);

BEGIN
WRITE(IT);
WRITE(IT,'PERIODO DE AMOSTRAGEM = ',T,' ? (S OU N) = ');BREAK;
IF CHEN THEN
BEGIN
WRITE(IT,'T = ');BREAK;
READ(IT,I);
END;

```



```
WRITEW(TTY,'PERIODO DE AMOSTRAGEM = ',T);BREAK
END;(* MUDAR O PERIODO *)
```

```
PROCEDURE MUDARPARAMETROS(VAR P:MITLGRM;
VAR R,L,H,J,KA,KB:REAL);
```

```
VAR CH:(S,M);
```

```
BEGIN
WRITE(TTY,'DESEJA CULFERIR OU MUDAR ALGUM PARAMETRO ? (S OU N)');BREAK;
READ(TTY,CH);
```

```
WHILE CH#S DO
BEGIN
WRITEW(TTY,'CASO DESEJE MUDAR O PARAMETRO ESPECIFICADO');
WRITEW(TTY,'COEFVA N : CASO CONTRARIO ESCREVA S. ');
WRITE(TTY,'RESISTENCIA R = ',R,' ? ');BREAK;
READ(TTY,CH);
IF CH#N THEN
```

```
BEGIN
WRITE(TTY,'R = ');BREAK;
READ(TTY,R);
END;
```

```
WRITEW(TTY,'R = ',R);BREAK;
WRITE(TTY,'INDUTANCIA L = ',L,' ? ');BREAK;
READ(TTY,CH);
IF CH#N THEN
```

```
BEGIN
WRITE(TTY,'L = ');BREAK;
READ(TTY,L);
END;
```

```
WRITEW(TTY,'L = ',L);BREAK;
WRITE(TTY,'FRICCAO B = ',B,' ? ');BREAK;
READ(TTY,CH);
IF CH#N THEN
```

```
BEGIN
WRITE(TTY,'B = ');BREAK;
READ(TTY,B);
END;
```

```
WRITEW(TTY,'B = ',B);BREAK;
WRITE(TTY,'INERZIA = ',J,' ? ');BREAK;
READ(TTY,CH);
IF CH#N THEN
```

```
BEGIN
WRITE(TTY,'J = ');BREAK;
READ(TTY,J);
END;
```

```
WRITEW(TTY,'J = ',J);BREAK;
WRITE(TTY,'CONSTANTE = ',KA,' ? ');BREAK;
READ(TTY,CH);
IF CH#N THEN
```

```
BEGIN
WRITE(TTY,'KA = ');BREAK;
READ(TTY,KA);
END;
```

```
WRITEW(TTY,'KA = ',KA);BREAK;
WRITE(TTY,'NUMERO DE PULSOS DO MODIFICADOR INCREMENTAL = ',P,' ? ');BREAK;
READ(TTY,CH);
```



```

IF CHEN THEN
  BEGIN
    WRITE(TTY, 'P = '); BNSAK;
    READ(TTY, P)
  END;
  *PITELN(TTY, 'P = ', P); BNSAK;
  *PITE(TTY, 'AIWON DESEJA *ODAR ALGUM PARAMETRO ?(S OU N) '); BNSAK;
  READLN(TTY, CH)
  END;
  *ODAR PARAMETROS *)

PROCEDURE RAIZESPLANIS(F, L, B, J, K, K0: REAL;
  VAR RAIZ1, RAIZ2: REAL);
  VAR
    ALF, REI, DOUTA: REAL;
  BEGIN
    *PITELN(TTY);
    ALF:=ACF(A, B, C, D, E, J);
    REI:=EF(A, B, C, D, E, J, K, K0);
    DELTA:=SQP(ALF)-4*REI;
    IF DELTA<0.0 THEN
      BEGIN
        *PITELN(TTY, 'RAIZES COMPLEXAS , ENCERRE SIMULACAO'); BNSAK;
        END;
      ELSE
        IF DELTA=0.0 THEN
          BEGIN
            WRITE(TTY, 'RAIZES IGUAIS , FIM EPRE SIMULACAO '); BNSAK;
            END;
          ELSE
            BEGIN
              RAIZ1:=((-ALF)+SQRT(DELTA))/2.0;
              RAIZ2:=((-ALF)-SQRT(DELTA))/2.0;
              END;
            WRITE(TTY, 'POLO CONTINUO 1 =', RAIZ1, 'POLO CONTINUO2 =', RAIZ2); BNSAK;
            END;
            (* RAIZES REAIS *)

FUNCTION AJ2(R, L, P1, P2, F1, E2: REAL): REAL;
  VAR
    *AUX: REAL;
  BEGIN
    AUX:=F1-R*2;
    AJ2:=((PI+(L/W/L))*E1-(P2+(F/W/D))*E2)/AUX;
    END; (*AJ2*)

FUNCTION AJ2(O, K, P1, P2, E1, E2: REAL): REAL;
  VAR
    *AUX: REAL;

```

```

A2:=-((K1*(R1-E2))/(AUX*L)
END; (*A32*)

FUNCTION A23(J,K,K1,R1,R2,E1,E2:REAL);
VAR
  AUX:REAL;
BEGIN
  AUX:=R1-m?;
  A23:=(K1*(E1-E2))/(AUX*L)
END; (*A33*)

FUNCTION A33(B,J,E1,R2,F1,E2:REAL);
VAR
  AUX:REAL;
BEGIN
  A33:=R1-m?;
  A33:=(F1*(B/J))*E1-(R2*(B/J))*E2/AUX
END; (*A33*)

FUNCTION B4(L,J,K,K1,BET,P1,R2,E1,M2:REAL);
VAR
  AUX:REAL;
BEGIN
  AUX:=R1-m?;
  B4:=(1/BET)*F1/(R1*AUX)-E2/(R2*AUX)*K1/(L*B)
END; (*B4*)

FUNCTION R3(L,B,J,BET,R1,R2,E1,E2:REAL);
VAR
  AUX1,AUX2:REAL;
BEGIN
  AUX1:=R1-m?;
  AUX2:=B/J;
  R3:=(AUX2/MET)*(E1*(P1+AUX2)/R1-E2*(R2+AUX2)/R2)/AUX1/L
END; (*R3*)

PROCEDURE COEFICIENTES(P:INTEGER);
  N,L,B,J,K,K1,KR,T,R1,K2:REAL;
  VAR VU:VTOP;
  VAR A:MATRIZ;

CONST
  PI=3.14159265;
VAR
  EXP1,EXP2,AUX1,MET:REAL;
BEGIN
  BET:=R1-m?;
  EXP1:=EXP(R1*T);
  EXP2:=EXP(K2*T);
  AUX1:=(BET)/(C2*PI);
  A(L,2):=A2/(P*L*R1,R2,EXP1,EXP2);
  A(L,21):=A33(B,J,E1,R2);
  A(L,22):=A33(L,K,K1,R2)*EXP1,EXP2);

```



```

A(2,3)=A23(J,K,A,P1,P2,EXP1,EXP2);
ALLJ:=MATRIZ(A(2,3));
A(1,1)=1.0;
A(2,1)=0.0;
A(3,1)=0.0;
A(3,2)=A33(J,K,A,P1,P2,EXP1,EXP2);
V(2)=B2(J,K,A,P1,P2,EXP1,EXP2);
V(1)=B1(J,K,A,P1,P2,EXP1,EXP2);
V(3)=B3(J,K,A,P1,P2,EXP1,EXP2);
END; (* CARACTERIS DE SISTEMA DISCRETO *)

PROCEDURE EYEMATRIZ(R:VECTOR; A:MATRIZ);
CONST
  ORDPM=3;
VAR
  I,K:1..N;
BEGIN
  WRITELN('II');
  WRITELN('IY, MATRIZ DO SISTEMA DISCRETO');
  FOR I:=1 TO ORDPM DO
    BEGIN
      WRITE('IY, ( ');
      FOR K:=1 TO ORDPM DO
        WRITE('IY, A(I,K));
      WRITELN('IY, ' ');
    END;
  WRITELN('III');
  WRITELN('IV, VETOR DO SISTEMA DISCRETO');
  FOR I:=1 TO ORDPM DO
    BEGIN
      WRITE('IY, ( ');
      FOR K:=1 TO ORDPM DO
        WRITE('IY, V(I,K));
      WRITELN('IY, ' ');
    END;
  END;
  WRITELN('V, MATRIZ DE PUNDECAO DOS ESTADOS');
  WRITELN('IY');
  FOR I:=1 TO ORDPM DO
    BEGIN
      FOR J:=1 TO ORDPM DO
        BEGIN
          IF J=I THEN
            WRITE('IY, Q(I,I), Y2, I= ',A(I,I), ' (S OU N) = ');BREAK;
          WRITE('IY, CH);
        END;
      END;
    END;
  END;

```



```

IF CUMEN THEN
  BEGIN
    WRITE(TTY, 'U(' , I:2, ' , J:2, ') = ' ) ; BREAK;
    READ(TTY, A(I, J))
  END

ELSE
  BEGIN
    WRITE(TTY, 'Q(' , I:2, ' , J:2, ') = Q(' , J:2, ' , I:2, ') = ' , A(I, J), ' ? (S OU N) = ' ) ; BREAK;
    READ(TTY, CH)
    IF CHEN 'N' THEN
      BEGIN
        WRITE(TTY, 'O(' , I:2, ' , J:2, ') = O(' , J:2, ' , I:2, ') = ' , A(I, J), ' ? (S OU N) = ' ) ; BREAK;
        READ(TTY, A(I, J))
        IF CHEN 'S' THEN
          WRITE(TTY, 'A(' , I, J)
        END
      END
    END

END;

END;

**RITELN
END
END
END; (* DER MATRIZ *)

PROCEDURE ESCFMATRIZ(MO:INTEGER;
  CUSCAR:
  VAR A:MATRIZ);
VAR
  I, J:1..N;
BEGIN
  WRITELN(TTY)
  CASE CH OF
    'Q': WRITELN(TTY, 'MATRIZ DE PONDERAÇÃO DOS ESTADOS');
    'O': WRITELN(TTY, 'MATRIZ DE DESEMPENHO');
  END;
  FOR I:=1 TO OPD DO
    BEGIN
      WRITE(TTY, ' ( ' ) ;
      FOR J:=1 TO UND DO
        WRITE(TTY, A(I, J));
      WRITELN(TTY, ' )' )
    END;
  WRITELN(TTY);
  ESCRIVER MATRIZ (*)
END;

PROCEDURE ESCVL(OPD:INTEGER;
  VAR A:VETOR);
VAR
  I:1..N;
BEGIN
  WRITELN(TTY);
  FOR I:=1 TO OPD DO
    WRITE(TTY, ' ( ' ) ;
    FOR J:=1 TO UND DO
      WRITE(TTY, A(I, J));
    WRITELN(TTY, ' )' ) ;
  END;
  ESCRIVER VETOR LIGHA (*)
END;

```

UNIVERSIDADE FEDERAL DA PARAÍBA  
Pró-Reitoria Para Assuntos do Interior  
Coordenação Setorial de Pós-Graduação  
Rua Aprigio Veloso, 882 - Tel. (083) 321-7222-R 355  
58.100 - Campina Grande - Paraíba





```

PROCEDURE ESCVC(ORD:INTEGER;
VAR MATRIZ);
VAR
  I:1..N;
BEGIN
  WRITELN(ITY);
  FOR I:=1 TO ORD DO
    WRITELN(ITY, ' ', ALLI, ' ');BREAK
  END; (* ESCREVE VEZES COLUNA *)
PROCEDURE ZEREMATRIZ(ORD:INTEGER;
VAR A :MATRIZ);
VAR
  I,J:1..N;
BEGIN
  FOR I:=1 TO ORD DO
    FOR J:=1 TO ORD DO
      A[I,J]:=0
    END; (*ZERAR MATRIZ*)
PROCEDURE IGUALM(ORD:INTEGER;
B:MATRIZ;
VAR A:MATRIZ);
VAR
  I,J:1..N;
BEGIN
  FOR I:=1 TO ORD DO
    FOR J:=1 TO ORD DO
      A[I,J]:=B[I,J]
    END; (* IGUALAR MATRIZES *)
PROCEDURE MTRFANSP(ORD:INTEGER;
B:MATRIZ;
VAR A:MATRIZ);
VAR
  I,J:1..N;
BEGIN
  FOR I:=1 TO ORD DO
    FOR J:=1 TO ORD DO
      A[I,J]:=B[J,I]
    END; (* TRANSPOSTA DE UMA MATRIZ *)
PROCEDURE SOMAM(ORD:INTEGER;
B,C:MATRIZ;
VAR A:MATRIZ);
VAR
  I,J:1..N;
BEGIN
  FOR I:=1 TO ORD DO
    FOR J:=1 TO ORD DO
      A[I,J]:=B[I,J]+C[I,J]
    END; (* SOMAR MATRIZES *)
PROCEDURE SUBTRAIM(ORD:INTEGER;
B,C:MATRIZ;
VAR A:MATRIZ);

```



```

VAR
  I,J:1..N;

BEGIN
  FOR I:=1 TO OPD DO
    FOR J:=1 TO ORD DO
      ALL(J):=(I,J)-Z(I,J)
    END; (* SUBTRAIR MATRIZES *)
  PROCEDURE MULTVETIN(ORD:INTEGER;
    R,C:VECTOR;
    VAR A:REAL);
  VAR
    I:1..N;
    SOMA:REAL;
  BEGIN
    SOMA:=0.0;
    FOR I:=1 TO ORD DO
      SOMA:=SOMA+D(I)*C(I);
    END; (* MULTIPLICAR VETORES IxM Nxi *)
  PROCEDURE MULTVETIN(ORD:INTEGER;
    P,C:VECTOR;
    VAR A:MATRIZ);
  VAR
    I,J:1..N;
  BEGIN
    FOR I:=1 TO ORD DO
      FOR J:=1 TO ORD DO
        A(I,J):=(I)*C(J)
      END; (* MULTIPLICAR VETORES Nxi IxM *)
    PROCEDURE MULTVETIN(ORD:INTEGER;
      B:REAL;
      C:VECTOR;
      VAR A:VECTOR);
  VAR
    I:1..N;
  BEGIN
    FOR I:=1 TO ORD DO
      A(I):=B*C(I)
    END; (* MULTIPLICAR VETOR POR CONSTANTE *)
  PROCEDURE MULTVETIN(ORD:INTEGER;
    R:VECTOR;
    C:MATRIZ;
    VAR A:VECTOR);
  VAR
    I,J:1..N;
    SOMA:REAL;
  
```



```
BEGIN
FOR I:=1 TO ORD DO
  BEGIN
  S0:=0.0;
  FOR J:=1 TO ORD DO
    S0:=S0+A*(J),C(J,I);
  A(I):=S0;
  END
END; (* MULTIPLICAR VETOR POR MATRIZ (XN *)

PROCEDURE MULTIZEN(O:ORD;INTEGER;
  B,C:MATRIZ;
  VAR A:MATRIZ);
VAR
  I,J,K:1..N;
  S0:REAL;
BEGIN
FOR I:=1 TO ORD DO
  FOR J:=1 TO ORD DO
    BEGIN
    S0:=0.0;
    FOR K:=1 TO ORD DO
      S0:=S0+A*(I,K)*C(K,J);
    A(I,J):=S0;
    END
  END
END; (* MULTIPLICAR MATRIZES *)

PROCEDURE TESTOV(O:ORD;INTEGER;
  C:MATRIZ;
  VAR CON:BOOLEAN;
  VAR M:MATRIZ);
VAR
  I,J:1..N;
  CONVER:CONVER;
BEGIN
FOR I:=1 TO ORD DO
  FOR J:=1 TO ORD DO
    BEGIN
    IF (ABS(C(I,J)-A(I,J))<EPS) THEN
      CONVER(I,J):=TRUE
    ELSE
      CONVER(I,J):=FALSE;
    M(I,J):=C(I,J);
    END
  END
END; (* TESTAR CONVERGÊNCIA E ATUALIZAR MATRIZ *)

PROCEDURE CALCULEN(O:ORD;INTEGER;
  P:REAL;V:VECTOR;
  CO:MATRIZ; VAR PP:REAL;
  VAR VS:VECTOR; VAR MA:MATRIZ);
VAR
  V1:VECTOR;
  PP1:REAL;
```





```
WRITELN(T1);
CASE T1 OF
  'R': BEGIN
    WRITELN(T1, 'VELOC. GROSSA DO COMPUTADOR (s)');
    ESCVA(COEFM, VTRCAMH);
  END;
  'M': BEGIN
    WRITELN(T1, 'VELOC. DO REALIMENTAÇÃO DO OBSERVADOR (s)');
    ESCVA(COEFM, VTRCAMH);
  END;
END;

PROCEDURE VALOPPOLINOMIO(PONTO, Z, X1, NO: REAL;
  VAR B1, B0, VALOR: REAL);
BEGIN
  B1:=Z + PONTO;
  B0:=X1+PONTO*B1;
  VALOR:=B0+PONTO*B1;
  END;(* CALCULA VALOR DO POLINOMIO *)

FUNCTION VALORDEPRIVADA(PONTO, B1, B0: REAL): REAL;
VAR C1: REAL;
BEGIN
  VALORDEPRIVADA:=3*PONTO*(PONTO)+2*B1*PONTO+B0;
  END;(* CALCULA VALOR PARA A DERIVADA NO PONTO *)

PROCEDURE RAIZESSEG(B1, P0: REAL;
  VAR R1, R2: COMPLEX);
VAR DELTA: REAL;
BEGIN
  DELTA:=SQRT(M1)-4*B0;
  R1(1):=2.0;
  R2(1):=0.0;
  IF DELTA=0.0 THEN
    BEGIN
      IF B1 > 0.0 THEN
        R1(1):= (-B1-SQRT(DELTA))/2.0;
      ELSE
        R1(1):= (-B1+SQRT(DELTA))/2.0;
        R2(1):=B0/R1(1);
      END;
    END;
  ELSE
    BEGIN
      R1(1):=SQRT(-DELTA)/2.0;
      R2(1):=-R1(1);
      R1(2):=-1/2;
      R2(2):=R1(2);
    END;
  END;(* RESOLUCAO DA EQUACAO QUADRATICA *)
```





```

VAR
  A2,A1,A0,S1,R0:REAL;
  REPEAT:(5,6);
BEGIN
  A2:=-A[1,1]*A[2,2]-A[1,3];
  A1:=A[1,1]*A[1,3] + A[2,2]*A[3,3] + A[1,1]*A[1,3] + A[1,2]*A[2,1];
  A0:= -(A[3,3]*A[2,1]+A[1,1] + A[3,1]*A[1,3] + A[3,1]*A[1,3]) + A[2,2];
  REPEAT IF S;
  WHILE REPEAT = 5 OU
  BEGIN
    RAIZNEWTON(A2,A1,A0,S1,R0,PAIZ1,PAIZ2);
    RAIZSEGGER(A0,PAIZ1,PAIZ2);
    WRITELN(TY, 'AUTOVALOR 1 = ',PAIZ1(1), ' + J ',PAIZ1(I));
    WRITELN(TY, 'AUTOVALOR 2 = ',PAIZ2(1), ' + J ',PAIZ2(I));
    WRITELN(TY, 'AUTOVALOR 3 = ',PAIZ3(1), ' + J ',PAIZ3(I));
    WRITELN(TY);
    WRITE(TY, 'REPETIR CALCULO DOS AUTOVALORES ? (S OU N) ');
  END;
  END;(* DETERMINACAO DOS AUTOVALORES *)

PROCEDURE SOMAR(R1,R2:COMPLEXO;
  VAR R3:COMPLEXO);
BEGIN
  R3(1):=R1(1)+R2(1);
  R3(2):=R1(2)+R2(2);
  END;(* SOMAR COMPLEXOS *)

PROCEDURE MULTI(R1,R2:COMPLEXO;
  VAR R3:COMPLEXO);
BEGIN
  R3(1):=R1(1)*R2(1) - R1(2)*R2(2);
  R3(2):=R1(1)*R2(2) + R2(1)*R1(2);
  END;(* MULTIPLICAR COMPLEXOS *)

PROCEDURE DIVID(R1,R2:COMPLEXO;
  VAR R3:COMPLEXO);
VAR
  D:REAL;
  W:COMPLEXO;
BEGIN
  W(1):=R2(1);
  W(2):=R2(2);
  IF W(1) <= 0 THEN
    BEGIN
      MULTI(R1,W);
      R3(1):=R1(1)/W(1);
      R3(2):=R1(2)/W(2);
    END
  ELSE
    BEGIN
      WRITELN(TY, 'DIVISAO POR ZERO - COMPLEXO !');
      WRITELN(TY, DUMMY);
    END
  END;(* DIVISAO DE COMPLEXOS *)

```







```

P(3,P):=1.0;
P(3,J):=0.0;
P(2,2):=0.4;
P(3,3):=0.2;
SUBTR(P(1,1),P(3,3),C(3,3),AUX1);
DIVID(AUX1,C(3,2),P(2,2));
MULTI(C(1,2),P(2,2),AUX1);
SUBTR(P(1,1),AUX1,AUX2);
SUBTR(C(2,2),C(1,2),AUX1);
DIVID(AUX1,C(1,1),P(1,1));
END

ELSE
WRITELN('PROBLEMA COM AUTOVETORES = C(2,2) = 0.0');
END; (* RESOLVER EQUACAO DE AUTOVETORES *)

PROCEDURE DISTAUTOVETORES(RAIZ1,RAIZ2,RAIZ3:COMPLEXO;
A:MATRIZ;
VAR V:CMATRIZ);
VAR
J:INTEGER;
AUX,AV1,AV2,AV3:CVETOR;
BEGIN
FOR J:=1 TO ORDEN DO
BEGIN
AUX(J,0):=0.0;
AUX(J,1):=0.0;
END;
AUTOVETOR(RAIZ1,AUX,AV1);
AUTOVETOR(RAIZ2,AUX,AV2);
AUTOVETOR(RAIZ3,AUX,AV3);
FOR J:=1 TO ORDEN DO
BEGIN
IGUAL(AV1(J),V(J,1));
IGUAL(AV2(J),V(J,2));
IGUAL(AV3(J),V(J,3));
END;
END; (* AUTOVETORES DISTINTOS *)

PROCEDURE IGUALVETORES(M:INTEGER;
RAIZ1,RAIZ2,RAIZ3:COMPLEXO;
A:MATRIZ;
VAR V:CMATRIZ);
VAR
A,J:INTEGER;
AUX,AV1,AV2,AV3:CVETOR;
BEGIN
FOR J:=1 TO ORDEN DO
BEGIN
AUX(J,0):=0.0;
AUX(J,1):=0.0;
END;
IF NUM=1 THEN
BEGIN
AUTOVETOR(RAIZ1,AUX,AV1);
AUTOVETOR(RAIZ2,AUX,AV2);
FOR J:=1 TO ORDEN DO
MULTI(AV2(J),AUX(J));
AUTOVETOR(RAIZ3,AUX,AV3)
END;
END
END

```





```

ELSE
  IF NUM=2 THEN
    BEGIN
      AUTOVECTOR(RAIZ2,AUX,A,AV1);
      AUTOVECTOR(RAIZ1,AUX,A,AV2);
      FOR J:=1 TO ORDER DO
        MENOS(AV1(J),AUX(J));
      AUTOVECTOR(RAIZ3,AUX,A,AV3)
    END
  ELSE
    IF NUM=3 THEN
      BEGIN
        AUTOVECTOR(RAIZ1,AUX,A,AV1);
        AUTOVECTOR(RAIZ2,AUX,A,AV2);
        FOR J:=1 TO ORDER DO
          MENOS(AV2(J),AUX(J));
        AUTOVECTOR(RAIZ3,AUX,A,AV3)
      END
    ELSE
      IF NUM=4 THEN
        BEGIN
          AUTOVECTOR(RAIZ1,AUX,A,AV1);
          FOR J:=1 TO ORDER DO
            MENOS(AV1(J),AUX(J));
          AUTOVECTOR(RAIZ2,AUX,A,AV2);
          FOR J:=1 TO ORDER DO
            MENOS(AV2(J),AUX(J));
          AUTOVECTOR(RAIZ3,AUX,A,AV3)
        END
      FOR J:=1 TO ORDER DO
        BEGIN
          IGUAL(AV1(J),V1(J));
          IGUAL(AV2(J),V2(J));
          IGUAL(AV3(J),V3(J));
        END
      END; (* AUTOVLOPES IGUAIS *)
PROCEDURE PAUTOVECTORES(RAIZ1,RAIZ2,RAIZ3:COMPLEXO);
  A:MATRIZ;
  VAR AV1:COMPLEXO;
CONST
  CONVERG=1.E-12;
VAR
  J,K,NUM:INTEGER;
BEGIN
  IF ( ABS(RAIZ1(R) - RAIZ2(R)) <= CONVERG ) AND ( ABS(RAIZ1(I) - RAIZ2(I)) <= CONVERG ) AND ( ABS(RAIZ1(J) - RAIZ2(J)) <= CONVERG ) AND ( ABS(RAIZ1(R) - RAIZ3(R)) <= CONVERG ) AND ( ABS(RAIZ1(I) - RAIZ3(I)) <= CONVERG ) AND ( ABS(RAIZ1(J) - RAIZ3(J)) <= CONVERG ) ) THEN
    NUM:=1
  ELSE
    IF ( ABS(RAIZ1(R) - RAIZ2(R)) <= CONVERG ) AND ( ABS(RAIZ1(I) - RAIZ2(I)) <= CONVERG ) ) THEN
      NUM:=2
    ELSE
      IF ( ABS(RAIZ2(R) - RAIZ3(R)) <= CONVERG ) AND ( ABS(RAIZ2(I) - RAIZ3(I)) <= CONVERG ) ) THEN
        NUM:=3
      ELSE
        NUM:=4
      PAUTOVECTORES(RAIZ1,RAIZ2,RAIZ3,A,AV1);
  END

```



```

SUBT(AUX1,AUX2,INVP(3,1));
MULTI(P(1,2),P(3,3),AUX1);
MULTI(P(1,3),P(3,2),AUX2);
SUBT(AUX1,AUX2,AUX3);
MENS(AUX3,INVP(1,2));
MULTI(P(1,1),P(3,3),AUX1);
MULTI(P(1,3),P(1,3),AUX2);
SUBT(AUX1,AUX2,INVP(2,2));
MULTI(P(1,1),P(3,2),AUX1);
MULTI(P(1,3),P(1,2),AUX2);
SUBT(AUX1,AUX2,AUX3);
MENS(AUX3,INVP(3,2));
MULTI(P(1,2),P(2,3),AUX1);
MULTI(P(2,2),P(1,3),AUX2);
SUBT(AUX1,AUX2,INVP(1,3));
MULTI(P(1,1),P(2,3),AUX1);
MULTI(P(2,2),P(1,3),AUX2);
SUBT(AUX1,AUX2,AUX3);
MENS(AUX3,INVP(2,3));
MULTI(P(1,1),P(2,2),AUX1);
MULTI(P(2,2),P(1,2),AUX2);
SUBT(AUX1,AUX2,INVP(3,3));
FOR J:=1 TO ORDER DO
  FOR K:=1 TO ORDER DO
    BEGIN
      DIVID(I*VP(J,K),DEFK*I,AUX1);
      IGUARD(AUX1,INVP(J,K))
    END
  END
ELSE
  BEGIN
    WRITELN('Y, MATRIZ DE AUTOVALORES NAO NUMERIC INVERSA');BREAK
  END;
WRITELN('Y');
(*RIELLY(CITY, INVERSA DA MATRIZ DOS AUTOVALORES*);
FOR J:=1 TO ORDER DO
  BEGIN
    WRITE(CITY, ' ');
    FOR K:=1 TO ORDER DO
      PIR(CITY, INVP(J,K,1), + , INVP(J,K,1), ' J');
    WRITELN(CITY, ' ');
  END;
END; (* INVERSA DE MATRIZ COMPLEXA *)
PROCEDURE MULTIMATRIZ(X,Y:COMPLEXA);
VAR Z:COMPLEXA;
VAR
  J,K,L:INTEGER;
  AJA,AAJ1,AUX2:COMPLEXA;
BEGIN
  FOR J:=1 TO ORDER DO
    FOR L:=1 TO ORDER DO
      BEGIN
        AUX(L):=0.0;
        AUX(L):=0.0;
        FOR K:=1 TO ORDER DO
          BEGIN
            MULTI(X(J,K),Y(L,K),AUX);
            SOMA(AUX,AUX1,AUX2);
            IGUARD(AUX2,AUX)
          END
        END
      END
    END
  END

```

```

      (00)
      IGUAL(AUX2,Z(J,L))
      END
END; (* MULTIPLICAR MATRIZES COMPLEXAS *)

PROCEDURE MULTIMM(X:CVETOR;
  X1:CMATRIZ;
  VAR Z:CVETOR);
VAR
  J,N:INTEGER;
  AUX,AUX1,AUX2:COMPLEXO;
BEGIN
  FOR J:=1 TO ORDEN DO
    BEGIN
      AUX(RJ)=0.0;
      AUX(IJ)=0.0;
      FOR K:=1 TO ORDEN DO
        BEGIN
          MULTI(X(J,K),Y(K),AUX1);
          SOMA(AUX,AUX1,AUX2);
          IGUAL(AUX2,AUX)
        END;
      IGUAL(AUX2,Z(J))
    END
  END;(* MULTIPLICAR MATRIZ POR VETOR COMPLEXO *)

PROCEDURE MULTVM(X:CVETOR;
  X1:CMATRIZ;
  VAR Z:CVETOR);
VAR
  J,N:INTEGER;
  AUX,AUX1,AUX2:COMPLEXO;
BEGIN
  FOR J:=1 TO ORDEN DO
    BEGIN
      AUX(RJ)=0.0;
      AUX(IJ)=0.0;
      FOR K:=1 TO ORDEN DO
        BEGIN
          MULTI(X(K),Y(K),AUX1);
          SOMA(AUX,AUX1,AUX2);
          IGUAL(AUX2,AUX)
        END;
      IGUAL(AUX2,Z(J))
    END
  END;(* MULTIPLICAR VETOR POR MATRIZ COMPLEXA *)

PROCEDURE TRANSFILEG(J1:EMK;K2:MS:CVETOR;
  X1:CMATRIZ;
  VAR X2:CVETOR);
VAR
  AUX1,AUX2,AUX3:COMPLEXO;
BEGIN
  MULTI(KOS(I1),MS(I1),AUX1);
  MULTI(KOS(I2),MS(I2),AUX2);
  SOMA(AUX1,AUX2,X3);
  MULTI(KOS(I1),MS(I1),AUX1);
  MULTI(KOS(I2),MS(I2),AUX2);
  SOMA(AUX1,AUX2,X3);
  MULTI(KOS(I1),MS(I1),X3);
  MULTI(KOS(I2),MS(I2),X3);

```



```

MULTI(AUX1,AJ(2,Z),AUX2)
MULTI(KDS(2),AS(2),AUX1)
MULTI(AUX1,AJ(1),AUX3)
SUBTR(KM(4),AUX2,AUX1)
SUBTR(AUX1,AUX3,KM(2))
MULTI(KDS(3),AS(3),KDF(1))
END(* TRANSPORÇÃO LINCR DO GRAFICO DE FUND DE SINUS *)

PROCEDURE INVERMTRIZ(C:MATRIZ;
VAR IN:MATRIZ);
CONST
CONVERG=1.E-30;
VAR
DETERMINANTE:REAL;
J,DET:INTEGER;
BEGIN
DETERMINANTE:=C(1,1)*C(2,2)*C(3,3) + C(1,2)*C(3,1) + C(2,1)*C(3,2)*C(1,3) - C(2,1)*C(1,2)*C(3,3) - C(1,1)*C(3,2)*C(2,3) - C(1,3)*C(2,1)*C(3,1);
IF ABS(DETERMINANTE) >= CONVERG THEN
BEGIN
IA(1,1):=C(1,1)*C(3,3) - C(2,1)*C(3,2);
IA(2,1):=-C(2,1)*C(3,3) - C(3,1)*C(2,2);
IA(3,1):=C(2,1)*C(3,2) - C(3,1)*C(2,2);
IA(1,2):=-C(1,2)*C(3,3) - C(1,3)*C(3,2);
IA(2,2):=C(1,1)*C(3,3) - C(3,1)*C(1,3);
IA(3,2):=-C(1,1)*C(3,2) - C(3,1)*C(1,2);
IA(1,3):=C(1,2)*C(2,3) - C(2,2)*C(1,3);
IA(2,3):=-C(1,1)*C(2,3) - C(2,2)*C(1,3);
IA(3,3):=C(1,1)*C(2,2) - C(2,1)*C(1,2);
FOR J:=1 TO ORDEN DO
FOR LI:=1 TO ORDEN DO
IA(J,LI):=IA(J,LI)/DETERMINANTE
END
ELSE
WRITELN('TRY, INVERSA DE A-RY NAO EXISTE');
END;(*CALCULAR INVERSA DE A-R*)

PROCEDURE KADFAGETA(INVAMM:MATRIZ;
VAR F0:REAL;
VAR AUPA, BETA:VETOR);
CONST
CONVERG=1.E-30;
VAR
L, J:INTEGER;
AUX1, AUX2:MATRIZ;
KM, M:VETOR;
PQRS:REAL;
BEGIN
FOR J:=1 TO ORDEN DO
AUX1(1, J):=0.0;
FOR J:=1 TO ORDEN DO
AUX2(1, J):=INVAMM(1, J);
MULTIPLY(KM, AUPA, AUPA, INVAMM, INVAMM, AUX2);
FOR J:=1 TO ORDEN DO
AUX1(3, J):=AUX2(1, J);
FOR L:=1 TO ORDEN DO
FOR J:=1 TO ORDEN DO
AUX2(L, J):=AUX1(L, J);

```



UNICAMP  
Centro de Computação

UNIVERSIDADE FEDERAL DA PARAÍBA  
Pró-Reitoria Para Assuntos do Interior  
Coordenação Setorial de Pós-Graduação  
Rua Aprígio Veloso, 882 - Tel. (083) 321-7222-R 355  
58.100 - Campina Grande - Paraíba

```

IF ABS(AUX2(2,2)) > CONVERG THEN
  BEGIN
    AUA(3,3):=AUX2(3,3) - AUX2(3,2)*AUX2(2,3)/AUX2(2,2);
    IF ABS(AUX2(3,3)) > CONVERG THEN
      BEGIN
        KUH(3):=(F(3) - H(2)*AUX2(2,3)/AUX2(2,2))/AUX2(3,3);
        KUH(2):=(F(2) - AUX2(3,2)*KUH(3))/AUX2(2,2);
        KUH(1):=(K(1) - AUX2(2,1)*KUH(2) - AUX2(3,1)*KUH(3))
          END
      END
    END
  END
  BEGIN
    APTITUDE, DOS PARÂMETROS DA SÉRIE NÃO EXISTEM
  END
ELSE
  IF (ABS(AUX2(3,2)) >= CONVERG) AND (ABS(AUAZ(2,3)) >= CONVERG) THEN
    BEGIN
      KUH(3):=K(3)/AUAZ(3,2);
      KUH(2):=(F(2) - AUX2(3,2)*KUH(3))/AUX2(2,2);
      KUH(1):=(K(1) - AUX2(2,1)*KUH(2) - AUX2(3,1)*KUH(3))
      END
    END
  ELSE
    APTITUDE, DOS PARÂMETROS DA SÉRIE NÃO EXISTEM
  END
  BEGIN
    KDF=KUH(1);
    H(1):=F(0);
    H(2):=F(1)+KDF;
    H(3):=KUH(3)+F(2)
  END
ELSE
  IF ABS(KUH(2)) >= CONVERG THEN
    BEGIN
      KDF=KUH(2);
      H(1):=F(0);
      H(2):=F(1)+KDF;
      H(3):=KUH(3)+F(2)
    END
  ELSE
    BEGIN
      KDF=1.0;
      H(1):=F(0);
      H(2):=F(1)+KDF;
      H(3):=KUH(3)
    END;
    (*CALCULO DE ALFA E BETA*)
    APTITUDE, DOS PARÂMETROS DO REGULADOR DIÁVITO ?
    APTITUDE, (MULTIPLICAÇÃO 2 É PROXIMO DE ZERO) = 'SKEAF';
    REACTIVIDADE;
    BETA(1):=-2*PULUS;
    BETA(2):=5*(PULUS);
    ALFA(1):=BETA(1) + H(2);
    ALFA(2):=BETA(2) + H(3) + BETA(1)*H(2)
  END (*CALCULO DE AD ALFA E BETA *)
  (*CONÇO DO PROGRAMA *)
  BEGIN
    APTITUDE, PROGRAMA PARA O PROJETO DOS CONTROLADORES DIÁVITO;
    APTITUDE(1);
    APTITUDE(1);
    APTITUDE(1);
    APTITUDE(1);
    APTITUDE(1);
    APTITUDE(1);
  END

```







```

WRITE(ITY, A=RESVAD(K,I))
WRITE(ITY, ' J')
END
WRITE(ITY, *)
FOR K=1 TO ORDER DD
FOR L=1 TO ORDER DD
AVENOSK(I, L)=AMMAMPDI(K, L)
END
AUTOVALDES(AVENOSK, AUTOVAL1, AUTOVAL2, AUTOVAL3)
PANTVIADES(AUTOVAL1, AUTOVAL2, AUTOVAL3, AVENOSK, *TZAUTOVEITORES)
PIMVLSR(*TZAUTOVEITORES, INVERSAP)
FOR J=1 TO ORDER DD
FOR K=1 TO ORDER DD
RESIN
CAMENOSK(J, K, RI)=AMENOSK(I, K)
CAMENOSK(J, K, IJ)=0.0
END
MULTIPLIEN(CAMENOSK, *TZAUTOVEITORES, AMKVZP)
MULTIPLIEN(INVERSAP, AMKVZP, MIZJORDAN)
WRITE(ITY, *)
WRITE(ITY, *TRIZ NA FORMA DIAGONAL OU DE JORDAN)
FOR J=1 TO ORDER DD
BEGIN
WRITE(ITY, ' J')
END
WRITE(ITY, *)
FOR J=1 TO ORDER DD
MFS(J, P)=VTPDSESVADOR(I, J)
MFS(I, I)=0.0
END
MULTIPLIEN(INVERSAP, VTRJORDAN)
WRITE(ITY, *VETOR DE EVLADA DA FORMA DIAGONAL OU DE JORDAN)
FOR J=1 TO ORDER DD
WRITE(ITY, ' VTRJORDAN(J, I) + ', VTRJORDAN(J, I), ' J ')
FOR J=1 TO ORDER DD
BEGIN
VTRJORDAN(J, I)=TZAUTOVEITORES(I, J, I)
VTRJORDAN(I, I)=TZAUTOVEITORES(I, J, I)
END
MULTIPLIEN(CAMENOSK, VTRJORDAN, VTRDSESVADOR, GAMDUIPETO)
GAMDUIPETO=-GAMDUIPETO
FOR J=1 TO ORDER DD
BEGIN
VTRGAMDUIP(J, I)=VTRGAMDUIP(J, I)
VTRGAMDUIP(I, I)=0.0
END
MULTIPLIEN(CVTRGAMDUIP, AMKVZP, CGAMDUIPETADO)
WRITE(ITY, *)
FOR J=1 TO ORDER DD
WRITE(ITY, ' J')
WRITE(ITY, *)
WRITE(ITY, *)
WRITE(ITY, *PARAMETROS DO CONTROLADOR DIGITAL OTIMO COM DESVADOUR)
IF IPDSESVADOUR=1 THEN
WRITE(ITY, * COM HEADMENTACAO )
ELSE

```





5 NXT56 MOV A,B  
 CPI 01H ;NEGATIVO  
 JNZ SFIM6  
 MVI H,07FH ;OVERFLOW POSITIVO

Press RETURN to Continue  
 MVI L,DFCH

SFIM6 SHLD X1KMS1 ;FIM DE SOMA

;UPDATE VARIÁVEIS DE ESTADO

LHL D X1K  
 SHLD X2K  
 LHL D X1KMS1  
 SHLD X1K

;GERAÇÃO DA ENTRADA DE COMANDO

LHL D SPR  
 DCX H  
 SHLD SPR  
 MOV A,H  
 ANA A  
 JNZ CONTIN  
 MOV A,L  
 ANA A

Press RETURN to Continue

JNZ CONTIN  
 LHL D SP1  
 SHLD SPR  
 LDA CHAVE  
 CPI ZERO  
 JZ SOME3  
 JMP SUBT3

SURT3 MVI A,ZERO  
 STA CHAVE  
 LHL D AMP  
 LDA WENTR  
 SUB L  
 STA WENTR  
 LDA WENTR+1  
 SBB H  
 STA WENTR+1  
 JMP CONTIN

SOME3 MVI A,01  
 STA CHAVE  
 LHL D AMP  
 XCHG

Press RETURN to Continue  
 LHL D WENTR  
 DAD D  
 SHLD WENTR  
 JMP CONTIN

CONTIN HLT



UNICAMP-FEC  
 LABORATÓRIO  
 DE  
 SIMULAÇÃO

APÊNDICE A7 - CONTROLADOR II

UNIVERSIDADE FEDERAL DA PARAIBA  
Pró-Reitoria Para Assuntos do Interior  
Coordenação Setorial de Pós-Graduação  
Rua Aprigio Veloso, 882 - Tel. (083) 321-7222-R 355  
58.100 - *Campina Grande - Paraíba*

PROGRAMA CONTROLADOR II

AUTOR: PERICLES REZENDE BARROS

TESE DE MESTRADO EM ENGENHARIA ELETRICA APRESENTADA NA  
UNIVERSIDADE FEDERAL DA PARAIBA  
CENTRO DE CIENCIAS E TECNOLOGIA  
DEPARTAMENTO DE ENGENHARIA ELETRICA  
CAMPINA GRANDE - PARAIBA

E DESENVOLVIDA NA  
UNIVERSIDADE ESTADUAL DE CAMPINAS  
FACULDADE DE ENGENHARIA DE CAMPINAS  
DEPARTAMENTO DE ENGENHARIA ELETRICA  
CAMPINAS - SAO PAULO

PROGRAMA CONTROLADOR

SÍMBOLOS USADOS

DACONV EQU 80H ; ENDERECO CONVERSOR D/A  
LTIMER EQU 034H ; PERIODO DE  
HTIMER EQU 2DH ; AMOSTRAGEM  
TIMER EQU 50H ; ENDERECO CONTO

Press RETURN to Continue

CNTWRD EQU 53H ; ENDERECO CONTROL WORD  
UPADDR EQU 51H ; ENDERECO CONT1  
DWADDR EQU 52H ; ENDERECO CONT2  
CONTUP EQU 100H ; CONTAGEM UP  
CONTDW EQU 102H ; CONTAGEM DOWN  
LTCHUP EQU 40H  
LTCHDW EQU 80H  
OLDUP EQU 104H  
OLDDW EQU 106H  
DESLUP EQU 108H ; DESLOCAMENTO POSITIVO  
DESLDW EQU 10AH ; DESLOCAMENTO NEGATIVO  
DESTOT EQU 10CH ; DESLOCAMENTO TOTAL NO PERIODO  
DESL0C EQU 122H ; DESLOCAMENTO TOTAL  
ERRO EQU 10EH  
WENTR EQU 110H ; ENTRADA DE COMANDO  
XIKMS1 EQU 118H  
X1K EQU 112H  
X2K EQU 114H  
UK EQU 11AH  
UKMS1 EQU 116H  
DIFER EQU 11CH  
INICIA EQU 8000H  
RSTADD EQU 0100H

Press RETURN to Continue

TRPADD EQU 0024H ; 8085 = 0024H Z80 = 0065H  
INITIM EQU 34H ; INICIALIZACAO TIMER MODO 2  
INITUP EQU 70H ; INICIALIZACAO CONT1 MODO 0  
INITDW EQU 080H ; INICIALIZACAO CONT2 MODO 0  
ZERO EQU 00H  
DZERO EQU 0000H  
ATRITO EQU 10FH

AMP EQU 120H  
SP1 EQU 124H  
SP1 EQU 126H  
CHAVE EQU 12BH

;R  
HCOEF2 EQU 0A8H  
LCOEF2 EQU 58H  
;K1  
HCOEF3 EQU 00FH  
LCOEF3 EQU 0FBH

Press RETURN to Continue

;K2  
HCOEF4 EQU 0EH  
LCOEF4 EQU 08H  
;LAMBDA1  
HCOEF5 EQU 00CH  
LCOEF5 EQU 58H  
;LAMBDA2  
HCOEF6 EQU 0FDH  
LCOEF6 EQU 7DH

INICIALIZACAO

ORG RSTADD  
RSTADD JMP INICIA

ORG TRPADD  
TRPADD JMP CONTR

ORG INICIA  
INICIA MVI A, 080H ; ZERAR D/A  
OUT DACONV

Press RETURN to Continue

INICIALIZAR CONTADORES  
MVI A, INITIM ; CONTO INICIALIZADO  
OUT CNTWRD  
MVI A, INITUP ; CONT1 INICIALIZADO  
OUT CNTWRD  
MVI A, INITDW ; CONT2 INICIALIZADO  
OUT CNTWRD

PROGRAMAR CONTADORES UP E DOWN

MVI A, LTCHUP ; LATCH C1  
OUT CNTWRD  
MVI A, LTCHDW ; LATCH C2  
OUT CNTWRD  
IN UPADDR  
STA CONTUP  
STA OLDUP  
IN UPADDR  
STA CONTUP+1  
STA OLDUP+1  
LHLD OLDUP  
DCX H

UNICAMP-PEC  
LABORATORIO  
DE  
SIMULACAO

```

OUT      UPADDR      ;CONTAGEM UP PROGRAMADA
IN       DWADDR
STA      CONTDW
STA      OLDDW
IN       DWADDR
STA      CONTDW+1
STA      OLDDW+1
LHLD    OLDDW
DCX     H
MOV     A,L
OUT     DWADDR
MOV     A,H
OUT     DWADDR      ;CONTAGEM DOWN PROGRAMADA

ZERAR VARIAVEIS
LXI     H,DZERO
SHLD   X1K
SHLD   X2K
SHLD   WENTR

Press RETURN to Continue
SHLD   ERRO
SHLD   UK
SHLD   UKMS1
SHLD   DESLOC

;INICIALIZACAO DE FEEDFORWARD PARA COMPENSAR ATRITO DE COULOMB
MVI    A,ATRCOU
STA    ATRITO

;INICIALIZACAO DO GERADOR DE COMANDOS
LXI    H,AMPLT
SHLD  AMP
LXI    H,SUBPER
SHLD  SPR
SHLD  SPI
MVI    A,ZERO
STA    CHAVE
JMP   CONTR

;CONTROLADOR
Press RETURN to Continue
ORG CONTR

;ESCREVER SAIDA DE CONTROLE
CONTR  LDA    ERRO+1      ;TESTAR SENTIDO DE VELOCIDADE
      CPI    ZERO
      JN    NEGFR
      JNZ    POSER
      LDA    ERRO
      CPI    ZERO
      JZ    ZERERR
      LDA    UKMS1+1
      ADI    OUTHMAX
      JP    POSATR
      MVI    A,080H
      JMP   OUTPUT

      LDA    ERRO+1
      CPI    ZERO
      JN    NEGFR
      JNZ    POSER
      LDA    ERRO
      CPI    ZERO
      JZ    ZERERR
      LDA    UKMS1+1
      ADI    OUTHMAX
      JP    POSATR
      MVI    A,080H
      JMP   OUTPUT

```

```

SUB     M
JMP     OUTPUT
NEGER  LDA    UKMS1+1
      SBI    OUTHMAX

Press RETURN to Continue
JM     NEGATR
MVI    A,7FH
JMP   OUTPUT
NEGATR LDA    UKMS1+1
      LXI    H,ATRITO
      ADD   M
      JMP   OUTPUT

ZERERR LDA    UKMS1+1

OUTPUT XRI    080H      ;COMPLEMENTE A7
      OUT   DACONV      ;CONVERSOR D/A RESCRITO

      LXI    SP,9FFFH   ;STACK POINTER CONHECIDO

;PROGRAMAR TIMER
MVI    A,LTIMER
OUT   TIMER
MVI    A,HTIMER
OUT   TIMER      ;TIMER PROGRAMADO

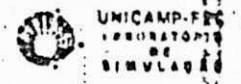
;LER DESLOCAMENTOS
Press RETURN to Continue
MVI    A,LTCHUP
OUT   CNTWRD      ;CONT1 LATCHED
MVI    A,LTCHDW
OUT   CNTWRD      ;CONT2 LATCHED
IN     UPADDR
STA   CONTUP
IN     UPADDR
STA   CONTUP+1    ;CONTADOR UP LIDO
IN     DWADDR
STA   CONTDW
IN     DWADDR
STA   CONTDW+1    ;CONTADOR DOWN LIDO

;CALCULAR DESLOCAMENTO TOTAL
LHLD   CONTUP
LDA    OLDUP
SUB    L
STA    DESLUP
LDA    OLDUP+1
SBB   H
STA    DESLUP+1    ;DESLUP = CONTUP - OLDUP

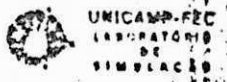
Press RETURN to Continue
LHLD   CONTUP
SHLD  OI DUP      ;UPDATE OI DUP

LHLD   CONTDW
LDA    OLDDW
SUB    L
STA    DESLUP

```







```

STA DESLDW+1 ;DESLDW := CONTDW - OLDDW
LHLD CONTDW
SHLD OLDDW ;UPDATE OLDDW

LHLD DESLDW
LDA DESLUP
SUB L
STA DESTOT
LDA DESLUP+1
SBB H
STA DESTOT+1 ;DESTOT := DESLUP - DESLDW
;DESLOCAMENTO TOTAL CALCULADO

;CALCULAR ERRO
Press RETURN to Continue
LHLD DESTOT
XCHG
LHLD DESLOC
DAD D
SHLD DESLOC ;DESLOC := DESTOT + DESLOC

LHLD WENTR
LDA DESLOC
SUB L
STA ERRO
LDA DESLOC+1
SBB H
STA ERRO+1 ;ERRO := DESLOC - WENTR
;ERRO CALCULADO

;REDUZIR COMPRIMENTO DE ERRO
STC
CMC
LDA ERRO+1
RAL

Press RETURN to Continue
JC REDNEG ;TESTAR ER15
CPI ZERO ;ER15=0
JZ POSZER ;TESTAR ER14..ERR
MVI A,07FH ;ER14..ERR ( ) 0
STA DIFER+1 ;SATURACAO POSITIVA
JMP REDFIM
POBZER LDA ERRO
RAL
JNC POSOK ;TESTAR ER7
MVI A,07FH ;SATURACAO POSITIVA
STA DIFER+1
JMP REDFIM
PCSOX RAR
STA DIFER+1 ;NUMERO OK
JMP REDFIM

REDNEG CPI OFEH ;ER15=1
JZ NEGUM ;TESTAR ER14..ERR
MVI A,80H ;ER14..ERR ( ) OFEH
STA DIFER+1 ;SATURACAO NEGATIVA
JMP REDFIM

```

```

JC NEGOK
MVI A,80H
STA DIFER+1
JMP REDFIM
RAR
STA DIFER+1

;ZERE ACCUMULADOR
;FIM DE REDUCAO

;UKMS1 := R * DIFER
R = 1010.1000 0101
;MULTIPLICACAO DE UMA VARIAVEL DE 13 BITS POR UMA CONSTANTE
;DE 13BITS

MULT2 LHLD DIFER ;DE := DIFER
XCHG
LXI H,DZERO ;HL := 0000H

;CO = 1
Press RETURN to Continue -
STC
CMC
DAD D ;HL := HL + DE
MOV A,H ;A := H
RAR
MOV H,A ;H := A
MOV A,L ;A := L
RAR
MOV L,A ;L := A

;C1 = 1
STC
CMC
DAD D ;HL := HL + DE
MOV A,H ;A := H
RAR
MOV H,A ;H := A
MOV A,L ;A := L
RAR
MOV L,A ;L := A

Press RETURN to Continue
;C2 = 0
STC
CMC
DAD D ;HL := HL + DE
MOV A,H ;A := H
RAR
MOV H,A ;H := A
MOV A,L ;A := L
RAR
MOV L,A ;L := A

```

```

DAD D ;HL := HL + DE
MOV A,H ;A := H
RAR
MOV H,A ;H := A
MOV A,L ;A := L
RAR
MOV L,A ;L := A

```

Press RETURN to Continue

;C4 = 0

```

STC
CMC
DAD D ;HL := HL + DE
MOV A,H ;A := H
RAR
MOV H,A ;H := A
MOV A,L ;A := L
RAR
MOV L,A ;L := A

```

;C5 = 0

```

STC
CMC
DAD D ;HL := HL + DE
MOV A,H ;A := H
RAR
MOV H,A ;H := A
MOV A,L ;A := L
RAR

```

Press RETURN to Continue

```
MOV L,A ;L := A
```

;C6 = 0

```

STC
CMC
DAD D ;HL := HL + DE
MOV A,H ;A := H
RAR
MOV H,A ;H := A
MOV A,L ;A := L
RAR
MOV L,A ;L := A

```

;C7 = 0

```

STC
CMC
DAD D ;HL := HL + DE
MOV A,H ;A := H
RAR
MOV H,A ;H := A
MOV A,L ;A := L

```

Press RETURN to Continue

```
MOV L,A ;L := A
```

;CB = 1

```
STC
```

```

DAD D ;HL := HL + DE
MOV A,H ;A := H
RAR
MOV H,A ;H := A
MOV A,L ;A := L
RAR
MOV L,A ;L := A
MOV A,B ;A := B
RAR
MOV B,A ;B := A

```

;C9 = 0

```

STC
CMC
DAD D ;HL := HL + DE
MOV A,H ;A := H

```

Press RETURN to Continue

```

RAR
MOV H,A ;H := A
MOV A,L ;A := L
RAR
MOV L,A ;L := A
MOV A,B ;A := B
RAR
MOV B,A ;B := A

```

;C10 = 1

```

STC
CMC
DAD D ;HL := HL + DE
MOV A,H ;A := H
RAR
MOV H,A ;H := A
MOV A,L ;A := L
RAR
MOV L,A ;L := A
MOV A,B ;A := B
RAR
MOV B,A ;B := A

```

;C11 = 0

Press RETURN to Continue

```

STC
CMC
DAD D ;HL := HL + DE
MOV A,H ;A := H
RAR
MOV H,A ;H := A
MOV A,L ;A := L
RAR
MOV L,A ;L := A
MOV A,B ;A := B
RAR
MOV B,A ;B := A

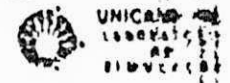
```

;C12 = 1

```

STC
CMC
DAD D ;HL := HL + DE
MOV A,H ;A := H
RAR
MOV H,A ;H := A

```



Press RETURN to Continue

MOV L,A  
MOV A,B  
RAR  
MOV B,A

;L := A  
;A := B

;B := A  
FIM DE MULTIPLICACAO SEM SINAL

;C12=1 CORRECAO DE SINAL

MOV A,E  
ANI OFBH  
MOV E,A  
MOV A,L  
SUB E  
MOV L,A  
MOV A,H  
BBB D  
MOV H,A

;CORRIGIR E

;HL := HL - DE

;HL CORRETO PARA C < 0

;U13 CORRECAO DE SINAL

MOV A,D  
RAL  
JNC CORR2  
MOV A,L

;HL := HL - COEF\*\*

Press RETURN to Continue

SUI LCOEF2  
MOV L,A  
MOV A,H  
SBI HCOEF2  
MOV H,A

;HL CORRETO PARA V < 0

;REDUCAO DE COMPRIMENTO DE PALAVRA

CORR2 MOV A,H  
RAL  
JC RNEG2  
ANI DEOH  
JZ PZER2  
LXI H,07FFBH  
JMP MFIN2

;TESTAR H7  
;H7 = 0

;SATURACAO POSITIVA

PZER2 MOV A,H  
ANI OBH  
JZ RRND2  
LXI H,07FFBH  
JMP MFIN2

;TESTAR H3

;SATURACAO POSITIVA

RNEG2 ANI DEOH

;H7=1

Press RETURN to Continue

CPI DEOH  
JZ NZER2  
LXI H,08000H  
JMP MFIN2

;SATURACAO NEGATIVA

NZER2 MOV A,H  
ANI OBH  
JNZ RRND2  
LXI H,08000H  
JMP MFIN2

;TESTAR H3

;SATURACAO NEGATIVA

;ARREDONDAR

RRND2 MOV A,B

;DELOCAR HL LEFT UMA VEZ

RAL  
MOV B,A  
MOV A,L  
RAL  
MOV L,A  
MOV A,H  
RAL  
MOV H,A



UNICAMP-FEC  
LABORATORIO  
DE  
SIMULACAO

Press RETURN to Continue

MOV A,B  
RAL  
JNC RFIM2  
MOV A,L  
CPI OFFH  
JNZ ROND2  
MOV A,H  
CPI OFFH  
JZ RFIM2

;TESTAR SE BOMA

;B5=1

;TESTAR SE OVERFLOW E POSSIVEL  
;L=OFFH

ROND2 INX H

;ARREDONDAR

RFIM2 STC

;DESLOCAR HL TRES VEZES

CMC  
MOV A,L  
RAL  
MOV L,A  
MOV A,H  
RAL  
MOV H,A  
STC  
CMC  
MOV A,L

Press RETURN to Continue

RAL  
MOV L,A  
MOV A,H  
RAL  
MOV H,A  
STC  
CMC  
MOV A,L  
RAL  
MOV L,A  
MOV A,H  
RAL  
MOV H,A

MFIN2 SHLD UKM51

;UKM51 := RESULTADO DA MULT

;RESUL := K1 \* X1K

K1 = 0000.1111 1111 1

;MULTIPLICACAO DE UMA VARIAVEL DE 13 BITS POR UMA CONSTANTE  
;DE 13BITS

MULT3 LHLD X1K

;DE := X1K

Press RETURN to Continue

XCHG  
LXI H,ZERO

;HL := 0000H

;CO = 1

UNCLASSIFIED  
INFORMATION  
SERIAL 41831A

HL := HL + DE  
A := H

DAD D  
MOV A,H  
Press RETURN to Continue  
RAR  
MOV H,A  
MOV A,L  
RAR  
MOV L,A

HL := HL + DE  
A := H  
H := A  
A := L  
L := A

D  
A,H  
H,A  
A,L  
L,A

IC6 = 1

HL := HL + DE  
A := H  
H := A  
A := L  
L := A

STC  
CMC  
DAD D  
MOV A,H  
RAR  
MOV H,A  
MOV A,L  
RAR  
MOV L,A

HL := HL + DE  
A := H  
H := A  
A := L  
L := A

D  
A,H  
H,A  
A,L  
L,A

IC7 = 1

HL := HL + DE  
A := H  
H := A  
A := L  
L := A

STC  
CMC  
DAD D  
Press RETURN to Continue  
MOV A,H  
RAR  
MOV H,A  
MOV A,L  
RAR  
MOV L,A

HL := HL + DE  
A := H  
H := A  
A := L  
L := A

D  
A,H  
H,A  
A,L  
L,A

IC8 = 1

HL := HL + DE  
A := H  
H := A  
A := L  
L := A  
B := A

STC  
CMC  
DAD D  
MOV A,H  
RAR  
MOV H,A  
MOV A,L  
RAR  
MOV L,A  
MOV B,A

HL := HL + DE  
A := H  
H := A  
A := L  
L := A

D  
A,H  
H,A  
A,L  
L,A

IC9 = 0

HL := HL + DE  
A := H  
H := A  
A := L

Press RETURN to Continue  
STC  
CMC  
DAD D  
MOV A,H  
RAR  
MOV H,A  
MOV A,L  
RAR  
MOV L,A

HL := HL + DE  
A := H  
H := A  
A := L  
L := A

D  
A,H  
H,A  
A,L  
L,A

IC5 = 1

```

RAL
MOV L,A
MOV A,H
RAL

Press RETURN to Continue
MOV H,A
STC
CMC
MOV A,L
RAL
MOV L,A
MOV A,H
RAL
MOV H,A
STC
CMC
MOV A,L
RAL
MOV L,A
MOV A,H
RAL
MOV H,A

SFIM3 XCHG ;DE := RESULTADO DA MULTIPLICACAO
;SOHA3 UKMS1 := UKMS1 + RESULT
;SOHA3 LHLD UKMS1

Press RETURN to Continue
MOV A,D
ADI ZERO
JH NXT13 ;DE POSITIVO OU NEGATIVO
MVI B,01H ;POSITIVO
JMP NXT23
NXT13 MVI B,02H ;NEGATIVO
NXT23 MOV A,H
ADI ZERO
JH NXT33 ;HL POSITIVO OU NEGATIVO
MOV A,B ;POSITIVO
CPI 02H
JZ 0VOK3
MVI B,01H ;OVERFLOW POSITIVO POSSIVEL
JMP NXT43
0VOK3 MVI B,ZERO
JMP NXT43
NXT33 MOV A,B
CPI 01H
JZ 0VOK3
MVI B,02H ;OVERFLOW NEGATIVO POSSIVEL

Press RETURN to Continue
NXT43 DAD D ;HL := HL + DE
MOV A,H
ADI ZERO
JH NXT53 ;RESULTADO POSITIVO OU NEGATIVO
MOV A,B ;POSITIVO
CPI 02H

```

```

NXT53 MOV A,B
CPI 01H ;NEGATIVO
JNZ SFIM3
MVI H,07FH ;OVERFLOW POSITIVO
MVI L,0FBH

SFIM3 SHLD UKMS1 ;FIM DE SOHA
;RESUL := K2 * X2K
;MULTIPLICACAO DE UMA VARIAVEL DE 13 BITS POR UMA CONSTANTE
;DE 13BITS
K2 = 0000.1110 0000 1

Press RETURN to Continue
MULT4 LHLD X2K ;DE := X2K
XCHG
LXI H,DZERO ;HL := 0000H
CO = 1

STC
CMC
DAD D ;HL := HL + DE
MOV A,H ;A := H
RAR ;H := A
MOV A,L ;A := L
RAR ;L := A
MOV L,A

C1 = 0

STC
CMC
DAD D ;HL := HL + DE

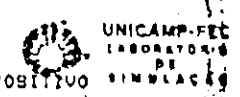
Press RETURN to Continue
MOV A,H ;A := H
RAR ;H := A
MOV A,L ;A := L
RAR ;L := A
MOV L,A

C2 = 0

STC
CMC
DAD D ;HL := HL + DE
MOV A,H ;A := H
RAR ;H := A
MOV A,L ;A := L
RAR ;L := A
MOV L,A

C3 = 0

```



UNIVERSIDADE FEDERAL DA PARAIBA  
 Pró-Reitoria Para Assuntos do Interior  
 Coordenação Setorial de Pós-Graduação  
 Rua Aprígio Veloso, 882 - Tel (083) 321-7222-R 355

```

MOV A,H      ;A := H
RAR          ;H := A
MOV H,A     ;A := L
RAR          ;L := A
MOV L,A
;C4 = 0
;
STC
CMC
DAD D       ;HL := HL + DE
MOV A,H     ;A := H
RAR
MOV H,A     ;H := A
MOV A,L     ;A := L
RAR
MOV L,A     ;L := A
;
;C5 = 0
;
STC
Press RETURN to Continue
CMC
DAD D       ;HL := HL + DE
MOV A,H     ;A := H
RAR
MOV H,A     ;H := A
MOV A,L     ;A := L
RAR
MOV L,A     ;L := A
;
;C6 = 1
;
STC
CMC
DAD D       ;HL := HL + DE
MOV A,H     ;A := H
RAR
MOV H,A     ;H := A
MOV A,L     ;A := L
RAR
MOV L,A     ;L := A
;
;C7 = 1
;
Press RETURN to Continue
STC
CMC
DAD D       ;HL := HL + DE
MOV A,H     ;A := H
RAR
MOV H,A     ;H := A
MOV A,L     ;A := L
RAR
MOV L,A     ;L := A
;
;C8 = 1
;
STC

```

```

MOV H,A     ;H := A
MOV A,L     ;A := L
RAR
MOV L,A     ;L := A
MOV A,B     ;A := B
RAR
;
Press RETURN to Continue
MOV B,A     ;B := A
;C9 = 0
;
STC
CMC
DAD D       ;HL := HL + DE
MOV A,H     ;A := H
RAR
MOV H,A     ;H := A
MOV A,L     ;A := L
RAR
MOV L,A     ;L := A
MOV A,B     ;A := B
RAR
MOV B,A     ;B := A
;
;C10 = 0
;
STC
CMC
DAD D       ;HL := HL + DE
MOV A,H     ;A := H
RAR
MOV H,A     ;H := A
;
Press RETURN to Continue
MOV A,L     ;A := L
RAR
MOV L,A     ;L := A
MOV A,B     ;A := B
RAR
MOV B,A     ;B := A
;
;C11 = 0
;
STC
CMC
DAD D       ;HL := HL + DE
MOV A,H     ;A := H
RAR
MOV H,A     ;H := A
MOV A,L     ;A := L
RAR
MOV L,A     ;L := A
MOV A,B     ;A := B
RAR
MOV B,A     ;B := A
;
;C12 = 0
;
STC
Press RETURN to Continue
CMC
DAD D       ;HL := HL + DE
MOV A,H     ;A := H
RAR

```



UNICAMP-FEC  
LABORATORIO  
DE  
SIMULACAO

```

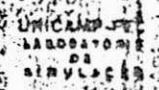
MOV A,B ;A = B
RAR ;
MOV B,A ;B = A
; FIM DE MULTIPLICACAO SEM SINAL
; CIRC CORRECAO DE SINAL
;
MOV A,E ;CORRIGIR E
ANI OFBH
MOV E,A
MOV A,L ;HL = HL - DE
SUB E
MOV L,A
MOV A,H
BBB D
;
; Press RETURN to Continue
MOV H,A ;HL CORRETO PARA C < 0
;
; U13 CORRECAO DE SINAL
MOV A,D
RAL
JNC CORR4
MOV A,L ;HL = HL - COEF**
SUI LCOEF4
MOV L,A
MOV A,H
SBI HCOEF4
MOV H,A ;HL CORRETO PARA V < 0
;
; REDUCAO DE COMPRIMENTO DE PALAVRA
CORR4 MOV A,H
RAL
JC RNEG4 ;TESTAR H7
ANI OEDH ;H7 = 0
JZ PZER4 ;SATURACAO POSITIVA
LXI H,O7FFBH
JMP MFIM4
;
; Press RETURN to Continue
PZER4 MOV A,H
ANI ODH ;TESTAR H3
JZ RRND4 ;SATURACAO POSITIVA
LXI H,O7FFBH
JMP MFIM4
;
RNEG4 ANI OEDH ;H7=1
CPI OEDH
JZ NZER4 ;SATURACAO NEGATIVA
LXI H,O0000H
JMP MFIM4
;
NZER4 MOV A,H
ANI ODH ;TESTAR H3
JNZ RRND4 ;SATURACAO NEGATIVA
LXI H,O0000H
JMP MFIM4
;
; ARREDONDAR

```

```

; Press RETURN to Continue
MOV A,L
RAL
MOV L,A
MOV A,H
RAL
MOV H,A
;
MOV A,B ;TESTAR SE SOMA
RAL ;
JNC RFIH4 ;B5=1
MOV A,L
CPI OFFH ;TESTAR SE OVERFLOW E POSSIVEL
JNZ ROND4 ;L=OFFH
MOV A,H
CPI OFFH
JZ RFIH4
;
ROND4 INX H ;ARREDONDAR
;
RFIH4 STC ;DESLOCAR HL TRES VEZES
CMC
MOV A,L
RAL
;
; Press RETURN to Continue
MOV L,A
MOV A,H
RAL
MOV H,A
STC
CMC
MOV A,L
RAL
MOV L,A
MOV A,H
RAL
MOV H,A
;
MFIM4 XCHG ;DE = RESULTADO DA MULTIPLICACAO
;
; Press RETURN to Continue
;SOMA4 UKMS1 = UKMS1 + RESUL
;SOMA4 LHLD UKMS1
MOV A,D
ADI ZERO ;DE POSITIVO OU NEGATIVO
JM NXT14 ;POSITIVO
MVI B,01H
JMP NXT24
NXT14 MVI B,02H ;NEGATIVO
;
NXT24 MOV A,H

```



```

JZ OVOK4
HVI B,01H
JMP NXT44
;OVERFLOW POSITIVO POSSIVEL

OVOK4 HVI B,ZERO
JMP NXT44
;OVERFLOW IMPOSSIVEL
NXT34 MOV A,B
CPI 01H
;NEGATIVO

```

Press RETURN to Continue

```

JZ OVOK4
HVI B,02H
;OVERFLOW NEGATIVO POSSIVEL

NXT44 DAD D
MOV A,H
ADI ZERO
JM NXT54
MOV A,B
CPI 02H
JNZ SFIM4
HVI H,00H
HVI L,ZERO
JMP SFIM4
;OVERFLOW NEGATIVO

```

```

NXT54 MOV A,B
CPI 01H
JNZ SFIM4
HVI H,07FH
HVI L,0FBH
;NEGATIVO
;OVERFLOW POSITIVO

```

```

SFIM4 GHLD UKMS1
;FIM DE SOMA

```

REBUL = LAMBDA1 \* X1K

Press RETURN to Continue

LAMBDA1 = 0000.1100 0101 1  
MULTIPLICACAO DE UMA VARIÁVEL DE 13 BITS POR UMA CONSTANTE DE 13BITS

```

MULT5 LHLD X1K
XCHG
LXI H,DZERO
;DE := X1K
;HL := 0000H

```

CO = 1

```

STC
CMC
DAD D
MOV A,H
RAR
MOV H,A
MOV A,L
RAR
MOV L,A
;HL := HL + DE
;A := H
;H := A
;A := L
;L := A

```

CI = 1

Press RETURN to Continue

```

STC
CMC
DAD D
MOV A,H
RAR
;HL := HL + DE
;A := H

```

```

MOV A,L
RAR
MOV L,A
;A := L
;L := A

```

C2 = 0

```

STC
CMC
DAD D
MOV A,H
RAR
MOV H,A
MOV A,L
RAR
MOV L,A
;HL := HL + DE
;A := H
;H := A
;A := L
;L := A

```

C3 = 1

Press RETURN to Continue

```

STC
CMC
DAD D
MOV A,H
RAR
MOV H,A
MOV A,L
RAR
MOV L,A
;HL := HL + DE
;A := H
;H := A
;A := L
;L := A

```

C4 = 0

```

STC
CMC
DAD D
MOV A,H
RAR
MOV H,A
MOV A,L
RAR
MOV L,A
;HL := HL + DE
;A := H
;H := A
;A := L
;L := A

```

Press RETURN to Continue

C5 = 0

```

STC
CMC
DAD D
MOV A,H
RAR
MOV H,A
MOV A,L
RAR
MOV L,A
;HL := HL + DE
;A := H
;H := A
;A := L
;L := A

```

C6 = 0

```

STC
CMC
DAD D
MOV A,H
RAR
MOV H,A
;HL := HL + DE
;A := H
;H := A

```





```

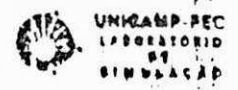
MOV L,A          ;L := A
Press RETURN to Continue
;C7 = 1
;
; STC
; CMC
; DAD D          ;HL := HL + DE
; MOV A,H        ;A := H
; RAR
; MOV H,A        ;H := A
; MOV A,L        ;A := L
; RAR
; MOV L,A        ;L := A
;C8 = 1
;
; STC
; CMC
; DAD D          ;HL := HL + DE
; MOV A,H        ;A := H
; RAR
; MOV H,A        ;H := A
; MOV A,L        ;A := L
; RAR
Press RETURN to Continue
;
; MOV L,A        ;L := A
; MOV A,B        ;A := B
; RAR
; MOV B,A        ;B := A
;C9 = 0
;
; STC
; CMC
; DAD D          ;HL := HL + DE
; MOV A,H        ;A := H
; RAR
; MOV H,A        ;H := A
; MOV A,L        ;A := L
; RAR
; MOV L,A        ;L := A
; MOV A,B        ;A := B
; RAR
; MOV B,A        ;B := A
;C10 = 0
;
; STC
; CMC
; DAD D          ;HL := HL + DE
Press RETURN to Continue
;
; MOV A,H        ;A := H
; RAR
; MOV H,A        ;H := A
; MOV A,L        ;A := L
; RAR
; MOV L,A        ;L := A
; MOV A,B        ;A := B
; RAR
; MOV B,A        ;B := A
;C11 = 0

```

```

; DAD D          ;HL := HL + DE
; MOV A,H        ;A := H
; RAR
; MOV H,A        ;H := A
; MOV A,L        ;A := L
; RAR
; MOV L,A        ;L := A
; MOV A,B        ;A := B
; RAR
; MOV B,A        ;B := A
Press RETURN to Continue
;C12 = 0
;
; STC
; CMC
; DAD D          ;HL := HL + DE
; MOV A,H        ;A := H
; RAR
; MOV H,A        ;H := A
; MOV A,L        ;A := L
; RAR
; MOV L,A        ;L := A
; MOV A,B        ;A := B
; RAR
; MOV B,A        ;B := A
;
;C12=0 CORRECAO DE SINAL
;
; MOV A,E        ;CORRIGIR E
; ANI OFBH
; MOV E,A
; MOV A,L        ;HL := HL - DE
; SUB E
Press RETURN to Continue
;
; MOV L,A
; MOV A,H
; EBB D
; MOV H,A        ;HL CORRETO PARA C < 0
;
;U13 CORRECAO DE SINAL
; MOV A,D
; RAL
; JNC CORR5      ;HL := HL - COEF**
; MOV A,L
; SUI LCOEF5
; MOV L,A
; MOV A,H
; SBI HCOEF5
; MOV H,A        ;HL CORRETO PARA U < 0
;
; REDUCAO DE COMPRIMENTO DE PALAVRA
;
; CORR5 MOV A,H
; RAL
; JC RNEG5       ;TESTAR H7
; ANI OFOH       ;H7 = 0
; JZ PZER5
Press RETURN to Continue
; LXI H,07FFBH
; JMP HFMS
; SATURACAO POSITIVA

```





```

C0 = 0
STC
CMC
DAD D           ;HL := HL + DE
MOV A,H         ;A := H
RAR
MOV H,A         ;H := A
MOV A,L         ;A := L
RAR
MOV L,A         ;L := A

```

Press RETURN to Continue

```

C1 = 1
STC
CMC
DAD D           ;HL := HL + DE
MOV A,H         ;A := H
RAR
MOV H,A         ;H := A
MOV A,L         ;A := L
RAR
MOV L,A         ;L := A

```

```

C2 = 1
STC
CMC
DAD D           ;HL := HL + DE
MOV A,H         ;A := H
RAR
MOV H,A         ;H := A
MOV A,L         ;A := L
RAR
MOV L,A         ;L := A

```

```

C3 = 1
STC
CMC
DAD D           ;HL := HL + DE
MOV A,H         ;A := H
RAR
MOV H,A         ;H := A
MOV A,L         ;A := L
RAR
MOV L,A         ;L := A

```

```

C4 = 0
STC
CMC
DAD D           ;HL := HL + DE
MOV A,H         ;A := H
RAR
MOV H,A         ;H := A
MOV A,L         ;A := L
RAR
MOV L,A         ;L := A

```

```

C5 = 1
STC
CMC
DAD D           ;HL := HL + DE
MOV A,H         ;A := H
RAR
MOV H,A         ;H := A
MOV A,L         ;A := L
RAR
MOV L,A         ;L := A

```

```

C6 = 0
STC
CMC
DAD D           ;HL := HL + DE
MOV A,H         ;A := H
RAR
MOV H,A         ;H := A

```

Press RETURN to Continue

```

MOV A,L         ;A := L
RAR
MOV L,A         ;L := A

```

```

C7 = 1
STC
CMC
DAD D           ;HL := HL + DE
MOV A,H         ;A := H
RAR
MOV H,A         ;H := A
MOV A,L         ;A := L
RAR
MOV L,A         ;L := A

```

```

C8 = 1
STC
CMC
DAD D           ;HL := HL + DE
MOV A,H         ;A := H
RAR

```

```

Press RETURN to Continue
MOV H,A         ;H := A
MOV A,L         ;A := L
RAR
MOV L,A         ;L := A
MOV A,B         ;A := B
RAR
MOV B,A         ;B := A

```

```

C9 = 1
STC
CMC
DAD D           ;HL := HL + DE
MOV A,H         ;A := H
RAR
MOV H,A         ;H := A
MOV A,L         ;A := L
RAR
MOV L,A         ;L := A

```

```

MOV A,B ;A = B
RAR
MOV B,A ;B = A,
;C10 = 1
Press RETURN to Continue
STC
CMC
DAD D ;HL = HL + DE
MOV A,H ;A = H
RAR
MOV H,A ;H = A
MOV A,L ;A = L
RAR
MOV L,A ;L = A
MOV A,B ;A = B
RAR
MOV B,A ;B = A,
;C11 = 1
STC
CMC
DAD D ;HL = HL + DE
MOV A,H ;A = H
RAR
MOV H,A ;H = A
MOV A,L ;A = L
RAR
MOV L,A ;L = A
Press RETURN to Continue
MOV A,B ;A = B
RAR
MOV B,A ;B = A,
;C12 = 1
STC
CMC
DAD D ;HL = HL + DE
MOV A,H ;A = H
RAR
MOV H,A ;H = A
MOV A,L ;A = L
RAR
MOV L,A ;L = A
MOV A,B ;A = B
RAR
MOV B,A ;B = A
FIM DE MULTIPLICACAO SEM SINAL
;C12=1 CORRECAO DE SINAL
MOV A,E ;CORRIGIR E
ANI OFBH
Press RETURN to Continue
MOV E,A
MOV A,L ;HL = HL - DE
SUB E
MOV L,A
MOV A,H
SBB D
MOV H,A ;HL CORRETO PARA C (0)
;C13 CORRECAO DE SINAL

```

```

MOV A,D
RAL
JNC CORR6
MOV A,L ;HL = HL - COEF
BUI LCOEF6
MOV L,A
MOV A,H
SBI HCOEF6
MOV H,A ;HL CORRETO PARA U (0)
REDUCAO DE COMPRIMENTO DE PALAVRA
CORR6 MOV A,H
RAL
Press RETURN to Continue
JC RNEB6 ;TESTAR H7
ANI OE0H ;H7 = 0
JZ PZER6
LXI H,07FF6H ;SATURACAO POSITIVA
JMP MFIM6
PZER6 MOV A,H
ANI OBH ;TESTAR H3
JZ RRND6
LXI H,07FF6H ;SATURACAO POSITIVA
JMP MFIM6
RNEB6 ANI OE0H ;H7=1
CPI OE0H
JZ NZER6
LXI H,08000H ;SATURACAO NEGATIVA
JMP MFIM6
NZER6 MOV A,H
ANI OBH ;TESTAR H3
JNZ RRND6
LXI H,08000H ;SATURACAO NEGATIVA
JMP MFIM6
Press RETURN to Continue
;ARREDONAR
RRND6 MOV A,B ;DESLOCAR HLB LEFT UMA VEZ
RAL
MOV B,A
MOV A,L
RAL
MOV L,A
MOV A,H
RAL
MOV H,A
MOV A,B ;TESTAR SE SOMA
RAL
JNC RFIM6
MOV A,L ;B5=1
CPI OFFH
JNZ RND6 ;TESTAR SE OVERFLOW E POSSIVEL
MOV A,H ;L=OFFH
CPI OFH
JZ RFIM6
Press RETURN to Continue

```

```

ARND6 INX H ,ARREDONDAR
RFIM6 STC ,DEBLOCAR HL TRES VEZES
CMC
MOV A,L
RAL
MOV L,A
MOV A,H
RAL
MOV H,A
STC
CMC
MOV A,L
RAL
MOV L,A
MOV A,H
RAL
MOV H,A
STC
CMC
MOV A,L
RAL
MOV L,A

Press RETURN to Continue
MOV A,H
RAL
MOV H,A

MFIM6 XCHG ,DE := RESULTADO DA MULTIPLICACAO
,SOMA6 XIKMS1 := XIKMS1 + REGUL.
SOMA6 LHL D XIKMS1
MOV A,D
ADI ZERO
JM NXT16 ,DE POSITIVO OU NEGATIVO
MVI B,01H ,POSITIVO
JMP NXT26
NXT16 MVI B,02H ,NEGATIVO
NXT26 MOV A,H
ADI ZERO
JM NXT36 ,HL POSITIVO OU NEGATIVO
MOV A,B ,POSITIVO
CPI 02H
JZ OVOK6
MVI B,01H ,OVERFLOW POSITIVO POSSIVEL

Press RETURN to Continue
JMP NXT46
OVOK6 MVI B,ZERO
JMP NXT46 ,OVERFLOW IMPOSSIVEL
NXT36 MOV A,B
CPI 01H ,NEGATIVO
JZ OVOK6
MVI B,02H ,OVERFLOW NEGATIVO POSSIVEL

NXT46 DAD D ,HL := HL + DE
MOV A,H
ADI ZERO
JM NXT56 ,RESULTADO POSITIVO OU NEGATIVO
MOV A,B
CPI 02H ,POSITIVO

```

```

MVI H,BOH ,OVERFLOW NEGATIVO
MVI L,ZERO
JMP SFIM6
NXT56 MOV A,B
CPI 01H ,NEGATIVO
JNZ SFIM6
Press RETURN to Continue
MVI H,07FH ,OVERFLOW POSITIVO
MVI L,0FAH
SFIM6 SHLD XIKMS1 ,FIM DE SOMA
UPDATE VARIAVEIS DE ESTADO
LHL D X1K
SHLD X2K
LHL D XIKMS1
SHLD X1K
GERACAO DA ENTRADA DE COMANDO
LHL D SPR
DCX H
SHLD SPR
MOV A,H
ANA A
JNZ CONTIN
MOV A,L
Press RETURN to Continue
ANA A
JNZ CONTIN
LHL D SP1
SHLD SPR
LDA CHAVE
CPI ZERO
JZ SOME3
JMP SUBT3
SUBT3 MVI A,ZERO
STA CHAVE
LHL D AMP
LDA WENTR
SUB L
STA WENTR
LDA WENTR+1
EBB H
STA WENTR+1
JMP CONTIN
SOME3 MVI A,01H
STA CHAVE
LHL D AMP
Press RETURN to Continue
XCHG WENTR
LHL D D
DAD D
SHLD WENTR
JMP CONTIN

```

UNICAMP-REC  
LABORATORIO  
DE  
SIMULACAO

APÊNDICE A8 - CARACTERÍSTICAS DO SERVOMOTOR

System Performance Specs	EC 500	EC 550 System.		
Speed Range	1000:1 typically 5 to 5000 RPM down to .001 RPM with gearhead;			
Torque Range	0 - 10 oz. in. up to 200 in. lb. with suitable gear ratios			
System Input Sensitivity	4.6 V/KRPM	4.8 V/KRPM	4.5 V/KRPM	1.5 V/KRPM
Load Regulation	See Graph	See Graph		
System Bandwidth (Remote Inputs) (No Load)	10 Hz	12 Hz.	7 Hz.	7 Hz.
Controller Specs.	E 500 M or D Reversible	E 550 M or D Reversible	E 550 BV-001 Bi-Directional	E 550-BP-001 Bi-Directional
Input Power	115 or 230 V AC 50/60 Hz	115 or 230 VAC 50/60 Hz.	115 or 230 VAC 50/60 Hz.	115 or 230 VAC 50/60 Hz.
Input Impedance (Remote Control) Inputs)	10K <sup>2</sup>	10K	10K Shunted by .01 MF	10K Shunted by .01 MF ± 1.5/1000
Open Loop Gain	200 V/V	750 V/V	750 V/V	750 V/V
Maximum Output Voltage (no load)	33V	33V	33V	33V
Output Current ± Peak	5 A	5 A	3 Amp for 100 msec	3 Amp for 100 msec
RMS Stall	1.5A Fuse Limited	2 A Circuit Breaker Limited	2 A 1.5 A	2 A 1.5A
Motor Specs	E 500 MG	E 550 MG		
Rated				
Output	1/25 hp		1/20 hp	
Speed	4750 RPM		5000 RPM	
Torque	8 oz.-in.		10 oz. in.	
Volts	28		28	
Armature Current	1.4 amps		2 amps	
Armature Resistance	4 ohms		2.7 ohms	
Intrinsic Data				
Voltage Constant	4.6 Volts/KRPM		4.8 Volts/KRPM	
Torque Constant	6.2 oz.-in./Amp		6.5 oz.-in./amp	
Regulation	140 RPM/oz.-in.		90 RPM/oz.-in.	
Inertia	4x10 <sup>3</sup> oz.-in.-sec. <sup>2</sup>		4x10 <sup>3</sup> oz.-in.-sec. <sup>2</sup>	
Derived Constants				
Mechanical Time Constant	60 msec		30 msec	
Electrical Time Constant	0.5 msec		0.4 msec	
Generator		Temperature Compensated		
Voltage Gradient	4.6 V/1000 RPM		4.6 V/1000 RPM	
Ripple	3% RMS		2.5% RPM	

APÊNDICE A.9 - RESULTADOS DO PROJETO ASSISTIDO POR  
COMPUTADOR



## PROGRAMA PARA O PROJETO DOS CONTROLADORES OTIMOS

RESISTENCIA = 4.0  
 INERTANCIA = 2.0E-3  
 FRIÇÃO MOTOR-CARGA = 1.200E-2  
 INERCIA MOTOR-CARGA = 5.8750E-4  
 CONSTANTES ELETRICA E MECANICA = 4.302E-2  
 NUMERO DE PULSOS POR ROTACAO DO CODIFICADOR INCREMENTAL = 5  
 PERIODO DE AMOSTRAGEM = 5.00E-2

VEJA SE CONFERIR OU MUDAR ALGUM PARAMETRO E APÓS O RUN

PERIODO DE AMOSTRAGEM = 5.000000000E-02 ? (S OU N) = S  
 PERIODO DE AMOSTRAGEM = 5.000000000E-02

PULO CONTINUA 1 = -6.1160125E-01 PULO CONTINUA 2 = -1.955102565E+01

## MATRIZ DO SISTEMA DISCRETO

1 1.000000000 0.000000000 0.000000000 0.000000000  
 1 0.000000000 0.999999999 0.000000000 0.000000000  
 1 0.000000000 -1.000000000 0.000000000 0.000000000

## VETOR DO SISTEMA DISCRETO

1 1.416220858E-02 ]  
 1 4.943543076E-01 ]  
 1 2.431566106E-02 ]

## PROBLEMA DO PROBLEMA

## MATRIZ DE FONDEAMENTO DO PROBLEMA

01 1.00E+00 1.000000000 0.000000000 0.000000000  
 01 1.00E+00 0.000000000 0.000000000 0.000000000  
 01 1.00E+00 0.000000000 0.000000000 0.000000000  
 01 1.00E+00 0.000000000 0.000000000 0.000000000  
 01 1.00E+00 0.000000000 0.000000000 0.000000000

## MATRIZ DE PONDERAÇÃO DOS ESTADOS

```

I 1.0000000000 0.0000000000 0.0000000000 1
I 0.0000000000 1.0000000000 0.0000000000 1
I 0.0000000000 0.0000000000 1.0000000000 1

```

PESO DA VARIÁVEL DE ENTRADA = 20.0

CONVERGÊNCIA PARA : 0.001

VECTO DE GANHOS DO CONTROLADOR

```

I 2.068748593E-01 2.040592581E-01 4.550220191E-02 1

```

PROJETO DO OBSERVADOR

## MATRIZ DE PONDERAÇÃO DOS ESTADOS

```

O1 1, 1J = 1.0000000000 (S OU N) = S
O1 1, 2J = O1 2, 1J = 0.0000000000 (S OU N) = S
O1 1, 3J = O1 3, 1J = 0.0000000000 (S OU N) = S
O1 2, 2J = 1.0000000000 (S OU N) = S
O1 2, 3J = O1 3, 2J = 0.0000000000 (S OU N) = S
O1 3, 3J = 1.0000000000 (S OU N) = S

```

## MATRIZ DE PONDERAÇÃO DOS ESTADOS

```

I 1.0000000000 0.0000000000 0.0000000000 1
I 0.0000000000 1.0000000000 0.0000000000 1
I 0.0000000000 0.0000000000 1.0000000000 1

```

PESO DA VARIÁVEL DE ENTRADA = 1.0

CONVERGÊNCIA PARA : 0.001

VECTO DE REALIMENTAÇÃO DO OBSERVADOR

```

I 1.186039612E-01 1
I 2.724408370E-02 1
I 6.097114402E-02 1

```

TIPO DE CONTROLADOR OUTRO 1) COM OBSERVADOR COM REALIMENTAÇÃO - OTIMIZADO  
 2) COM OBSERVADOR SEM REALIMENTAÇÃO - OTIMIZADO  
 3) DINAMICO - DINAMICO  
 = DINAMICO

MUIS OS POLOS DO REGULADOR DINAMICO ?  
 MULTIPLICIDADE 2 E PROXIMO DE ZERO = 0.001

PARAMETROS DO CONTROLADOR DINAMICO

KD = 7.219577729  
 BETA1 = -2.000000000E-03  
 BETA2 = 1.000000029E-01  
 GAMMA1 = -7.028098220  
 GAMMA2 = 1.426338499E-02

CALCULAR OUTRO CONTROLADOR ? (SIM OU NAO) = NAO

PARAMETROS PARA SIMULADO

MATRIZ DO SISTEMA DISCRETO

[ 1.000000000 3.573569297E-03 5.673730671E-04 ]  
 [ 0.000000000 9.979287505E-03 1.584404408E-01 ]  
 [ 0.000000000 -7.826799511E-03 2.806378525E-01 ]

VETOR DO SISTEMA DISCRETO

[ 1.067.20664E-04 ]  
 [ 2.97953512E-03 ]  
 [ 1.782632961E-03 ]

DESEJA CALCULAR OS CONTROLADORES PARA OUTRO PERIODO ? (SIM OU NAO)

PERIODO DE AMOSTRAGEM = 7.0E-3

DESEJA CONFERIR OU MUDAR ALGUM PARAMETRO ? (S OU N)

PERIODO DE AMOSTRAGEM = 7.800000011E-03 ? (S OU N) = S

PERIODO DE AMOSTRAGEM = 7.800000011E-03

POLO CONTINUA 1) = -6.118072909 POLO CONTINUA 2) = -1.995102568E+0

MATRIZ DO SISTEMA DISCRETO

[ 1.000000000 4.771302580E-02 9.524327304E-03 ]  
 [ 0.000000000 9.557972944E-02 2.131169536E-01 ]  
 [ 0.000000000 -1.052779176E-01 -7.347344780E-01 ]

VETOR DO SISTEMA DISCRETO

[ 3.554185479E-01 ]  
 [ 7.952300694E-01 ]  
 [ 2.418394269E-01 ]

## PROJETO DO REGULADOR

## MATRIZ DE PONDERAÇÃO DOS ESTADOS

Q1 1, 1] = 1.000000000 ? (S OU N) = S  
 Q1 1, 2] = Q1 2, 1] = 0.000000000 ? (S OU N) = S  
 Q1 1, 3] = Q1 3, 1] = 0.000000000 ? (S OU N) = S  
 Q1 2, 2] = 1.000000000 ? (S OU N) = S  
 Q1 2, 3] = Q1 3, 2] = 0.000000000 ? (S OU N) = S  
 Q1 3, 3] = 1.000000000 ? (S OU N) = S

## MATRIZ DE PONDERAÇÃO DOS ESTADOS

1	1.000000000	0.000000000	0.000000000	]
1	0.000000000	1.000000000	0.000000000	]
1	0.000000000	0.000000000	1.000000000	]

PESO DA VARIÁVEL DE ENTRADA = 1.0

CONVERGÊNCIA PARA : 0.001

## VETOR DE GANHOS DO CONTROLADOR

[ 6.476702570E-01 6.369965314E-01 1.420401558E-01 ]

## PROJETO DO OBSERVADOR

## MATRIZ DE PONDERAÇÃO DOS ESTADOS

Q1 1, 1] = 1.000000000 ? (S OU N) = S  
 Q1 1, 2] = Q1 2, 1] = 0.000000000 ? (S OU N) = S  
 Q1 1, 3] = Q1 3, 1] = 0.000000000 ? (S OU N) = S  
 Q1 2, 2] = 1.000000000 ? (S OU N) = S  
 Q1 2, 3] = Q1 3, 2] = 0.000000000 ? (S OU N) = S  
 Q1 3, 3] = 1.000000000 ? (S OU N) = S

## MATRIZ DE PONDERAÇÃO DOS ESTADOS

1	1.000000000	0.000000000	0.000000000	]
1	0.000000000	1.000000000	0.000000000	]
1	0.000000000	0.000000000	1.000000000	]

PESO DA VARIÁVEL DE ENTRADA = 1.0

CONVERGÊNCIA PARA : 0.001

## VETOR DE REAJUSTAMENTO DO OBSERVADOR

[ 6.160339532E-01 ]  
 [ 4.107730587E-01 ]  
 [ 2.10770106E-01 ]

TIPO DE CONTROLADOR OTIMO 1) COM OBSERVADOR COM REALIMENTAÇÃO -OTIMO  
 2) COM OBSERVADOR SEM REALIMENTAÇÃO-OTIMO  
 3) DINAMICO -DINAMI  
 = OTIMOREG

PONTO INICIAL PARA CALCULO DO AUTOVALOR REAL = 0.0  
 VALOR DO POLINOMIO -7.124617695E-08  
 VALOR DO POLINOMIO -4.085620820E-14  
 VALOR DO POLINOMIO 0.000000000  
 AUTOVALOR = 1.720926359E-07 VALOR DO POLINOMIO = 0.000000000  
 AUTOVALOR E ACEITAVEL ? (S OU N) = S

AUTOVALOR 1 = 9.566948056E-01 + J 0.000000000  
 AUTOVALOR 2 = 4.327368346E-01 + J 0.000000000  
 AUTOVALOR 3 = 1.720926359E-07 + J 0.000000000

REPETIR CALCULO DOS AUTOVALORES ? (S OU N) N

---

PARAMETROS DO CONTROLADOR DIGITAL OTIMO COM OBSERVADOR COM REALIMENTAÇÃO

K = -4.280435740E-01

LAMBDA1 = 1.389431637  
 LAMBDA2 = -4.139989652E-01  
 LAMBDA3 = 1.717203263E-07

KF1 = -1.865534459E-01  
 KF2 = 1.772096002E-01  
 KF3 = -1.571698948E-10

DF1 = 6.180339992E-03  
 DF2 = -2.540351977E-01  
 DF3 = 4.448060631E-10

J1 = 0.000000000 J2 = 0.000000000

---

CALCULAR OUTRO CONTROLADOR ? (SIM OU NAO) = SIM  
 TIPO DE CONTROLADOR OTIMO 1) COM OBSERVADOR COM REALIMENTACAO -OTIMOR  
 2) COM OBSERVADOR SEM REALIMENTACAO-OTIMODI  
 3) DINAMICO -DINAMIC  
 = OTIMODIK

PUNTO INICIAL PARA CALCULO DO AUTOVALOR REAL = 0.0  
 VALOR DO POLINOMIO -2.735760062E-08  
 VALOR DO POLINOMIO -2.264854967E-14  
 VALOR DO POLINOMIO 0.000000000  
 AUTOVALOR = 1.710236966E-07 VALOR DO POLINOMIO = 0.000000000  
 AUTOVALOR E ACEITAVEL ? (S OU N) = S

AUTOVALOR 1 = 3.856998324E-01 + J 1.058274284E-01  
 AUTOVALOR 2 = 3.856998324E-01 + J -1.058274284E-01  
 AUTOVALOR 3 = 1.710236966E-07 + J 0.000000000

REPETIR CALCULO DOS AUTOVALORES ? (S OU N) N

PARAMETROS DO CONTROLADOR DIGITAL OTIMO COM OBSERVADOR SEM REALIMENTACAO

K = -4.286435740E-01

LAMBDA1 = 7.713956648E-01

LAMBDA2 = -1.599638015E-01

LAMBDA3 = 1.767135349E-07

KF1 = 7.799201488E-02

KF2 = 6.847147583E-02

KF3 = -2.309466868E-10

J1 = 0.000000000

J2 = 0.000000000

CALCULAR OUTRO CONTROLADOR ? (SIM OU NAO) = NAO

PARAMETROS PARA SIMULACAO

MATRIZ DO SISTEMA DISCRETO

1 1.000000000 5.544521600E-03 1.062793061E-01 0

1 0.000000000 9.961482524E-01 1.902485857E-01 0

1 0.000000000 -9.398096124E-03 1.408594310E-02 0

VETOR DO SISTEMA DISCRETO

1 3.267239583E-04 0

1 6.061612401E-02 0

1 2.141192734E-01 0

REPETIR CALCULO DOS CONTROLADORES PARA OUTRO PERIODO ? (SIM OU NAO) =

FIM DE PROGRAMA



11	0	1.	0000000000E+01	7.	219891846	9.	994826078E+01
12	4	1.	0000000000E+02	7.	215891846	9.	985170841E+01
13	0	1.	0000000000E+02	1.	914866387E-01	9.	983903169E+01
14	4	1.	0000000000E+02	1.	914866387E-01	9.	987506626E+01
15	0	1.	0000000000E+02	1.	917862445E-01	9.	991448521E+01
16	4	1.	0000000000E+02	1.	917862445E-01	9.	995559096E+01
17	0	1.	0000000000E+02	1.	917938888E-01	9.	999635252E+01
18	4	1.	0000000000E+02	1.	917938888E-01	1.	000427439E+02
19	0	1.	0000000000E+02-7.	027783215	1.	000687379E+02	
20	4	1.	0000000000E+02-7.	027783215	1.	000980943E+02	
21	0	1.	0000000000E+02	3.	146417472E-04	1.	000255256E+02
22	4	1.	0000000000E+02	3.	146417472E-04	9.	990779626E+01
23	0	1.	0000000000E+02	7.	219584703	9.	979620116E+01
24	4	1.	0000000000E+02	7.	219584703	9.	971261262E+01
25	0	1.	0000000000E+01	1.	914790704E-01	9.	972026346E+01
26	4	1.	0000000000E+02	1.	914790704E-01	9.	977612761E+01
27	0	1.	0000000000E+02	1.	917862012E-01	9.	983504697E+01
28	4	1.	0000000000E+02	1.	917862012E-01	9.	989600181E+01
29	0	1.	0000000000E+02	1.	917938888E-01	9.	995789527E+01
30	4	1.	0000000000E+02	1.	917938888E-01	1.	000211266E+02
31	0	1.	0000000000E+02-7.	027783215	1.	000856757E+02	
32	4	1.	0000000000E+02-7.	027783215	1.	001133639E+02	
33	0	1.	0000000000E+02	3.	146417472E-04	1.	000587329E+02
34	4	1.	0000000000E+02	3.	146417472E-04	9.	995872735E+01
35	0	1.	0000000000E+02	7.	219584703	9.	985858440E+01
36	4	1.	0000000000E+02	7.	219584703	9.	979618582E+01
37	0	1.	0000000000E+01	1.	914790704E-01	9.	982276439E+01
38	4	1.	0000000000E+02	1.	914790704E-01	9.	985549875E+01
39	0	1.	0000000000E+02	1.	917862012E-01	9.	997106194E+01
40	4	1.	0000000000E+02	1.	917862012E-01	1.	000477626E+02
41	0	1.	0000000000E+02-7.	027783155	1.	001255780E+02	
42	4	1.	0000000000E+02-7.	027783155	1.	001652761E+02	
43	0	1.	0000000000E+01	3.	146415118E-04	1.	001240547E+02
44	4	1.	0000000000E+02	3.	146415118E-04	1.	000372290E+02
45	0	1.	0000000000E+01	7.	219584703	9.	994906731E+01
46	4	1.	0000000000E+02	7.	219584703	9.	990140613E+01
47	0	1.	0000000000E+01	1.	914790704E-01	9.	973613752E+01
48	4	1.	0000000000E+02	1.	914790704E-01	1.	000227513E+02
49	0	1.	0000000000E+02-7.	027790784	1.	001100512E+02	
50	4	1.	0000000000E+02-7.	027790784	1.	001601338E+02	
51	0	1.	0000000000E+02	3.	146266106E-04	1.	001276314E+02
52	4	1.	0000000000E+02	3.	146266106E-04	1.	000493615E+02
53	0	1.	0000000000E+02	7.	219584703	9.	997662802E+01
54	4	1.	0000000000E+01	7.	219584703	9.	993131279E+01
55	0	1.	0000000000E+01	1.	914790704E-01	9.	997665400E+01
56	4	1.	0000000000E+02	1.	914790704E-01	1.	000698357E+02
57	0	1.	0000000000E+02-7.	027790784	1.	001653359E+02	
58	4	1.	0000000000E+02-7.	027790784	1.	002236462E+02	
59	0	1.	0000000000E+01	3.	146266106E-04	1.	001894502E+02
60	4	1.	0000000000E+02	3.	146266106E-04	1.	001292456E+02
61	0	1.	0000000000E+01	7.	219584703	9.	99950410E+01
62	4	1.	0000000000E+02	7.	219584703	9.	998665008E+01
63	0	1.	0000000000E+01	1.	914790704E-01	9.	991934300E+01
64	4	1.	0000000000E+02	1.	914790704E-01	9.	989601163E+01
65	0	1.	0000000000E+01	1.	917862012E-01	9.	994508572E+01
66	4	1.	0000000000E+02	1.	917862012E-01	1.	000493527E+02



TIPO DO CONTROLADOR ? (CONTINUES, OTIMIZADO, DINAMICO) = CONTINUES

PARAMETROS DO SISTEMA A SER SIMULADO

K = -4.280435E-1  
 LAMBDA1 = 1.389433  
 LAMBDA2 = -4.129989E-1  
 LAMBDA3 = 1.717283E-7  
 KF1 = -1.865534E-1  
 KF2 = 1.772096E-1  
 KF3 = -1.571698E-10  
 DF1 = 6.180339E-1  
 DF2 = -2.540351E-1  
 DF3 = 4.448848506E-10  
 J1 = 0.0  
 J2 = 0.0

UNIVERSIDADE FEDERAL DA PARAIBA  
 Pró-Reitoria Para Assuntos do Interior  
 Coordenação Setorial de Pós-Graduação  
 Rua Aprígio Veloso, 882 - Tel. (083) 321-7222-R 355  
 58.100 - Campina Grande - Paraíba

MATRIZDESIMULACAO [ 1, 1 ] = 1.0  
 MATRIZDESIMULACAO [ 1, 2 ] = 5.564821E-3  
 MATRIZDESIMULACAO [ 1, 3 ] = 1.0627930E-3  
 MATRIZDESIMULACAO [ 2, 1 ] = 0.0  
 MATRIZDESIMULACAO [ 2, 2 ] = 9.961482E-1  
 MATRIZDESIMULACAO [ 2, 3 ] = 1.902485E-1  
 MATRIZDESIMULACAO [ 3, 1 ] = 0.0  
 MATRIZDESIMULACAO [ 3, 2 ] = -9.398050E-3  
 MATRIZDESIMULACAO [ 3, 3 ] = 1.408094E-1

VETORDESIMULACAO [ 1 ] = 3.387338E-4  
 VETORDESIMULACAO [ 2 ] = 6.062612E-2  
 VETORDESIMULACAO [ 3 ] = 2.141192E-1

TIPO DE ENTRADA: DEGRAU NINHA OU PARABOLA ? = DEGRAU  
 AMPLITUDE DA ENTRADA (EM NUMERO DE PULSOS) = 100  
 DEVE TRUNCAR A SAIDA ? (S OU N) = S  
 DEVE IMPRIMIR OS RESULTADOS DA SIMULACAO ? (S OU N) = S  
 PERIODO SUBPERIODO ENTRADA CONTROLADOR SAIDA

PERIODO	SUBPERIODO	ENTRADA	CONTROLADOR	SAIDA
0	0	1.000000000E+02	0.000000000	0.000000000
0	4	1.000000000E+02	0.000000000	0.000000000
1	0	1.000000000E+02	4.280434966E+01	0.000000000
1	4	1.000000000E+02	4.280434966E+01	6.207288200E-01
2	0	1.000000000E+02	3.500515073E+01	2.452446121
2	4	1.000000000E+02	3.500515073E+01	5.360036671
3	0	1.000000000E+02	2.171355916E+01	9.207918667
3	4	1.000000000E+02	2.171355916E+01	1.377998411E+01
4	0	1.000000000E+02	1.012008368E+01	1.087132753E+01
4	4	1.000000000E+02	1.012008368E+01	2.429955000E+01
5	0	1.000000000E+02	2.307865738	2.989267107E+01
5	4	1.000000000E+02	2.307865738	3.582233661E+01
6	0	1.000000000E+02	-2.898737547	4.110546257E+01
6	4	1.000000000E+02	-2.898737547	4.654008461E+01
7	0	1.000000000E+02	-5.883886386	5.176256251E+01
7	4	1.000000000E+02	-5.883886386	5.671053007E+01
8	0	1.000000000E+02	-7.572206280	6.142276644E+01
8	4	1.000000000E+02	-7.572206280	6.580021881E+01
9	0	1.000000000E+02	-8.187468526	6.580021881E+01
9	4	1.000000000E+02	-8.187468526	7.360037526E+01
10	0	1.000000000E+02	-7.734513044	7.760039456E+01
10	4	1.000000000E+02	-7.734513044	8.012075564E+01
11	0	1.000000000E+02	-7.445556640	8.293020052E+01
11	4	1.000000000E+02	-7.445556640	8.545993924E+01
12	0	1.000000000E+02	-6.597897529	8.771077752E+01
12	4	1.000000000E+02	-6.597897529	8.970651865E+01

11	0	1.	0000000000E+02-5.	681348020	9.	146514892E+01	
12	4	1.	0000000000E+02-5.	681348020	9.	300567030E+01	
13	0	1.	0000000000E+02-4.	781168560	9.	434616711E+01	
14	4	1.	0000000000E+02-4.	781168560	9.	550460934E+01	
15	0	1.	0000000000E+02-3.	884778410	9.	649795055E+01	
15	4	1.	0000000000E+02-3.	884778410	9.	734323620E+01	
16	0	1.	0000000000E+02-2.	968833714	9.	805662393E+01	
16	4	1.	0000000000E+02-2.	968833714	9.	865465641E+01	
17	0	1.	0000000000E+02-2.	017339199	9.	915298700E+01	
17	4	1.	0000000000E+02-2.	017339199	9.	956789493E+01	
18	0	1.	0000000000E+02-1.	877777695	9.	991480350E+01	
18	4	1.	0000000000E+02-1.	877777695	1.	001974890E+02	
19	0	1.	0000000000E+02-1.	105955883	1.	004194376E+02	
19	4	1.	0000000000E+02-1.	105955883	1.	005932882E+02	
20	0	1.	0000000000E+02-9.	609414458E-01	1.	007310837E+02	
20	4	1.	0000000000E+02-9.	609414458E-01	1.	008359074E+02	
21	0	1.	0000000000E+02-5.	643565416E-01	1.	009105727E+02	
21	4	1.	0000000000E+02-5.	643565416E-01	1.	009615689E+02	
22	0	1.	0000000000E+02-2.	816283047E-01	1.	009950563E+02	
22	4	1.	0000000000E+02-2.	816283047E-01	1.	010156650E+02	
23	0	1.	0000000000E+02-1.	269712120E-01	1.	010275165E+02	
23	4	1.	0000000000E+02-1.	269712120E-01	1.	010332652E+02	
24	0	1.	0000000000E+02-4.	809386491E-01	1.	010352402E+02	
24	4	1.	0000000000E+02-4.	809386491E-01	1.	010283589E+02	
25	0	1.	0000000000E+02-3.	705439835E-01	1.	010078459E+02	
25	4	1.	0000000000E+02-3.	705439835E-01	1.	009755745E+02	
26	0	1.	0000000000E+02-2.	287635922E-01	1.	009333774E+02	
26	4	1.	0000000000E+02-2.	287635922E-01	1.	008835762E+02	
27	0	1.	0000000000E+02	2.	909900128E-01	1.	008283406E+02
27	4	1.	0000000000E+02	2.	909900128E-01	1.	007753536E+02
28	0	1.	0000000000E+02	2.	610634058E-01	1.	007319107E+02
28	4	1.	0000000000E+02	2.	610634058E-01	1.	006574413E+02
29	0	1.	0000000000E+02	1.	548362150E-01	1.	006713062E+02
29	4	1.	0000000000E+02	1.	548362150E-01	1.	006517559E+02
30	0	1.	0000000000E+02	7.	767982780E-02	1.	006371408E+02
30	4	1.	0000000000E+02	7.	767982780E-02	1.	006262153E+02
31	0	1.	0000000000E+02	3.	515396296E-02	1.	006177946E+02
31	4	1.	0000000000E+02	3.	515396296E-02	1.	006111800E+02
32	0	1.	0000000000E+02	1.	469177618E-02	1.	006057425E+02
32	4	1.	0000000000E+02	1.	469177618E-02	1.	006011500E+02
33	0	1.	0000000000E+02	5.	709862291E-03	1.	005970925E+02
33	4	1.	0000000000E+02	5.	709862291E-03	1.	005934238E+02
34	0	1.	0000000000E+02	2.	054430454E-03	1.	005900089E+02
34	4	1.	0000000000E+02	2.	054430454E-03	1.	005867883E+02
35	0	1.	0000000000E+02	6.	714145898E-04	1.	005837023E+02
35	4	1.	0000000000E+02	6.	714145898E-04	1.	005807237E+02
36	0	1.	0000000000E+02	1.	852941430E-04	1.	005778342E+02
36	4	1.	0000000000E+02	1.	852941430E-04	1.	005750266E+02
37	0	1.	0000000000E+02	3.	861930996E-05	1.	005722925E+02
37	4	1.	0000000000E+02	3.	861930996E-05	1.	005696266E+02
38	0	1.	0000000000E+02-4	853072426E-07	1.	005670219E+02	
38	4	1.	0000000000E+02-4	853072426E-07	1.	005644826E+02	
39	0	1.	0000000000E+02-6.	555142641E-06	1.	005619972E+02	
39	4	1.	0000000000E+02-6.	555142641E-06	1.	005595756E+02	
40	0	1.	0000000000E+02-4.	978359818E-06	1.	005572080E+02	
40	4	1.	0000000000E+02-4.	978359818E-06	1.	005546963E+02	

TIPO DO CONTROLADOR ? (OTIMOREG, OTIMODIR, DINAMICO) = OTIMODIR

PARAMETROS DO SISTEMA A SER SIMULADO

K = -4.280435E-1

LAMBDA1 = 7.713996E-1

LAMBDA2 = -1.599638E-1

LAMBDA3 = 0.0

KF1 = 7.799201E-2

KF2 = 6.847147E-2

KF3 = 0.0

J1 = 0.0

J2 = 0.0

MATRIZDESIMULACAO [ 1, 1] = 1.0

MATRIZDESIMULACAO [ 1, 2] = 5.564821E-2

MATRIZDESIMULACAO [ 1, 3] = 1.062793E-3

MATRIZDESIMULACAO [ 2, 1] = 0.0

MATRIZDESIMULACAO [ 2, 2] = 9.961482E-1

MATRIZDESIMULACAO [ 2, 3] = 1.902485E-1

MATRIZDESIMULACAO [ 3, 1] = 0.0

MATRIZDESIMULACAO [ 3, 2] = -9.398090E-3

MATRIZDESIMULACAO [ 3, 3] = 1.408594E-1

VETORDESIMULACAO [ 1] = 3.387339E-4

VETORDESIMULACAO [ 2] = 6.063612E-2

VETORDESIMULACAO [ 3] = 2.141119E-1

TIPO DE ENTRADA: DEGRAU RANPA OU PARABOLA ? = DEGRAU

AMPLITUDE DA ENTRADA (EM NUMERO DE PULSOS) = 100

DEVE TRONCAR A SAIDA ? (S OU N) = S

DEVE IMPRIMIR OS RESULTADOS DA SIMULACAO ? (S OU N) = S

PERIODO SUBPERIODO ENTRADA

CONTROLADOR

SAIDA

0	0	1.000000000E+02	0.000000000	0.000000000
0	4	1.000000000E+02	0.000000000	0.000000000
0	8	1.000000000E+02	4.280434966E+01	0.000000000
0	4	1.000000000E+02	4.280434966E+01	6.207224130E-01
0	0	1.000000000E+02	3.500514835E+01	2.452415674
0	4	1.000000000E+02	3.500514835E+01	5.359964607
0	0	1.000000000E+02	2.171365737E+01	9.207791660
0	4	1.000000000E+02	2.171365737E+01	1.377978990E+01
0	0	1.000000000E+02	1.012007666E+01	1.887105867E+01
0	4	1.000000000E+02	1.012007666E+01	2.429920017E+01
0	0	1.000000000E+02	2.307851314	2.989243865E+01
0	4	1.000000000E+02	2.307851314	3.553182129E+01
0	0	1.000000000E+02-2.	898760557	4.110586225E+01
0	4	1.000000000E+02-2.	898760557	4.653941035E+01
0	0	1.000000000E+02-5.	883913278	5.176219761E+01
0	4	1.000000000E+02-5.	883913278	5.673510670E+01
0	0	1.000000000E+02-7.	572237253	6.142184793E+01
0	4	1.000000000E+02-7.	572237253	6.580422997E+01
0	0	1.000000000E+02-8.	187497615	6.986556649E+01
0	4	1.000000000E+02-8.	187497615	7.360420091E+01
0	0	1.000000000E+02-7.	734540581	7.701920009E+01
0	4	1.000000000E+02-7.	734540581	8.012452602E+01
0	0	1.000000000E+02-7.	445581436	8.293291000E+01
0	4	1.000000000E+02-7.	445581436	8.545060098E+01
0	0	1.000000000E+02-6.	597919404	8.770939626E+01
0	4	1.000000000E+02-6.	597919404	8.970506613E+01

Coordenação Setorial de Pós-Graduação  
Rua Aprígio Veloso, 882 - Tel. (083) 321-7222-R 355  
58.100 - Campina Grande - Paraíba

13	0	1.	0000000000E+02-5.	681366205	9.	146366834E+01
14	4	1.	0000000000E+02-5.	681366205	9.	300415635E+01
14	0	1.	0000000000E+02-4.	781183660	9.	434464097E+01
14	4	1.	0000000000E+02-4.	781183660	9.	550303459E+01
15	0	1.	0000000000E+02-3.	884790539	9.	649634957E+01
15	4	1.	0000000000E+02-3.	884790539	9.	734160900E+01
16	0	1.	0000000000E+02-2.	968843191	9.	805497407E+01
16	4	1.	0000000000E+02-2.	968843191	9.	865298628E+01
17	0	1.	0000000000E+02-2.	017346471	9.	915129899E+01
17	4	1.	0000000000E+02-2.	017346471	9.	956619024E+01
18	0	1.	0000000000E+02-1.	877783134	9.	991308212E+01
18	4	1.	0000000000E+02-1.	877783134	1.	001907535E+02
19	0	1.	0000000000E+02-1.	105959632	1.	004176855E+02
19	4	1.	0000000000E+02-1.	105959632	1.	005915239E+02
20	0	1.	0000000000E+02-9.	609442472E-01	1.	007293075E+02
20	4	1.	0000000000E+02-9.	609442472E-01	1.	008341163E+02
21	0	1.	0000000000E+02-5.	643584668E-01	1.	009087711E+02
21	4	1.	0000000000E+02-5.	643584668E-01	1.	009597569E+02
22	0	1.	0000000000E+02-2.	816296041E-01	1.	009932239E+02
22	4	1.	0000000000E+02-2.	816296041E-01	1.	010137706E+02
23	0	1.	0000000000E+02-1.	269720360E-01	1.	010256737E+02
23	4	1.	0000000000E+02-1.	269720360E-01	1.	010314345E+02
24	0	1.	0000000000E+02-4.	809391319E-01	1.	010333006E+02
24	4	1.	0000000000E+02-4.	809391319E-01	1.	010264888E+02
25	0	1.	0000000000E+02-3.	705442279E-01	1.	010059684E+02
25	4	1.	0000000000E+02-3.	705442279E-01	1.	009736880E+02
26	0	1.	0000000000E+02-2.	287637174E-01	1.	009314049E+02
26	4	1.	0000000000E+02-2.	287637174E-01	1.	008816748E+02
27	0	1.	0000000000E+02	2. 909900218E-01	1.	008264318E+02
27	4	1.	0000000000E+02	2. 909900218E-01	1.	007734373E+02
28	0	1.	0000000000E+02	2. 610635042E-01	1.	007299870E+02
28	4	1.	0000000000E+02	2. 610635042E-01	1.	006955116E+02
29	0	1.	0000000000E+02	1. 548364132E-01	1.	006693691E+02
29	4	1.	0000000000E+02	1. 548364132E-01	1.	006498128E+02
30	0	1.	0000000000E+02	7. 768003642E-02	1.	006351917E+02
30	4	1.	0000000000E+02	7. 768003642E-02	1.	006242073E+02
31	0	1.	0000000000E+02	3. 515412688E-02	1.	006158292E+02
31	4	1.	0000000000E+02	3. 515412688E-02	1.	006092101E+02
32	0	1.	0000000000E+02	1. 469188570E-02	1.	006037637E+02
32	4	1.	0000000000E+02	1. 469188570E-02	1.	005991637E+02
33	0	1.	0000000000E+02	5. 709926843E-03	1.	005951017E+02
33	4	1.	0000000000E+02	5. 709926843E-03	1.	005914285E+02
34	0	1.	0000000000E+02	2. 054465442E-03	1.	005880087E+02
34	4	1.	0000000000E+02	2. 054465442E-03	1.	005847811E+02
35	0	1.	0000000000E+02	6. 714321732E-04	1.	005816906E-02
35	4	1.	0000000000E+02	6. 714321732E-04	1.	005787044E+02
36	0	1.	0000000000E+02	1. 893024161E-04	1.	005758091E+02
36	4	1.	0000000000E+02	1. 893024161E-04	1.	005729988E+02
37	0	1.	0000000000E+02	3. 862295432E-05	1.	005702592E+02
37	4	1.	0000000000E+02	3. 862295432E-05	1.	005675697E+02
38	0	1.	0000000000E+02	4. 877949535E-07	1.	005649805E+02
38	4	1.	0000000000E+02	4. 877949535E-07	1.	005624324E+02
39	0	1.	0000000000E+02	6. 554561018E-06	1.	005599454E+02
39	4	1.	0000000000E+02	6. 554561018E-06	1.	005575165E+02
40	0	1.	0000000000E+02	4. 978156149E-06	1.	005551457E+02
40	4	1.	0000000000E+02	4. 978156149E-06	1.	005528315E+02

COEFICIENTE DE CORRELACION ESTADISTICO DOS COEFICIENTES E VARIÁVEIS  
 NÚMERO DE ROS DO SISTEMA = 6

NÚMERO TOTAL DE RAMOS DE COEFICIENTES DO SISTEMA =

ÍNDICE DE COEFICIENTES:

COEFICIENTE DO RO = 2  
 RO DO = 2  
 = 2,00

COEFICIENTE DO RO = 2  
 RO DO = 2  
 = 2,00

COEFICIENTE DO RO = 2  
 RO DO = 2  
 = 2,00

COEFICIENTE DO RO = 2  
 RO DO = 2  
 = 2,00

COEFICIENTE DO RO = 2  
 RO DO = 2  
 = 2,00

COEFICIENTE DO RO = 2  
 RO DO = 2  
 = 2,00

COEFICIENTE DO RO = 2  
 RO DO = 2  
 = 2,00

ÍNDICE DE CORRELACION ESTADISTICO DOS COEFICIENTES E VARIÁVEIS

NÚMERO DE ROS DO SISTEMA = 6

ÍNDICE DE CORRELACION

NÚMERO DE ROS DO SISTEMA = 6

NÚMERO DE ROS DO SISTEMA = 6

NÚMERO DE ROS DO SISTEMA = 6

ÍNDICE DE CORRELACION ESTADISTICO DOS COEFICIENTES E VARIÁVEIS

NO DE ENTRADA = 2

NO DE SALIDA = 1

NUMERO DE COEFICIENTES CUANTIFICADOS = 1

COEFICIENTE 1 NO DE ENTRADA = 1

NO DE SALIDA = 1

COEFICIENTE 2 NO DE ENTRADA = 1

NO DE SALIDA = 1

COEFICIENTE 3 NO DE ENTRADA = 1

NO DE SALIDA = 1

COEFICIENTE 4 NO DE ENTRADA = 1

NO DE SALIDA = 1

COEFICIENTE 5 NO DE ENTRADA = 1

NO DE SALIDA = 1

NUMERO DE NOS CON VARIABLES CUANTIFICADAS = 1

NO CUANTIFICADO = 1

NUMERO DE FUENTES DE RUIDO = 1

NO CUANTIFICADO = 1

NUMERO DE FUENTES DE RUIDO = 1

NUMERO DE FUENTES DE RUIDO = 1

NUMERO DE FUENTES DE RUIDO = 1

NUMERO DE FUENTES DE RUIDO = 1

NUMERO DE FUENTES DE RUIDO = 1

NUMERO DE FUENTES DE RUIDO = 1

NUMERO DE FUENTES DE RUIDO = 1

COEFICIENTE DO NO = 1

NÚMERO TOTAL DE NÍVEIS DE COEFICIENTES DO SISTEMA = 1

MATRIZ DE COEFICIENTES

COEFICIENTE DO NO = 1  
NO NO = 1  
= 1.0

COEFICIENTE DO NO = 2  
NO NO = 1  
= 1.0

COEFICIENTE DO NO = 3  
NO NO = 1  
= 1.0

COEFICIENTE DO NO = 4  
NO NO = 1  
= 1.0

COEFICIENTE DO NO = 5  
NO NO = 1  
= 1.0

COEFICIENTE DO NO = 6  
NO NO = 1  
= 1.0

DESCRIÇÃO DO NÍVEL DE COEFICIENTES DO SISTEMA = 1

NÚMERO TOTAL DE NÍVEIS DE COEFICIENTES DO SISTEMA = 1

MATRIZ DE NÍVEIS

NÍVEL DO NO = 1  
NO NO = 1  
= 1.0

NÍVEL DO NO = 2  
NO NO = 1  
= 1.0

NÍVEL DO NO = 3  
NO NO = 1  
= 1.0

NÍVEL DO NO = 4  
NO NO = 1  
= 1.0

NÍVEL DO NO = 5  
NO NO = 1  
= 1.0

DESCRIÇÃO DO NÍVEL DE COEFICIENTES DO SISTEMA = 1

Nº DE ENTRADA = 2

Nº DE SAÍDA = 6

NÚMERO DE COEFICIENTES QUANTIZADOS = 7

COEFICIENTE 1 Nº DE ENTRADA = 2  
Nº DE SAÍDA = 6

COEFICIENTE 2 Nº DE ENTRADA = 4  
Nº DE SAÍDA = 2

COEFICIENTE 3 Nº DE ENTRADA = 6  
Nº DE SAÍDA = 2

COEFICIENTE 4 Nº DE ENTRADA = 4  
Nº DE SAÍDA = 2

COEFICIENTE 5 Nº DE ENTRADA = 6  
Nº DE SAÍDA = 2

COEFICIENTE 6 Nº DE ENTRADA = 4  
Nº DE SAÍDA = 6

COEFICIENTE 7 Nº DE ENTRADA = 6  
Nº DE SAÍDA = 6

NÚMERO DE NÓS COM VARIÁVEIS QUANTIZADAS = 2

Nº DE QUANTIZADORES  $Q_1 = 2$   
NÚMERO DE FONTES DE RUÍDO = 2

Nº DE QUANTIZADORES  $Q_2 = 2$   
NÚMERO DE FONTES DE RUÍDO = 2

Nº DE QUANTIZADORES  $Q_3 = 1$   
NÚMERO DE FONTES DE RUÍDO = 2

FATOR DE MULTIPLICAÇÃO DA VARIÂNCIA DA SAÍDA  $K_{\sigma} = 2^2$

FATOR DE VARIÂNCIA MÁXIMO DA MAGNITUDE DA RESPOSTA EM FREQUÊNCIA = 2,000

AMPLITUDE MÁXIMA PERMITIDA PARA A MAGNITUDE DO ESPECTRO DE POTENCIAL DO RUÍDO PROVENIENTE DE QUANTIZAÇÃO DE VARIÁVEIS  $K_{\sigma} = 1$  DE

NÚMERO DE DIVISÕES ENTRE  $\sigma_1$  E  $\sigma_2 = 200$

CONTEÚDO DE BARRAS DESEJADO DOS COEFICIENTES = 210146, 1

CONTEÚDO DE BARRAS DESEJADO DE VARIÁVEIS  $\sigma_1$  E  $\sigma_2$  = 210146, 1



\*NUMEROS DE RUS DO SISTEMA = 6

NUMERO TOTAL DE RAMOS DE COEFICIENTES NO SISTEMA = 4

MATRIZ DE COEFICIENTES

COEFICIENTE DO NO = 1  
 AO NO = 2  
 = 1.0

COEFICIENTE DO NO = 2  
 AO NO = 3  
 = 1.0

COEFICIENTE DO NO = 4  
 AO NO = 3  
 = 7.113996E-1

COEFICIENTE DO NO = 5  
 AO NO = 3  
 = -1.589638E-1

DESEJA MUDAR OU ACRESCENTAR ALGUM COEFICIENTE? (S OU N) = N

NUMERO TOTAL DE ATRASOS NO SISTEMA = 5

MATRIZ DE ATRASOS

ATRASSO DO NO = 1  
 AO NO = 2  
 = 1.0

ATRASSO DO NO = 2  
 AO NO = 3  
 = 1.0

ATRASSO DO NO = 2  
 AO NO = 4  
 = -4.280430E-1

ATRASSO DO NO = 4  
 AO NO = 3  
 = 7.558201E-1

ATRASSO DO NO = 5  
 AO NO = 3  
 = 6.847147E-1

DESEJA MUDAR OU ACRESCENTAR ALGUM NO DE ATRASOS? (S OU N) = N

Nº DE ENTRADA = 1

Nº DE SAÍDA = 6

NÚMERO DE COEFICIENTES QUANTIZADOS = 5

COEFICIENTE 1 Nº DE ENTRADA = 2  
Nº DE SAÍDA = 6

COEFICIENTE 2 Nº DE ENTRADA = 4  
Nº DE SAÍDA = 3

COEFICIENTE 3 Nº DE ENTRADA = 5  
Nº DE SAÍDA = 3

COEFICIENTE 4 Nº DE ENTRADA = 4  
Nº DE SAÍDA = 6

COEFICIENTE 5 Nº DE ENTRADA = 5  
Nº DE SAÍDA = 6

NÚMERO DE NOS COM VARIÁVEIS QUANTIZADAS = 2

Nº QUANTIZADO 1 = 1  
NÚMERO DE FONTES DE RUÍDO = 2

Nº QUANTIZADO 2 = 6  
NÚMERO DE FONTES DE RUÍDO = 1

FATOR DE MULTIPLICAÇÃO DA VARIÂNCIA DA SAÍDA (K<sub>v</sub>) = 2.0

FATOR DE VARIÂNCIA MÁXIMO DA MAGNITUDE DA RESPOSTA EM FREQUÊNCIA  
(0.0)

AMPLITUDE MÁXIMA PERMITIDA PARA A MAGNITUDE DO ESPECTRO DE POTÊNCIA  
VIA O RUÍDO PROVENIENTE DA QUANTIZAÇÃO DE VARIÁVEIS (KV) = 39.0

NÚMERO DE DIVISÕES ENTRE 0 E 256 = 256

VALOR MÁXIMO DE ERRORES RELATIVOS DOS COEFICIENTES = 6.6667%

VALOR MÁXIMO RELATIVO DE VARIÁVEIS = 0.7913% EIR.